



**UNIVERSIDAD DE TALCA
FACULTAD DE INGENIERÍA
ESCUELA DE INGENIERÍA CIVIL EN COMPUTACIÓN**

Generación de Grafos inducidos por la Ley de Potencia

DIEGO ITURRIAGA PEÑA

Profesor Guía: RODRIGO PAREDES MORALEDA

Profesor Co-Guía: RENZO ANGLES ROJAS

Memoria para optar al título de
Ingeniero Civil en Computación

Curicó – Chile
Julio, 2020

CONSTANCIA

La Dirección del Sistema de Bibliotecas a través de su encargado Biblioteca Campus Curicó certifica que el autor del siguiente trabajo de titulación ha firmado su autorización para la reproducción en forma total o parcial e ilimitada del mismo.



Curicó, 2022

“Sic Parvis Magna”
La grandeza nace de pequeños comienzos.
Lema de Sir Francis Drake.

AGRADECIMIENTOS

Si hace unos 10 años me hubieran preguntado si planeaba entrar a la universidad, seguramente me hubiera reído diciendo “no lo se, no creo”, porque realmente lo veía como algo muy difícil; después de todo mi familia no tenía los medios económicos ni de cerca. Mi padre es un agricultor que ganaba y que sigue ganando el mínimo, y mi madre es una dueña de casa que también cosía y reparaba ropa de lo cual obtenían un ingreso, el cual no era mucho, pero era algo de dinero extra. Con esto no quiero decir que he tenido una mala vida, sino todo lo contrario. Una vida en donde mis padres me han dado lo justo y lo necesario. Pero sobretodo, rescato las lecciones que me han dado, en particular si quieres algo, si tienes una meta, un objetivo al que realmente quieres llegar, lo único que importa es que te esfuerces, que te esfuerces mucho, cada día, cada hora, cada segundo que puedas por lo que quieres alcanzar. Recuerdo a mi madre tardes completas cosiendo ropa hasta las tantas de la mañana para terminar, y en un par de horas levantándose para llevar a mi hermana y a mí al colegio, versus mi padre que se levantaba a las seis de la mañana para tomar su bicicleta y recorrer cerca de diez kilómetros para llegar al lugar donde trabajaba. Se esforzaban para ayudarse mutuamente, se esforzaban para ayudar a mi hermana y a mí constantemente. Puede sonar simple el solo tener que esforzarse, pero realmente eso no garantiza que tengas éxito o que alcances la meta a la que quieres llegar. Porque además debes tener la voluntad de seguir y no rendirte a pesar de que falles, a pesar de que sea difícil, debes seguir intentándolo. No se si habrá sido directamente o indirectamente, pero el verlos a ambos todos este tiempo, también fue una forma de motivarme avanzar y a no rendirme a pesar de la adversidad. Por todo eso no puedo estar más agradecido con ellos.

También debo agradecer a mis amigos por estar siempre dándonos apoyo mutuamente, desde tardes en las que nos quedábamos estudiando hasta aquellos días en los que nos quedábamos para compartir y reírnos un rato. Gracias a mis dos profesores guías por preocuparse constantemente del desarrollo de este trabajo de memoria desde extensas reuniones hasta pláticas o conversaciones para reírse y hacer muy agradable el trabajar con ellos. Gracias a todas las personas que hacen de la universidad un buen lugar donde estar y gracias a ti por leer esto.

TABLA DE CONTENIDOS

| | página |
|--|-----------|
| Dedicatoria | I |
| Agradecimientos | II |
| Tabla de Contenidos | III |
| Índice de Figuras | VII |
| Índice de Tablas | IX |
| Resumen | XII |
| 1. Introducción | 13 |
| 1.1. Contexto | 13 |
| 1.2. Problema | 14 |
| 1.3. Hipótesis | 15 |
| 1.4. Objetivos | 15 |
| 1.4.1. Objetivo General | 16 |
| 1.4.2. Objetivos Específicos | 16 |
| 1.5. Propuesta de Solución | 16 |
| 1.6. Alcances | 18 |
| 1.7. Estructura del Documento | 18 |
| 2. Antecedentes | 20 |
| 2.1. Funciones de Probabilidad | 20 |
| 2.1.1. Función de Densidad de Probabilidad | 20 |
| 2.1.2. Ley de Potencia | 21 |
| 2.1.3. Números Aleatorios con Distribución de la Ley de Potencia | 21 |
| 2.2. Grafos | 22 |
| 2.2.1. Sobre la adyacencia de los nodos | 23 |
| 2.2.2. Aridad de un Nodo | 23 |
| 2.3. Representación de Grafos | 24 |

| | | |
|-----------|---|-----------|
| 2.3.1. | Lista de Aristas | 24 |
| 2.3.2. | Matriz de Adyacencia | 24 |
| 2.3.3. | Arreglo de Aridades | 26 |
| 2.4. | Algoritmo R-MAT | 26 |
| 2.4.1. | Estadística de Kolmogorov-Smirnov (KS) | 28 |
| 2.5. | Trabajo Relacionado | 28 |
| 2.6. | Tecnologías Computacionales | 30 |
| 3. | Metodología | 32 |
| 3.1. | Fase Conceptual | 32 |
| 3.2. | Fase de Planeación y Diseño de Investigación | 33 |
| 3.3. | Fase Empírica y Analítica | 33 |
| 3.3.1. | Método de Evaluación Experimentos Preliminares | 34 |
| 3.3.2. | Configuración Experimental para Experimentos Preliminares | 34 |
| 3.4. | Fase de Difusión | 34 |
| 4. | Generación de Grafos acorde a la Ley de Potencia | 35 |
| 4.1. | Algoritmo 1 | 35 |
| 4.1.1. | Generación de la Distribución de Aridades | 37 |
| 4.1.2. | Experimentos Preliminares Algoritmo 1 | 38 |
| 4.2. | Algoritmo 2 | 41 |
| 4.2.1. | Generación de Probabilidades Acumuladas | 41 |
| 4.2.2. | Generación de Arreglo de Frecuencias | 43 |
| 4.2.3. | Generación del Arreglo de Aridades | 45 |
| 4.2.4. | Experimentos Preliminares Algoritmo 2 | 47 |
| 4.3. | Distribución de Números Aleatorios | 49 |
| 4.4. | Modelado de la Aridad Máxima | 54 |
| 4.4.1. | ¿Por qué Modelar una Función Para Obtener la Aridad máxima? | 55 |
| 4.4.2. | Experimento para Modelar la Función de Aridad Máxima | 57 |
| 4.4.3. | Función que Determina la Constante de Proporcionalidad | 62 |
| 4.4.4. | Función que Determina el Exponente de Potencia | 63 |
| 4.4.5. | Función que Determina la Aridad Máxima | 65 |
| 4.5. | Algoritmo 3 | 67 |
| 4.5.1. | Generación de Probabilidades Acumuladas | 67 |

| | | |
|-----------|--|------------|
| 4.5.2. | Generación del Arreglo de Frecuencias | 69 |
| 4.5.3. | Generación del Arreglo de Aridades | 72 |
| 4.5.4. | Experimentos Preliminares Algoritmo 3 | 74 |
| 5. | Evaluación Experimental | 77 |
| 5.1. | Fase Experimental 1 | 77 |
| 5.1.1. | Configuración Experimental | 78 |
| 5.1.2. | Resultados Experimentales Fase 1 | 78 |
| 5.2. | Fase Experimental 2 | 86 |
| 5.2.1. | Resultados Experimentales Fase 2 | 86 |
| 5.2.2. | Comparación de R ³ MAT y Algoritmo 3 | 87 |
| 6. | Conclusiones | 90 |
| | Bibliografía | 94 |
| | Anexos | |
| A: | Experimentos Preliminares | 98 |
| A.1. | Experimentos Preliminares Algoritmo 1 | 98 |
| A.2. | Experimento para la Aridad Máxima | 109 |
| A.2.1. | Aridades Máximas Clasificadas por Tamaño del Grafo. | 109 |
| A.2.2. | Aridades máximas promedio registrados por tamaño del grafo y por τ | 133 |
| A.2.3. | Registro de la Constate de Proporcionalidad y el Exponente de la potencia. | 136 |
| A.2.4. | Registro de las Aridades Máximas Obtenidas en la Simulación | 139 |
| A.2.5. | Registro de la Diferencia entre la Simulación y los Valores Empíricos de la Aridad Máxima. | 142 |
| A.2.6. | Registro de la Diferencia entre la Simulación y los Valores Empíricos de la Aridad Máxima en Porcentajes. | 144 |
| B: | Evaluación Experimental | 148 |
| B.1. | Realismo | 148 |
| B.1.1. | Algoritmo 1 | 148 |
| B.1.2. | Algoritmo 2 | 151 |

| | |
|------------------------------|-----|
| B.1.3. Algoritmo 3 | 153 |
| B.2. Eficiencia | 155 |

ÍNDICE DE FIGURAS

| | página |
|---|--------|
| 2.1. Grafo dirigido. | 23 |
| 2.2. Grafo no dirigido. | 25 |
| 2.3. Ejemplo de matriz de adyacencia generada por R-MAT. | 28 |
| 4.1. Distribución de la aridad en escala logarítmica de base 10 para un grafo de 100 000 nodos. | 49 |
| 4.2. Mil números aleatorios generados con <code>Math.random()</code> | 51 |
| 4.3. Los mil números generados clasificados por aridad. | 52 |
| 4.4. Mil números aleatorios generados con distribución de ley de potencia. | 54 |
| 4.5. Mil números generados con la Ecuación 4.13 clasificados por aridad. | 55 |
| 4.6. Distribución de la aridad de un grafo de 100 000 nodos Algoritmo 1. | 56 |
| 4.7. Distribución de la aridad de un grafo de 100 000 nodos Algoritmo 2. | 56 |
| 4.8. Distribución de la aridad de un grafo de 100 000 nodos R ³ MAT. | 57 |
| 4.9. Gráfico de dispersión para la aridad máxima versus la cantidad de nodos. | 60 |
| 4.10. Gráfico de dispersión para la constante de proporcionalidad versus τ | 61 |
| 4.11. Gráfico de dispersión para el exponente de la potencia versus τ | 61 |
| 4.12. Gráfico de una función exponencial cuyo exponente negativo es un logaritmo natural al cuadrado. | 62 |
| 4.13. Gráfico de dispersión para la constante de proporcionalidad versus τ | 63 |
| 4.14. Gráfico de una función exponencial con exponente negativo. | 64 |
| 4.15. Gráfico de dispersión para del exponente de la potencia versus τ | 64 |
| 4.16. Distribución de la aridad de un grafo de 100 000 nodos Algoritmo 3. | 76 |
| 5.1. Tiempo de ejecución de los métodos para generar grafos de diferentes tamaños. | 82 |
| 5.2. Distribución de Out Degree de grafos de un millón de nodos con PaR-MAT (a), SNAP (b), R ³ MAT _a (c) y Algoritmo 3 (d). | 88 |
| B.1. Distribución de grados, en escala logarítmica, de un grafo no dirigido de mil nodos generados con el Algoritmo 1. | 148 |

| | |
|--|-----|
| B.2. Distribución de grados, en escala logarítmica, de un grafo no dirigido de un millón de nodos generados con el Algoritmo 1. | 149 |
| B.3. Distribución de out-degree, en escala logarítmica, de un grafo dirigido de mil nodos generados con el Algoritmo 1. | 149 |
| B.4. Distribución de out-degree, en escala logarítmica, de un grafo no dirigido de un millón de nodos generados con el Algoritmo 1. | 150 |
| B.5. Distribución de grados, en escala logarítmica, de un grafo no dirigido de mil nodos generados con el Algoritmo 2. | 151 |
| B.6. Distribución de grados, en escala logarítmica, de un grafo no dirigido de un millón de nodos generados con el Algoritmo 2. | 151 |
| B.7. Distribución de out-degree, en escala logarítmica, de un grafo dirigido de mil nodos generados con el Algoritmo 2. | 152 |
| B.8. Distribución de out-degree, en escala logarítmica, de un grafo no dirigido de un millón de nodos generados con el Algoritmo 2. | 152 |
| B.9. Distribución de grados, en escala logarítmica, de un grafo no dirigido de mil nodos generados con el Algoritmo 3. | 153 |
| B.10. Distribución de grados, en escala logarítmica, de un grafos no dirigido de un millón de nodos generados con el Algoritmo 3. | 153 |
| B.11. Distribución de out-degree, en escala logarítmica, de un grafo dirigido de mil nodos generados con el Algoritmo 3. | 154 |
| B.12. Distribución de out-degree, en escala logarítmica, de un grafo no dirigido de un millón de nodos generados con el Algoritmo 3. | 154 |
| B.13. Número de aristas generado por cada método por tamaño de grafos. . | 155 |

ÍNDICE DE TABLAS

| | página |
|---|--------|
| 1.1. Distribución de aridades. | 17 |
| 1.2. Arreglo de aridades. | 17 |
| 2.1. Aridad del grafo dirigido de la Figura 2.1. | 24 |
| 2.2. Matriz de adyacencia. | 25 |
| 2.3. Arreglo de aridades para el grafo de la Figura 2.1. | 26 |
| 2.4. Arreglo de aridades para el grafo de la Figura 2.2. | 26 |
| 4.1. Arreglo de aridades Algoritmo 1. | 38 |
| 4.2. Grafos generados en la evaluación preliminar del Algoritmo 1. | 40 |
| 4.3. Cuadro resumen de las probabilidades generadas para cada aridad posible en un grafo de 1 000 nodos. | 41 |
| 4.4. Arreglo de probabilidades Algoritmo 2. | 42 |
| 4.5. Arreglo de probabilidades acumuladas Algoritmo 2. | 43 |
| 4.6. Arreglo de aridades Algoritmo 2. | 47 |
| 4.7. Grafos generados en la evaluación preliminar del Algoritmo 2. | 47 |
| 4.8. Cantidad de nodos con aridad 1 para los diferentes grafos generados. | 48 |
| 4.9. Registro de los mil números aleatorios obtenidos con Math.random(). | 50 |
| 4.10. Registro de los mil números aleatorios obtenidos con distribución de la ley de potencia. | 53 |
| 4.11. Aridades máximas registradas para un grafo de 1 000 nodos. | 58 |
| 4.12. Aridades máximas registradas para un grafo de 10 000 000 nodos. | 58 |
| 4.13. Aridad máxima promedio dada una cantidad de nodos y un valor de τ para un grafo. | 59 |
| 4.14. Constante de proporcionalidad y exponente de potencia por cada valor de τ | 60 |
| 4.15. Aridades máximas obtenidas de la fórmula de la Ecuación 4.16. | 65 |
| 4.16. Diferencia entre la aridad registrada en el Cuadro 4.15 y el Cuadro 4.13. | 66 |
| 4.17. Diferencia entre la aridad registrada en el Cuadro 4.15 y el Cuadro 4.13 en porcentaje. | 66 |
| 4.18. Arreglo de probabilidades Algoritmo 3. | 69 |

4.19. Arreglo de probabilidades acumuladas Algoritmo 3. 69

4.20. Arreglo de aridades Algoritmo 3. 74

4.21. Grafos generados en la evaluación preliminar del Algoritmo 3. 74

4.22. Aridad máxima de los diferentes grafos generados. 75

5.1. Número de aristas estimadas para $\tau = 2$ 79

5.2. Grafos generados en la evaluación experimental con el Algoritmo 1. . . 79

5.3. Grafos generados en la evaluación experimental con el Algoritmo 2. . . 80

5.4. Grafos generados en la evaluación experimental con el Algoritmo 3. . . 80

5.5. Resultados de los tiempos de ejecución de cada algoritmo. 81

5.6. Número de aristas generada por los métodos para generar grafos no dirigidos de diferentes tamaños. 83

5.7. Número de aristas generada por los métodos para generar grafos dirigidos de diferentes tamaños. 83

5.8. Puntuaciones KS-stat para grafos no dirigidos. 84

5.9. Puntuaciones KS-stat para grafos dirigidos all-degree. 85

5.10. Puntuaciones KS-stat para grafos dirigidos in-degree. 85

5.11. Puntuaciones KS-stat para grafos dirigidos out-degree. 85

5.12. Comparación del Algoritmo 3 con PaRMAT, SNAP y R³MAT. 87

5.13. Registro del tiempo de generación del arreglo de aridades en R³MAT y el Algoritmo 3. 89

A.1. Probabilidades para las aridades de un grafo de 1 000 nodos. 98

A.2. Aridades máximas registradas para un grafo de 1 000 nodos. 109

A.3. Aridades máximas registradas para un grafo de 10 000 nodos Parte 1. 111

A.4. Aridades máximas registradas para un grafo de 10 000 nodos Parte 2. 114

A.5. Aridades máximas registradas para un grafo de 100 000 nodos Parte 1. 117

A.6. Aridades máximas registradas para un grafo de 100 000 nodos Parte 2. 119

A.7. Aridades máximas registradas para un grafo de 1 000 000 nodos Parte 1.123

A.8. Aridades máximas registradas para un grafo de 1 000 000 nodos Parte 2.125

A.9. Aridades máximas registradas para un grafo de 10 000 000 nodos Parte 1. 128

A.10. Aridades máximas registradas para un grafo de 10 000 000 nodos Parte 2. 131

A.11. Aridades máximas promedio registrados por tamaño del grafo y por τ . 133

| | |
|--|-----|
| A.12. Constante de proporcionalidad y exponente de potencia por cada valor de τ | 136 |
| A.13. Aridades máximas obtenidas de la fórmula de la aridad máxima. . . . | 139 |
| A.14. Diferencia entre la aridad registrada por la simulación y los datos empíricos. | 142 |
| A.15. Diferencia entre la aridad registrada por la simulación y los datos empíricos. | 144 |

RESUMEN

Los grafos y la ley de potencia están estrechamente relacionados en el mundo real. Por ejemplo en una red social, la relación de amigos o seguidores globales de un individuo obedecen la distribución de ley de potencia. Este tipo de redes son muy estudiadas en la actualidad, pero no se proporciona acceso a estas, porque los datos son un recurso crítico y sensible. Esto ha llevado a la creación de métodos que generan grafos sintéticos que reproducen las características de grafos reales. Entre dichos métodos se encuentran R-MAT y R³MAT, donde el primero tiene problemas del uso de memoria y al segundo le toma mucho tiempo generar la distribución de aristas por su funcionamiento recursivo. Por esto, el problema que se enfrenta en esta memoria es mejorar el tiempo de producción de un grafo sintético manteniendo las propiedades de la ley de potencia. Para esto, se usa una metodología de investigación cuantitativa de cuatro fases. Es muy relevante en esta memoria la función de probabilidad de la ley de potencia, $P(x = k) = C \cdot k^{-\tau}$ que en el contexto de grafos indica la fracción de nodos que deben tener k vecinos para que esta estructura mantenga la distribución de la ley de potencia. Para la generación de grafos sintéticos, en los métodos de esta memoria se utiliza directamente la función de probabilidad de la ley de potencia para aproximar la cantidad de nodos que deben existir por el número de vecinos, con el fin de mantener dicha propiedad en las estructuras generadas. Como resultado, se han obtenido tres métodos que generan grafos con distribución de la ley de potencia con los cuales se han generado grafos de hasta 250 millones de nodos llegando a generar más de tres mil millones de aristas en algunos casos. Mediante las evaluaciones experimentales que se realizan para comparar uno de los métodos propuestos con otros algoritmos existentes, se comprobó una reducción del tiempo de generación con respecto a estos métodos alternativos. También se probó que efectivamente los grafos generados mantienen la propiedad de la ley de potencia por medio de la visualización de la distribución del número de nodos que se genera para los valores de k vecinos posibles. Finalmente, se logró obtener un método que reduce el tiempo de generación y que produce un grafo que mantiene la propiedad de distribución de la ley de potencia.

1. Introducción

Actualmente, los grafos tienen diversas aplicaciones en áreas como Big Data [1] debido a que permiten representar estructuras interconectadas y datos sin esquemas. Esta escala masiva de datos abruma fácilmente a la memoria principal y los recursos de cómputo. Dentro de las aplicaciones de datos masivos se tiene el análisis de redes sociales [2], donde se utilizan los grafos subyacentes para la representación de la red y así poder detectar comunidades, lo que supone uno de los problemas más importantes de esta área. En el ámbito de recuperación de información [3], se utiliza el PageRank para determinar la importancia de los datos. Calcular dicho valor de forma eficiente es un área de investigación contemporánea, en donde se proponen estructuras de grafos dirigidos acíclicos y descomposición de las redes representadas por estas estructuras.

El desafío al que se enfrentan los métodos de generación de grafos es la reproducción de grafos muy grandes que posean las propiedades existentes en redes reales. Entre dichas propiedades se encuentran: distribución de grados, correlaciones de datos, comunidad, el grado de agrupamiento y clasificación.

Uno de los principales problemas al desarrollar aplicaciones basadas en grafos, es la disponibilidad de conjuntos de datos grandes y representativos debido a que los datos son un recurso sensible y crítico para las organizaciones. La falta de acceso a este tipo de información ha motivado el desarrollo de herramientas de software para generar grafos con diferentes metodologías.

1.1. Contexto

Los grafos en la actualidad son muy estudiados por las diversas aplicaciones que estos poseen en diferentes áreas, pero la falta de acceso a grandes volúmenes

de información a motivado el desarrollo de métodos que generan grafos sintéticos, que son representaciones de grafos reales que cumplen con las propiedades que estos poseen. Ahora bien, el problema al que se enfrentan estos métodos es la generación de grafos grandes, lo que hace referencia a grafos que superan los 100 millones de nodos y que a su vez cumplan las propiedades que se presentan en los grafos naturales.

Un caso interesante de estudio es cuando la aridad de los nodos sigue la ley de potencia. Esta ley resulta ser una función de densidad de probabilidades que es usada para variables aleatorias que toman un conjunto discreto de valores. La ley de potencia establece una relación entre dos magnitudes y en el contexto de los grafos, esta permite establecer la cantidad de nodos que deben existir para cada grado de aridad que se pueda generar de acuerdo al tamaño del grafo. Dentro de los métodos para la generación de grafos que siguen la ley de potencia se encuentra R-MAT. Dado el hecho de que R-MAT funciona con una matriz de adyacencia, surge un problema básico que es ¿cómo generar un grafo grande cuya matriz de adyacencia no cabe en la memoria principal? Si bien, existen afirmaciones que señalan que R-MAT se paraleliza fácilmente con lo que se podrían generar grafos grandes, independiente de esto, administrar un requisito cuadrático de memoria no es una tarea factible incluso para una cantidad tan modesta como los es 100 000 nodos¹.

1.2. Problema

El tener la necesidad de generar grafos tan grandes produce problemas de administración de memoria, dependiendo de la estructura de datos que utilice un método. Además, toma mucho tiempo crear un grafo de esta escala.

Debido al problema de escalabilidad que posee R-MAT al estar limitado a generar un grafo del tamaño que soporte la cantidad de memoria principal, se ha desarrollado un método de generación que utiliza un arreglo [4] a cambio de la matriz que supone el algoritmo original. Este cambio en la estructura aumenta la escalabilidad, manteniendo el tiempo de ejecución del proceso de generación o incluso en algunos casos mejorando dicho tiempo. Esto se logra debido a que el método se basa en la creación de un arreglo auxiliar que contiene la distribución de la aridad de los nodos,

¹Cabe destacar que en esta memoria por compatibilidad con software de matemáticas se utiliza un espacio breve como separador de miles y el punto (.) como separador de decimales, por ejemplo 1 000,0.

en donde cada posición de esta estructura es el identificador de cada nodo. Este método por lo general toma el mismo tiempo de ejecución que R-MAT, sin embargo, sólo necesita $O(n)$ espacio de memoria.

De acuerdo a lo anterior, el método basado en una matriz presenta problemas de memoria al tener que generar la estructura de datos (matriz de adyacencia) completa. Por su parte el método basado en arreglo, que logró solucionar el problema de memoria de la matriz, tarda mucho tiempo en generar grafos grandes. Esto se debe a que simula el proceso de subdividir recursivamente la matriz para generar una arista. Como debe hacer demasiadas particiones con el fin de mantener la distribución de aridades que sigue la ley de potencia, resulta costoso en términos de tiempo.

1.3. Hipótesis

La pregunta de investigación que se pretende abordar en este trabajo consiste en determinar si es posible disminuir el tiempo de producción del arreglo de aridades, y en caso de ser afirmativo las consecuencias de este procedimiento:

Hipótesis 1

- A partir de la función de probabilidad de la ley de potencia se induce la producción del arreglo de aridades.

Hipótesis 2

- El uso de la función de probabilidad de la ley de potencia permite reducir el tiempo de producción del arreglo de aridades.

Hipótesis 3

- Al inducir la creación del grafo por medio de la función de probabilidad de la ley de potencia, este mantiene las propiedades que se esperan.

1.4. Objetivos

En esta sección se detalla tanto el objetivo general como los objetivos específicos a considerar para el desarrollo de esta memoria.

1.4.1. Objetivo General

- Desarrollar y evaluar algoritmos para la generación de grafos basándose en la función de densidad de probabilidad de la ley de potencia.

1.4.2. Objetivos Específicos

- Diseñar uno o más algoritmos de generación de grafos utilizando la predicción de la función de densidad de probabilidad de la ley de potencia.
- Verificar que la generación de grafos de uno o más algoritmos cumple con la propiedad de la ley de potencia.
- Comparar el rendimiento del o los algoritmos propuestos con uno o más algoritmos ya existentes.

1.5. Propuesta de Solución

Como solución a los problemas planteados, se propone hacer uso de la probabilidad de la ley de potencia para generar la aridad de cada nodo directamente.

De acuerdo a la ley de potencia, la probabilidad de que un nodo tenga k vecinos es $P(x = k) = Ck^{-\tau}$, donde C es un factor de normalización, tal que la suma de todas las probabilidades sea 1. Entonces la cantidad de nodos que tienen k vecinos en un grafo es $nCk^{-\tau}$, donde n es el número total de nodos del grafo. Se le llama vecinos a los nodos que están conectados directamente a un nodo y en el caso de un grafo dirigido son los nodos objetivos de la o las aristas que salen de un nodo en particular. Por ejemplo, al momento de crear un grafo de $n = 10\,000$ nodos, se calcula la probabilidad de todas las posibles aridades. Suponga que $\tau = 2$ y $C = 0.67$, entonces para los nodos con aridad $x = 1$ se tiene la fórmula $P(x = 1) = C \cdot 1^{-\tau} = 0.67$, lo que corresponde a la probabilidad de que un nodo tenga un vecino.

Ahora, como la cantidad de nodos que se desea es 10 000, se multiplica la probabilidad por este valor, por lo que se tiene que $nC \cdot 1^{-\tau}$ es la fracción de los 10 000 nodos que tiene un vecino. Ahora, utilizando el valor que se obtuvo para la probabilidad de tener un vecino, se tiene que la cantidad de nodos que tienen un vecino está dada por $nC \cdot 1^{-\tau} = 6\,667$. Con $k = 2$, se tiene $P(x = 2) = C \cdot 2^{-\tau} = 0.16667$ que es la probabilidad de tener 2 vecinos, entonces evaluando $nC \cdot 2^{-\tau}$ se obtiene

$1\,666.833 \approx 1,667$ que es la cantidad de nodos que tienen 2 vecinos. Esto continua sucesivamente hasta $k = 80$, donde se tiene que $P(x = 80) = C \cdot 80^{-\tau} = 0.00010$ es la probabilidad de tener 80 vecinos, entonces: $nC \cdot 80^{-\tau} = 1.04177 \approx 1$, lo que indica la cantidad de nodos que tienen 80 vecinos. Para valores de $k > 80$, la estimación de la cantidad de nodos que tenga k vecinos es menor que 1.

Si se repite el proceso anterior desde 1 hasta $n - 1$ (que es la cantidad de posibles aridades que puede tener un nodo en un grafo de n nodos) se tiene la cantidad de nodos asociada a cada aridad. El Cuadro 1.1 muestra la distribución de aridades.

Cuadro 1.1: Distribución de aridades.

| k (Aridad) | Cantidad de nodos |
|--------------|-------------------|
| 80 | 1 |
| 79 | 1 |
| ⋮ | ⋮ |
| 44 | 3 |
| ⋮ | ⋮ |
| 20 | 17 |
| ⋮ | ⋮ |
| 2 | 1 667 |
| 1 | 6 667 |

A medida que se generan las aridades, se incorporan al arreglo de aridades tal como se muestra en el Cuadro 1.2.

Cuadro 1.2: Arreglo de aridades.

| | | | | | | | | | | | | | |
|----|----|-----|----|----|----|-----|----|----|----|-----|------|------|-----|
| 80 | 79 | ... | 44 | 44 | 44 | ... | 20 | 20 | 20 | ... | 2 | 2 | ... |
| 0 | 1 | ... | 26 | 27 | 28 | ... | 80 | 81 | 82 | ... | 1854 | 1855 | ... |

De acuerdo con el Cuadro 1.2, se agrega inicialmente las aridades con menor frecuencia de nodos existentes, como es el caso de 80 en donde sólo existe 1 nodo con esa aridad, mientras que el caso de 44 existen 3 nodos, por lo que en el arreglo se distribuye en 3 celdas la aridad 44 y así sucesivamente. Por lo mismo, el cálculo de estas inicia desde el número más alto posible hasta el más bajo (de $n - 1$ hasta 1) y se agregan directamente al arreglo. Para efectos del ejemplo, el Cuadro 1.1 sólo

muestra aquellas aridades que poseen al menos un nodo, de tal forma que se omiten los valores de k para los cuales no existe nodo alguno. Por lo que cabe señalar que se dan los casos en que existen 0 nodos con aridad k , para valores de $k > 80$.

Este proceso supone un ahorro en el tiempo en la distribución de aristas generando el arreglo de aridades directamente desde la probabilidad de la ley de potencia.

1.6. Alcances

En el marco del desarrollo de esta memoria, se establecen los siguientes alcances que delimitan diferentes aspectos de ésta:

- Los algoritmos están diseñados y desarrollados para operar en una sola máquina con un solo procesador.
- Los algoritmos utilizados en las comparaciones deben tener características similares a los propuestos.
- El desarrollo de los algoritmos y su implementación no comprende el desarrollo de una interfaz gráfica, sino que son ejecutados por consola por medio de instrucciones con parámetros específicos.
- El formato del resultado de los algoritmos es una lista de aristas de la forma (u, v) , donde u es el nodo de origen y v el nodo objetivo. Estas indican los nodos conectados en forma de texto plano, por lo que no se espera la generación visual de los grafos con nodos en forma de círculos y aristas en forma de flechas o líneas.

1.7. Estructura del Documento

En el capítulo de *Antecedentes*, se muestra un breve descripción de funciones de probabilidad, teoría de grafos, estructuras de datos y el trabajo relacionado con algoritmos de generación de grafos sintéticos, particularmente relacionados a R-MAT.

En el capítulo de *Metodología*, se describe la planificación de actividades realizadas durante la investigación, los criterios empleados para el diseño de los algoritmos desarrollados y la planificación de las pruebas preliminares.

En el capítulo de *Generación de Grafos acorde a la Ley de Potencia* se describen los diferentes algoritmos que se proponen para lograr los objetivos de esta memoria y también se plantean experimentos preliminares para detallar el análisis que se hace de cada método durante el desarrollo e investigación.

En el capítulo de *Evaluación Experimental*, se muestran las mediciones efectuadas para los diferentes algoritmos implementados y se entrega evidencia empírica que valida el cumplimiento y comportamiento esperado por cada uno de los métodos que se evalúa.

En el capítulo de *Conclusiones* se realiza una revisión global de los resultados con el fin de analizar si se ha cumplido lo sostenido en la Hipótesis y sus consecuencias. Por último, se habla del trabajo futuro al que puede llegar esta memoria.

2. Antecedentes

2.1. Funciones de Probabilidad

En teoría de probabilidades, una función de probabilidad [5] establece una relación entre cada punto de su espacio muestral (conjunto de todos los posibles resultados de un experimento aleatorio) con la probabilidad de que ocurra.

En otras palabras, si se tiene un espacio muestral correspondiente a una variable X que tiene los puntos x_1, x_2, \dots, x_k la función de probabilidad P asociada a X es:

$P(X = x_i) = p_i$, donde p_i es la probabilidad de que ocurra x_i . El conjunto de todas las probabilidades correspondientes al espacio muestral suma 1.

De la función de probabilidad derivan la función de distribución y densidad de probabilidad. Cabe mencionar que la función de probabilidad es usada para variables aleatorias que toman un conjunto discreto de valores, puesto que para variables aleatorias continuas se usa la función de densidad.

2.1.1. Función de Densidad de Probabilidad

Una función de densidad de probabilidad establece la probabilidad relativa según la cual una variable aleatoria puede tomar un determinado valor, por lo que la probabilidad cae en una región específica del espacio de posibilidades.

Una función de densidad de probabilidad caracteriza el comportamiento probable de una población en cuanto a la posibilidad de que una variable aleatoria continua X tome un valor cercano a x [6].

Una variable aleatoria X tiene densidad f de la forma:

$$P[a \leq X \leq b] = \int_a^b f(x)dx \tag{2.1}$$

Propiedades

- $f(x) \geq 0$ para toda x .
- El area bajo la curva es igual a 1:

$$\int_{-\infty}^{\infty} f(x)dx = 1 \quad (2.2)$$

Un ejemplo de esta función es la ley de potencia.

2.1.2. Ley de Potencia

La ley de potencia [7] es una relación matemática entre dos magnitudes que establece que dos escalares k e y se vinculan mediante la siguiente función:

$$y(k) = Ck^{-\tau} \quad (2.3)$$

Donde C es la constante de proporcionalidad y τ es el exponente de la ley de potencia. La ley de potencia se presenta en múltiples campos tanto en la naturaleza como en ámbitos artificiales. En términos generales se trata de una relación funcional entre dos cantidades, donde un cambio relativo en una cantidad se traduce en un cambio relativo en la otra cantidad que resulta en un cambio proporcional en dichas magnitudes, lo que es independiente del tamaño inicial de las cantidades.

En el área de grafos, la función de densidad de probabilidad de la ley de potencia puede establecer la probabilidad de que un nodo pueda tener k grados de aridad por medio de $Ck^{-\tau}$, donde el número de nodos que tienen k grados es la cantidad total de nodos por la probabilidad, es decir $nCk^{-\tau}$, lo que implica que estos nodos aportan una cantidad de $nCk^{1-\tau}$ aristas en el grafo [4].

2.1.3. Números Aleatorios con Distribución de la Ley de Potencia

Para generar una distribución de Ley de Potencia $P(k)$ a partir de una distribución uniforme $P(y)$, se tiene que $P(k) = Ck^{\tau}$ para $k \in [k_0, k_1]$. Entonces, al normalizar se tiene:

$$\int_{k_0}^{k_1} P(k)dk = C \frac{[k^{\tau+1}]_{k_0}^{k_1}}{\tau + 1} = 1 \quad (2.4)$$

Se despeja C de la Ecuación 2.4 y se obtiene:

$$C = \frac{\tau + 1}{k_1^{\tau+1} - k_0^{\tau+1}} \quad (2.5)$$

Si se tiene que y es una variable uniformemente distribuida en $[0, 1]$. Entonces,

$$D(k) = \int_{k_0}^{k_1} P(k') dk' = C \int_{k_0}^k k'^{\tau} dk' \quad (2.6)$$

Al calcular la integral de la Ecuación 2.6 se tiene que:

$$y = \frac{C}{\tau + 1} (k^{\tau+1} - k_0^{\tau+1}) \quad (2.7)$$

Ahora, se despeja la variable k de la Ecuación 2.7. Se obtiene:

$$k = \left(\frac{\tau + 1}{C} y + k_0^{\tau+1} \right)^{\frac{1}{\tau+1}} \quad (2.8)$$

Se reemplaza C en la Ecuación 2.8 con la expresión de la Ecuación 2.5 y se tiene:

$$k = \left[(k_1^{\tau+1} - k_0^{\tau+1}) y + k_0^{\tau+1} \right]^{\frac{1}{\tau+1}} \quad (2.9)$$

Entonces los valores que puede tomar k , a partir de una serie de números y con distribución uniforme, se distribuyen a partir de la ley de potencia [8].

2.2. Grafos

Un grafo es un par $G = (N, E)$ donde N es un conjunto de $n = |N|$ nodos y E es un conjunto de $m = |E|$ aristas (dirigidas o no dirigidas). Una arista está dada por un par de nodos (u, v) , donde u y v se denominan nodos adyacentes. Si se establece que $e = (u, v)$ es una arista dirigida, se tiene que, u es el nodo fuente, v es el nodo objetivo, por lo tanto e es una arista saliente del nodo u y es una arista entrante del nodo v . Si se establece que e es una arista no dirigida, entonces (u, v) es equivalente a (v, u) . A partir de esto, se define que un grafo es dirigido cuando contiene sólo aristas dirigidas y es no dirigido cuando contiene sólo aristas no dirigidas [4].

Una arista de la forma (u, u) se denomina rulo. Si hay dos o más aristas que están asociadas al mismo par de nodos (u, v) se les denomina aristas paralelas. Un grado se dice simple, si es que no contiene aristas paralelas o rulos. En esta memoria sólo se consideran grafos simples.

2.2.1. Sobre la adyacencia de los nodos

Un nodo v es adyacente a u si y sólo si $(u, v) \in E$. Entonces, en un grafo no dirigido, si se tiene la arista (u, v) , v es adyacente a u y simétricamente u es adyacente a v . Usando la misma arista como ejemplo, en un grafo dirigido, se tiene que sólo v es adyacente a u . En muchos casos, a las aristas se les asigna un peso o costo. A dichas estructuras se les llama grafos ponderados. En esta memoria no se considera el peso de las aristas [9].

La adyacencia de un nodo $u \in N$ es V , donde V es el conjunto de los nodos vecinos de u . Formalmente la $adyacencia(u) = \{v \in N, (u, v) \in E\}$. La adyacencia del nodo u no contiene al nodo u en sí.

2.2.2. Aridad de un Nodo

La aridad o grado de un nodo u en un grafo G simple, es la cantidad de aristas de E que están asociadas a u . Cuando G es un grafo no dirigido la aridad de u coincide con la cantidad de nodos vecinos [10]. En otras palabras, la aridad de un nodo u equivale a la cantidad de nodo adyacentes a éste.

Cuando se habla de grafos dirigidos, el término aridad se divide en 2 grupos, *in degree* (aridad o grados de entrada) y *out degree* (aridad o grados de salida). El indegree de u es la cantidad de aristas que tienen a este nodo como objetivo. El out degree de u equivale a la cantidad de aristas que tienen a este nodo como origen.

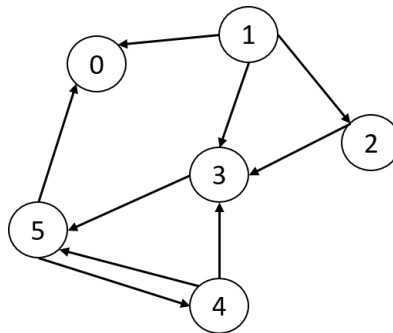


Figura 2.1: Grafo dirigido.

A modo de ejemplo, si se considera el grafo dirigido de la Figura 2.1 se puede determinar el in degree y el out degree de cada nodo como se aprecia en el Cuadro 2.1.

Cuadro 2.1: Aridad del grafo dirigido de la Figura 2.1.

| Nodo | In-degree | Out-degree |
|------|-----------|------------|
| 0 | 2 | 0 |
| 1 | 0 | 3 |
| 2 | 1 | 1 |
| 3 | 3 | 1 |
| 4 | 1 | 2 |
| 5 | 2 | 2 |

2.3. Representación de Grafos

En esta sección se detallan diferentes estructuras de datos que permiten representar grafos y las características que presentan.

2.3.1. Lista de Aristas

Según la definición de grafo, éste es un par $G = (N, E)$ formado por un conjunto de nodos N y un conjunto de aristas E . Con esta definición, se puede representar un grafo fácilmente. Cuando la semántica de N es irrelevante, el conjunto de nodos se representa con números entre 0 y $n - 1$, lo que sólo indica la cantidad de nodos que existen. Pero en el caso de E , éste se puede representar como una lista, por lo que a esta estructura se le llama lista de aristas [11], donde se tiene todos los pares de la forma (u, v) .

Al tomar como ejemplo el grafo de la Figura 2.1, este se puede representar como una lista de aristas de la siguiente forma:

$$E = \{(1, 0), (1, 2), (1, 3), (2, 3), (3, 5), (4, 3), (4, 5), (5, 0), (5, 4)\}$$

La ventaja de la lista de aristas es que ocupa $O(m)$ espacio para representar un grafo con n nodos y m aristas. La desventaja, es que la lista de arista no es muy útil para realizar operaciones sobre la estructura. Por ejemplo, hay que recorrer toda la estructura para conocer los todos nodos adyacentes de un nodo en específico.

2.3.2. Matriz de Adyacencia

Se puede hacer uso de una matriz M_G para representar cualquier grafo G usando la matriz que representa la relación que existe entre un nodo u y sus nodos adyacentes

(*adyacencia*(u)). Si se habla de un grafo simple no dirigido, la relación que existe entre un nodo y sus adyacentes es simétrica, por lo que $M_G = (M_G)^T$, además de que la diagonal de M_G tiene solo 0's. A esta estructura se le llama matriz de adyacencia. Si G tiene n nodos, entonces M_G es una matriz de $n \times n$ [10]. Tomando como ejemplo el grafo no dirigido de la Figura 2.2, su representación como matriz de adyacencia se muestra en el Cuadro 2.2.

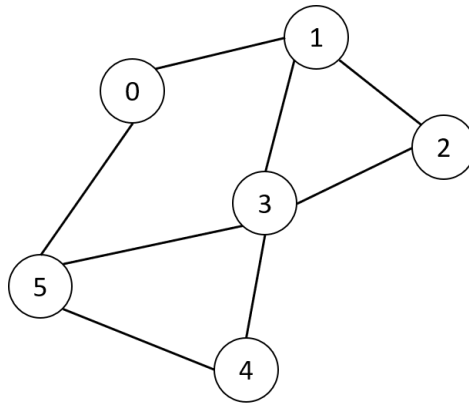


Figura 2.2: Grafo no dirigido.

Cuadro 2.2: Matriz de adyacencia.

| | n0 | n1 | n2 | n3 | n4 | n5 |
|----|----|----|----|----|----|----|
| n0 | 0 | 1 | 0 | 0 | 0 | 1 |
| n1 | 1 | 0 | 1 | 1 | 0 | 0 |
| n2 | 0 | 1 | 0 | 1 | 0 | 0 |
| n3 | 0 | 1 | 1 | 0 | 1 | 1 |
| n4 | 0 | 0 | 0 | 1 | 0 | 1 |
| n5 | 1 | 0 | 0 | 1 | 1 | 0 |

En la matriz del Cuadro 2.2, se puede apreciar que la conexión entre un nodo y otro se denota con el número 1, mientras que la inexistencia de esta se marca con el número 0. Naturalmente, también se puede usar una matriz de bits para ahorrar espacio de memoria.

2.3.3. Arreglo de Aridades

Un arreglo de aridades [4] es una estructura de datos que representa la distribución de aridades de un grafo. Para esto, cada índice del arreglo representa a un nodo específico y el valor contenido en dicha posición indica la aridad o cantidad de nodos vecinos que posee el nodo correspondiente al índice.

Si se considera la Figura 2.1 que muestra un grafo dirigido, su representación como arreglo de aridades es como se muestra en el Cuadro 2.3.

Cuadro 2.3: Arreglo de aridades para el grafo de la Figura 2.1.

| | | | | | |
|---|---|---|---|---|---|
| 0 | 3 | 1 | 1 | 2 | 2 |
| 0 | 1 | 2 | 3 | 4 | 5 |

En el Grafo Dirigido de la Figura 2.1 se aprecia que el nodo 1 posee 3 aristas que salen de él, por lo que se puede decir que $adyacencia(1) = \{0, 2, 3\}$. Por dicha razón, en el arreglo de aridades del Cuadro 2.3, en la posición 1, que corresponde al nodo 1, se almacena el valor 3, que indica la aridad del nodo. Este proceso se replica para todos los nodos para representar su aridad en el arreglo. Cabe destacar que el arreglo de aridades de un grafo dirigido equivale al out-degree de cada nodo almacenado en su respectiva posición (ver Cuadro 2.1, columna Out-degree).

Si se considera la Figura 2.2 que muestra un grafo no dirigido, su representación como arreglo de aridades es como se muestra en el Cuadro 2.4.

Cuadro 2.4: Arreglo de aridades para el grafo de la Figura 2.2.

| | | | | | |
|---|---|---|---|---|---|
| 2 | 3 | 2 | 4 | 2 | 3 |
| 0 | 1 | 2 | 3 | 4 | 5 |

Cabe mencionar que el arreglo de aridades del Cuadro 2.4 es equivalente a resumir la matriz de adyacencia del Cuadro 2.2. En efecto, el arreglo almacena la aridad correspondientes a cada nodo del grafo no dirigido de la Figura 2.2, lo que se puede comprobar sumando los valores de cada columna y asignándolos al nodo respectivo.

2.4. Algoritmo R-MAT

El Recursive Matrix o R-MAT [12] es un método para generar datos de grafos con el objetivo de satisfacer tres propiedades: parsimonia, realismo y velocidad. Parsimonia se refiere a que el método es ejecutado con pocos parámetros. Realismo hace

referencia a generar grafos que se asemejan a estructuras que existen en la vida real y que pueden ser representadas por medio de estas. Velocidad en términos de generar grafos rápidamente.

La idea básica de R-MAT es generar las aristas del grafo calculando la probabilidad de cada una de estas. Como esto resulta difícil de realizar para cada arista, R-MAT realiza una simulación de tipo Montecarlo para poder repetir o duplicar características y comportamientos de un sistema real. Esto, pues el objetivo principal de las simulaciones de tipo Montecarlo es imitar el comportamiento de variables reales para analizar o predecir cómo estas cambian eventualmente.

Al observar un grafo del mundo real, se puede apreciar la existencia de nodos preferidos, es decir, nodos que poseen un mayor nivel de conexiones con respecto al resto. Un ejemplo es el grafo de seguidores de Twitter, ya que existen usuarios que tienen muchos seguidores y de forma inversa usuarios con pocos seguidores. Entonces, lo que hace R-MAT es concentrar la distribución de aristas en dichas zonas. Para esto, la idea es seleccionar una arista de forma aleatoria tratando de imitar este comportamiento y así realiza este proceso muchas veces.

Para simular la preferencia, se toma la matriz completa del grafo la que se divide en 4 cuadrantes (Figura 2.3) y se le asigna una probabilidad razonable a cada cuadrante. De esta forma, cada cuadrante tiene una preferencia distinta de acuerdo a la probabilidad asignada (a mayor probabilidad, mayor preferencia y viceversa). Después, dentro de cada cuadrante se vuelven a asignar la probabilidades siguiendo la misma distribución. Entonces, la idea es poder establecer nodos preferidos que se encuentran en un cuadrante preferencial de acuerdo a la probabilidad asignada. Así, se pueden generar aquellos nodos a los que le llegan más aristas [4]. Cabe mencionar que R-MAT selecciona una arista a la vez.

Para generar un grafo $G = (N, E)$, R-MAT define un procedimiento recursivo para agregar aristas a una matriz de adyacencia, la cual está vacía inicialmente, hasta que se haya agregado un número dado de aristas. El procedimiento recursivo subdivide la matriz de adyacencia del grafo en cuatro particiones llamadas a, b, c y d , donde la selección de x particiones sigue una probabilidad P_x que satisface $P_a + P_b + P_c + P_d = 1$, y agrega una arista a la matriz haciendo $(u, v) = 1$ al final de la recursión [13]. La selección de valores convenientes para P_a, P_b, P_c y P_d resulta ser crucial para un buen desempeño del algoritmo. En un estudio formal de R-MAT [14], los autores establecen que las probabilidades recomendadas son: $P_a=0.55$,

| | n_1 | n_2 | n_3 | n_4 | n_5 | n_6 | n_7 | n_8 |
|-------|-------|-------|-------|-------|-------|-------|-------|-------|
| n_1 | | | | | a | b | | b |
| n_2 | | | | | c | d | | |
| n_3 | | a | | | | | | |
| n_4 | | | | | c | | | d |
| n_5 | | | | | | | | |
| n_6 | | | | | | | | |
| n_7 | | | c | | | | d | |
| n_8 | | | | | | | | |

Figura 2.3: Ejemplo de matriz de adyacencia generada por R-MAT.

$P_b=P_c=0.1$, y $P_d=0.25$. Mientras que en otro estudio [13], después de varias pruebas y combinaciones, establecen como probabilidades para $P_a=0.60$, $P_b=P_c=0.15$, y $P_d=0.10$. Por ultimo, en [4] se utilizan los valores $P_a=0.67$, $P_b=0.19$, $P_c=0.10$, y $P_d=0.04$ para grafos dirigidos, mientras que para grafos no dirigidos se utilizan los valores $P_a=0.74$, $P_b=0.17$, $P_c=0.08$, y $P_d=0.01$.

2.4.1. Estadística de Kolmogorov-Smirnov (KS)

La estadística de Kolmogorov-Smirnov [15], es una prueba no paramétrica que se utiliza para determinar la bondad de ajuste de dos distribuciones de probabilidad entre sí. Cabe mencionar que la bondad de ajuste de un modelo estadístico describe lo bien que se ajusta a un conjunto de datos. Por lo general, esta estadística proporciona el medio para probar si un conjunto de observaciones son de una distribución continua especificada. Una de las ventajas que posee, es que se puede usar con tamaños de muestras pequeño.

En este sentido, la estadística de Kolmogorov-Smirnov permite comparar una distribución de muestra con una distribución de probabilidad de referencia (por ejemplo, la ley de potencia) cuantificando la distancia entre ellas. Las puntuaciones pequeñas para la estadística denotan un mejor ajuste entre las distribuciones en comparación.

2.5. Trabajo Relacionado

La propuesta de investigación está estrechamente ligada al estudio e implemen-

tación de R-MAT desarrollada y expuesta en *R³MAT: A Rapid and Robust Graph Generator* [4], en donde se presentan tres implementaciones del algoritmo. La primera basada en matrices, en donde se expone el problema de memoria y dependencia de la potencia computacional. La segunda implementación basada en arreglos, demuestra ser escalable en términos de memoria logrando generar grafos grandes, pero se observó que tomaba mucho tiempo la generación de la aridad por el método recursivo que implementa. El tercer método basado en tablas de Hash demostró ser escalable en lo que respecta el uso de memoria, pero en términos de tiempo no supera al método basado en matriz. Pero es destacable que los métodos implementados basados en arreglos o en la tabla de Hash logran generar grafos que poseen la propiedad de la ley de potencia, por lo que también se demuestra la replicación de grafos sintéticos con las características esperadas. Adicionalmente esta metodología ofrece otras dos ventajas: el método de generación sigue un *set* específico de parámetros y no es necesario tener conocimiento riguroso para darle uso.

A continuación, se presentan investigaciones que han abordado temáticas similares al problema al que se está abordando con respecto a la generación de grafos.

En la investigación expuesta en el artículo *Towards a property graph generator for benchmarking* [16], los autores exponen el diseño conceptual de DataSynth, que es un framework para la generación de grafos con esquemas y características modificables. Si bien este marco de trabajo permite al usuario definir diferentes estructuras para los grafos y la correlación, el método se basa en un algoritmo de particiones de grafo llamado SBM-Part, que permite coincidir las propiedades con los nodos que se generan. Pero este algoritmo no garantiza una solución óptima, por lo que las restricciones estrictas que se establecen no son garantizadas.

En el artículo *Graph Mining: Laws, Generators, and Algorithms* [7], los autores hablan de patrones sobre grafos y las propiedades que debería producir un generador sobre un grafo, destacando que buscan una compensación entre parsimonia, realismo y eficiencia. Es por esto que deciden usar R-MAT que intenta abordar todas estas preocupaciones que se tienen a la hora de generar dichas estructuras. Si bien no realizan un estudio analítico exhaustivo del modelo, consideran que los tres parámetros que utilizan (tipo de grafo, número de aristas y número de nodos) no dan los suficientes grados de libertad para igualar todas las variedades de grafos que se pueden generar, pero el modelo garantiza y coincide con varios patrones que se esperan de un grafo sintético que simula uno real, como lo es la densidad de la ley de potencia

y más patrones con los que coincide R-MAT.

En *A Mathematical Analysis of the R-MAT Random Graph Generator* [14], Chris Groër et al realizaron un análisis matemático de las distribuciones de la aridad de los grafos generados por R-MAT. Se obtuvieron las fórmulas exactas y asintóticas para la distribución de la aridad al modelar la creación de aristas como un problema de ocupación a partir de la teoría de probabilidad. También se proporcionan fórmulas para estimar la media y la varianza del número de aristas correspondientes al grafo final.

El artículo *SNAP: A general-purpose network analysis and graph-mining library* [17] habla sobre la plataforma de análisis de redes de Stanford (SNAP), la cual implementa diferentes métodos para la generación de grafos para máquinas individuales, pero con una gran memoria. La entrada de datos para el método de generación que implementa R-MAT (GenRMAT) es la cantidad de nodos, la cantidad de aristas, las probabilidades de partición y un generador de números aleatorios. La salida es un grafo dirigido. No se entrega más información acerca de la implementación.

En *Linear Work Generation of R-MAT Graphs* [18] los autores presentan un método que busca reducir el tiempo logarítmico de R-MAT a tiempo constante por arista. La idea básica es que pueden generar un número logarítmico de bits de dirección en cada iteración. Estos bits codifican los índices de columna y fila para una arista en cada iteración. Adicionalmente muestran que su algoritmo se puede paralelizar. Se da a entender que su algoritmo secuencial es 10% más lento que otros métodos secuenciales, pero supone ser más simple que el resto.

2.6. Tecnologías Computacionales

En esta sección se describen las tecnologías y herramientas de software que se utilizan en el desarrollo de esta memoria.

■ Java

Es un lenguaje de programación y una plataforma informática diseñado por Sun Microsystems que en la actualidad es propiedad de Oracle Corporation. Al día de hoy, muchas aplicaciones y sitios funcionan gracias a Java, puesto que se considera rápido, seguro y fiable. Este lenguaje usa el paradigma orientado a objetos y permite la ejecución de un mismo programa en múltiples sistemas operativos [19].

- **R**

Es un entorno y lenguaje de programación libre para computación estadística y gráficos. Es un proyecto GNU desarrollado en los Laboratorios Bell. Este proporciona una amplia variedad de técnicas estadísticas y gráficas, que a su vez es altamente extensible. Una de las características de R es la facilidad con la que se pueden producir gráficos bien diseñados con calidad de publicación [20].

- **Microsoft Excel**

Es una hoja de cálculo desarrollada por Microsoft para diferentes sistemas operativos. Esta cuenta con herramientas gráficas, cálculos y el lenguaje de programación Visual Basic. Sus principales utilidades son que permite elaborar tablas y formatos de cálculos matemáticos por medio de diferentes fórmulas haciendo uso de múltiples operadores o funciones [21].

3. Metodología

En este capítulo se detallan las fases que se contemplan para el desarrollo de esta memoria y las actividades correspondientes. Se plantea seguir una metodología de investigación cuantitativa [22].

3.1. Fase Conceptual

En esta fase se fórmula y delimita el problema que se está abordando, a partir de la definición del contexto y basándose en la revisión literaria de tópicos relacionados al tema abordado. Las actividades que comprenden esta fase son:

- Estudio de los algoritmos R-MAT y R³MAT.
- Investigación del estado del arte de los algoritmos para la generación de grafos sintéticos que funcionan como alternativas a R-MAT y R³MAT.
- Estudio de funciones de distribución de probabilidades.
- Estudio de los principales componentes de un grafo y estructuras que se utilizan para su representación.
- Definición y delimitación del problema que se aborda.
- Construcción del marco teórico.
- Formulación de objetivos e hipótesis.

3.2. Fase de Planeación y Diseño de Investigación

En esta fase se definen los métodos y estrategias que se emplean para resolver el problema. Por esto, se establece un diseño experimental de investigación en donde se realiza intervenciones de forma activa al proponer, desarrollar y modificar los algoritmos que se consideran necesarios. Las actividades que comprenden esta fase son:

- Diseño, implementación y pruebas de un mecanismo que construya un arreglo de aridades usando la función de densidad de probabilidad de la ley de potencia.
- Diseño e implementación de un mecanismo que construya un arreglo de probabilidades acumuladas a partir de la función de densidad de probabilidad de la ley de potencia.
- Diseño e implementación de un mecanismo que construya un arreglo con la frecuencia de nodos por aridad en base a un arreglo de probabilidades acumuladas.
- Diseño, implementación y pruebas de un mecanismo que construya un arreglo de aridades en base a un arreglo de frecuencia de nodos por aridad.
- Estudio y diseño de un mecanismo que permite modificar la distribución uniforme que poseen los números aleatorios generados en Java a una distribución de ley de potencia.
- Estudio y modelado de una función que permita calcular la aridad máxima de un grafo, dado el tamaño y valor de τ de la estructura que se desea construir.
- Diseño, implementación y pruebas de un mecanismo que construya un arreglo de aridades con la generación de números aleatorios con distribución de ley de potencia y la función que calcula la aridad máxima.

3.3. Fase Empírica y Analítica

Esta fase corresponde a pasar a la ejecución del estudio, donde en primer lugar se lleva a cabo una recolección de datos y la preparación de estos para su análisis. En otras palabras, se lleva a cabo una serie de experimentos en los que se generan

diversos grafos, en los que su posterior análisis permite sacar conclusiones generales que apuntan a esclarecer el problema formulado al inicio de esta memoria. En esta fase se realizan dos actividades:

- Experimentos preliminares para cada mecanismo que genera un arreglo de aridades.
- Evaluación experimental para la comparación de los diferentes mecanismos y la comparación con el estado del arte.

3.3.1. Método de Evaluación Experimentos Preliminares

En estos experimentos se consideran dos variables: tamaño del grafo y tipo de grafo. En términos de tamaño, se consideran grafos de 1 000, 10 000, 100 000 y 1 000 000 de nodos. Por su parte, el tipo de grafo indica la generación de aristas dirigidas o no dirigidas.

En base a los parámetros anteriores, se evalúa el método de generación en términos de eficiencia midiendo el tiempo transcurrido a medida que aumenta el número de nodos. Dada las características del grafo, se analiza si se alcanza la cantidad de aristas esperada con una fórmula que se propone más adelante y para todos estos experimentos se considera $\tau = 2$.

3.3.2. Configuración Experimental para Experimentos Preliminares

Estos experimentos se ejecutan en un ordenador con CPU Intel Core i3-7100U con 2.40 GHz, 4 GB de memoria (RAM) y 240 GB de memoria secundaria (SSD). El sistema operativo es Windows 10 Pro de 64 bits y se instaló Java versión 1.8.0_251. Se genera una aplicación Java para cada método que se plantea evaluar y se ejecuta por línea de comandos para la generación de los grafos.

3.4. Fase de Difusión

En esta fase se divulgan los resultados obtenidos, por lo que esta etapa comprende la formalización de todo el proceso realizado en el presente documento de memoria, por lo que se da cuenta de los objetivos propuestos, el diseño metodológico utilizado, resultados, dificultades y limitaciones. Se concluye el trabajo realizado junto con sugerencias o recomendaciones para nuevos estudios.

4. Generación de Grafos acorde a la Ley de Potencia

En este capítulo, se detallan los algoritmos propuestos a forma de solución, los resultados que han generado y su respectivo análisis.

4.1. Algoritmo 1

Este algoritmo hace uso de la función de probabilidad de la ley de potencia para generar la aridad de cada nodo directamente.

Se tiene que $P(x = k) = Ck^{-\tau}$ indica la probabilidad de que un nodo tenga k vecinos. Por lo tanto, el número total de nodos que tienen k vecinos en un grafo es $nCk^{-\tau}$, donde n es el número de nodos total del grafo. Esto último, implica que todos estos nodos agregan $knCk^{-\tau}$ aristas, lo que equivale a la expresión:

$$nCk^{1-\tau} \tag{4.1}$$

Como la suma de todas las probabilidades es 1, esto debe corresponder a sumar las probabilidades de que un nodo tenga k vecinos de 1 hasta $n - 1$, vale decir:

$$C \sum_{k=1}^{n-1} k^{-\tau} = 1 \tag{4.2}$$

Al calcular el valor de la sumatoria de la Ecuación 4.2 y fijar un valor para τ , se puede obtener un valor para el factor de normalización (C).

El número de aristas m de un grafo que sigue la ley de potencia se obtiene al sumar los valores de la Ecuación 4.1, donde k toma valores desde 1 hasta $n - 1$. Esto es:

$$m = nC \sum_{k=1}^{n-1} k^{1-\tau} \quad (4.3)$$

En el mundo real, el exponente de la ley de potencia τ para grafos naturales está en el rango $[1.92, 2.72]$ [7]. Usar un valor dentro de ese rango conlleva a determinar un valor para el factor de normalización haciendo uso de la Ecuación 4.2 cuando $\tau > 1$ [4]. Se calcula la sumatoria aproximándola por integrales. Como la función $k^{-\tau}$ es monótonamente decreciente, la sumatoria de la Ecuación 4.2 se aproxima de la forma:

$$\int_1^n k^{-\tau} dk < \sum_{k=1}^{n-1} k^{-\tau} < 1 + \int_1^{n-1} k^{-\tau} dk \quad (4.4)$$

La integral del lado izquierdo es $\frac{n^{1-\tau}-1}{1-\tau}$. Al lado derecho se suma 1 a la integral, debido a que es el valor exacto de $k^{-\tau}$ cuando $k = 1$. Por lo tanto, la integral es $\frac{(n-1)^{1-\tau}-1}{1-\tau}$. Se usan las aproximaciones de Taylor y la integral es $(n^{1-\tau} - \frac{1-\tau}{n^\tau} - 1)/(1-\tau)$. Como el $\lim_{n \rightarrow \infty} (\frac{1-\tau}{n^\tau}) = 0$, este término se omite. Entonces se tiene que la integral del lado derecho es $\frac{n^{1-\tau}-1}{1-\tau}$. Con esto, la Ecuación 4.4 se reescribe:

$$\frac{n^{1-\tau} - 1}{1 - \tau} < \sum_{k=1}^{n-1} k^{-\tau} < 1 + \frac{n^{1-\tau} - 1}{1 - \tau} \quad (4.5)$$

Al promediar los límites de la Ecuación 4.5, $\sum_{k=1}^{n-1} k^{-\tau} \approx \frac{n^{1-\tau}-1}{1-\tau} + \frac{1}{2} = \frac{2n^{1-\tau}-1-\tau}{2(1-\tau)}$. Entonces, se reemplaza en la Ecuación 4.2 y se obtiene el factor de normalización C al despejar:

$$C \approx \frac{2(1-\tau)}{2n^{1-\tau} - 1 - \tau} \quad (4.6)$$

Como el valor de $\tau > 1$, se aprecia que $\lim_{n \rightarrow \infty} (2n^{1-\tau}) = 0$, por lo que el factor de normalización es:

$$C \approx \frac{2(\tau - 1)}{1 + \tau} \quad (4.7)$$

Con respecto al número de aristas, la función $k^{1-\tau}$ es decreciente. Entonces la sumatoria de la Ecuación 4.3 se aproxima por integrales:

$$\int_1^n k^{1-\tau} dk < \sum_{k=1}^{n-1} k^{1-\tau} < 1 + \int_1^{n-1} k^{1-\tau} dk \quad (4.8)$$

La integral del lado izquierdo es $\frac{n^{2-\tau}-1}{2-\tau}$. Al lado derecho se suma 1 a la integral, debido a que es el valor exacto de $k^{-\tau}$ cuando $k = 1$. Entonces, la integral es $\frac{(n-1)^{2-\tau}-1}{2-\tau}$, que aproximadamente es $\frac{n^{2-\tau}-n^{1-\tau}(2-\tau)-1}{2-\tau}$. Pero al ser $\tau > 1$, el valor de $n^{1-\tau}$ es insignificante. Así, la integral de la derecha es $\frac{n^{2-\tau}-1}{2-\tau}$. Luego, la Ecuación 4.8 se reescribe:

$$\frac{n^{2-\tau}-1}{2-\tau} < \sum_{k=1}^{n-1} k^{1-\tau} < 1 + \frac{n^{2-\tau}-1}{2-\tau} \quad (4.9)$$

Al promediar los límites de la Ecuación 4.9, $\sum_{k=1}^{n-1} k^{1-\tau} \approx \frac{n^{2-\tau}-1}{2-\tau} + \frac{1}{2} = \frac{2n^{2-\tau}-\tau}{2(2-\tau)}$. Entonces, al reemplazar en 4.3, el número de aristas es:

$$m \approx n \frac{2(\tau-1)}{1+\tau} \frac{2n^{2-\tau}-\tau}{2(2-\tau)} = \frac{n(\tau-1)(2n^{2-\tau}-\tau)}{(1+\tau)(2-\tau)} \quad (4.10)$$

Es importante notar el caso cuando $\tau = 2$, ya que la sumatoria en la Ecuación 4.3 se convierte en $\sum_{k=1}^{n-1} k^{-1} \approx \ln(n) + 0.57722$. El factor de normalización es $C \approx \frac{2}{3}$, por lo que el número de aristas en este caso es:

$$m \approx \frac{2}{3} \cdot n \cdot \ln(n) + 0.38481n \quad (4.11)$$

El cálculo de todas estas fórmulas y ecuaciones se encuentra con mayor detalle en el Artículo *R³MAT: A Rapid and Robust Graph Generator* [4].

4.1.1. Generación de la Distribución de Aridades

El método de generación de grafos se basa principalmente en la creación de un arreglo de aridades que contiene la distribución de grados de los nodos. Este proceso se lleva a cabo mediante la función `GenerateArrayPowerLaw`, que se presenta en el Algoritmo 1.

El parámetro de entrada de la función `GenerateArrayPowerLaw` es el número de nodos N . La salida es un arreglo D de longitud N , tal que $D[i]$ define el número de aristas del nodo i , donde $0 \leq i < n$.

La función `GenerateArrayPowerLaw` comienza con la definición del valor de τ , la constante de proporcionalidad C y la inicialización el arreglo de aridades D . Se asigna el valor de $\tau = 2$ y se utiliza la fórmula de la Ecuación 4.7 para la constante C .

En el paso de generar la probabilidad (Línea 7) para una aridad k (valor posible dado el volumen N del grafo) se utiliza la fórmula de la Ecuación 2.3 de la definición

de la ley de potencia. Se calcula el producto (Línea 8) de la probabilidad con el número de nodos N . Esto indica la cantidad de nodos que tienen aridad k en el grafo. Dado el valor del producto, se divide en dos casos. Caso uno, cuando la cantidad de nodos resultantes para la aridad k es mayor o igual a uno y el caso dos, cuando es menor a uno.

En el caso uno ($\text{nodosAridad} \geq 1$) se redondea el resultado de producto (Línea 10), ya que este valor es un *double* que posee cierta cantidad de cifras decimales y una parte entera, siendo esta última la que indica la cantidad de nodos con aridad k . En el paso de asignar la aridad k al nodo i (Línea 13) se está añadiendo la aridad k a un solo nodo en el arreglo de aridades. Por esto último, este paso se repite la cantidad de veces indicada por la cantidad de nodos con aridad k (valor de variable *nodosPorAridad*).

En el caso dos ($\text{nodosAridad} < 1$), inicialmente se obtiene un número aleatorio r entre 0 y 1 (Línea 19). El valor de r se compara con la cantidad de nodos para la aridad k (Línea 20), donde si se determina que r es menor a la cantidad, se crea un solo nodo i con la aridad k en el arreglo de aridades D (Línea 21).

Los pasos entre la línea 7 a la 25 se repiten $N - 1$ veces desde la aridad $k = N - 1$ hasta $k = 1$. El arreglo de aridades producido se retorna en la Línea 27, el que contiene el número de aristas de cada nodo i ordenada de mayor a menor. De este modo el nodo 0 tiene la mayor aridad, mientras que el nodo $N - 1$ contiene la menor aridad. La representación gráfica del arreglo que retorna el Algoritmo 1 se aprecia en el Cuadro 4.1. Este arreglo tiene datos de un grafo de 1000 nodos indexados del 0 en adelante generado con el método descrito.

Cuadro 4.1: Arreglo de aridades Algoritmo 1.

| | | | | | | | | | | |
|-----|-----|-----|-----|-----|----|----|----|----|-----|-----|
| 941 | 420 | 312 | 202 | 125 | 72 | 69 | 62 | 60 | ... | 1 |
| 0 | 1 | 2 | 3 | 4 | 5 | 6 | 7 | 8 | ... | 999 |

4.1.2. Experimentos Preliminares Algoritmo 1

En esta sección se evalúan los resultados que genera el Algoritmo 1, lo que permite analizar la eficiencia del método y características de los grafos producidos. El objetivo de estos experimentos es la búsqueda de fallas o falencias en el método de generación para su corrección o que den paso a crear nuevos algoritmos que resuelvan

Algorithm 1: GenerateArrayPowerLaw(int N)

Input: $N \leftarrow$ Número de nodos del grafo.**Output:** Un arreglo D , tal que $D[i]$ contiene el grado del nodo i .

```

1 begin
2   double  $\tau \leftarrow 2$ 
3   double  $C \leftarrow (2 \cdot (\tau - 1)) / (1 + \tau)$ 
4   int  $i \leftarrow 0$ 
5   long  $D[] \leftarrow$  new long[ $N$ ]
6   for long  $k \leftarrow N - 1$  to 1 do
7     double  $pbb \leftarrow C \cdot \text{Math.pow}(k, -\tau)$  //Generar Probabilidad
8     double  $nodosAridad \leftarrow N \cdot pbb$ 
9     if  $nodosAridad \geq 1$  then
10      long  $nodosPorAridad \leftarrow \text{Math.round}(nodosAridad)$ 
11      long  $j \leftarrow 0$ 
12      while  $j \leq nodosPorAridad$  do
13         $D[i] \leftarrow k$  //Asignar aridad  $k$  al nodo  $i$ 
14         $i \leftarrow i + 1$ 
15         $j \leftarrow j + 1$ 
16        if  $i \geq N$  then break;
17      end
18    else
19      double  $r \leftarrow \text{rand.nextDouble}()$  //Caso 2
20      if  $nodosAridad > r$  then
21         $D[i] \leftarrow k$  //Asignar aridad  $k$  al nodo  $i$ 
22         $i \leftarrow i + 1$ 
23        if  $i \geq N$  then break;
24      end
25    end
26  end
27  return  $D$ 
28 end

```

los problemas de este primer método.

Resultados

Cada experimento corresponde a una combinación de tamaño del grafo y tipo de aristas. Se registra el tiempo de ejecución y el número de aristas generada. En general, se generan ocho grafos, con un tamaño máximo de un millón de nodos.

Cuadro 4.2: Grafos generados en la evaluación preliminar del Algoritmo 1.

| GraphID | Tipo de Grafo | Número de Nodos | Número de Aristas | Tiempo (ms) |
|---------|---------------|-----------------|-------------------|-------------|
| UDG1K | No Dirigido | 1 000 | 2 105 | 12 |
| DG1K | Dirigido | 1 000 | 4 972 | 11 |
| UDG10k | No Dirigido | 10 000 | 33 606 | 74 |
| DG10k | Dirigido | 10 000 | 53 172 | 32 |
| UDG100k | No Dirigido | 100 000 | 402 687 | 391 |
| DG100k | Dirigido | 100 000 | 745 677 | 174 |
| UDG1M | No Dirigido | 1 000 000 | 4 890 285 | 9 441 |
| DG1M | Dirigido | 1 000 000 | 9 135 031 | 2 030 |

El Cuadro 4.2 presenta los resultados obtenidos. El tiempo de ejecución más bajo es 11 milisegundos que corresponde a la generación de un grafo dirigido de 1 000 nodos. Por otro lado, el tiempo de ejecución más alto es 9 441 milisegundos que corresponden a la generación de un grafo no dirigido de un millón de nodos. Se aprecia empíricamente que toma más tiempo la generación de grafos no dirigidos.

La fórmula de la Ecuación 4.11 indica la cantidad estimada de aristas para los tamaños de los grafos generados. Las estimaciones son 4 990 aristas para mil nodos, 65 250 aristas para 10 mil nodos, 806 009 aristas para 100 mil y 9 595 150 para un millón de nodos. Al observar la cantidad de aristas generada en cada grafo del Cuadro 4.2, se aprecia que en ningún caso se alcanzó la cantidad estimada.

El Cuadro 4.3 presenta las probabilidades generadas para las aridades posibles en un grafo de 1 000 nodos generado por el Algoritmo 1 (Línea 7). De acuerdo a la fórmula de la Ecuación 4.2 la sumatoria de todas las probabilidades es 1. Al realizar la suma de la probabilidades del Cuadro 4.3 el resultado es 1.095 955 711 lo cual resulta ser mayor a 1. En el Algoritmo 2 se aborda este inconveniente. Este problema se replica para grafos de mayor tamaño. También cabe mencionar que la fórmula que calcula la probabilidad para cada aridad k que es $P(x = k) = Ck^{-\tau}$ no depende de la cantidad de nodos, así como también es el caso de la fórmula de la Ecuación 4.7 para el factor de normalización C . Esto quiere decir, que al mantener el valor de $\tau = 2$, independiente del tamaño del grafo, las probabilidades para cada aridad mantienen el mismo valor. Esto último, implica que las aridades más bajas siempre abarcan una gran porción del total de nodos que se dispone, puesto que tienen mayor preferencia. A su vez, esto disminuye el número de aristas generadas, por lo que no se alcanza la

Cuadro 4.3: Cuadro resumen de las probabilidades generadas para cada aridad posible en un grafo de 1 000 nodos.

| Aridad | Probabilidad |
|--------|---------------|
| 1 | 0.666 666 667 |
| 2 | 0.166 666 667 |
| 3 | 0.074 074 074 |
| 4 | 0.041 666 667 |
| 5 | 0.026 666 667 |
| 6 | 0.018 518 519 |
| ⋮ | ⋮ |
| 997 | 0.000 000 671 |
| 998 | 0.000 000 669 |
| 999 | 0.000 000 668 |

cantidad estimada. El Cuadro 4.3 completo se encuentra en el Anexo A.1.

4.2. Algoritmo 2

Este método de generación de grafos se basa en el cálculo de un arreglo de probabilidades acumuladas y un arreglo de frecuencias para cada aridad, de tal forma que a partir de estos se genera el arreglo de aridades que contiene la distribución de grados de los nodos. Este proceso se lleva a cabo mediante las funciones `GeneratePbb`, `GenerateDegrees` y `GenerateArrayPowerLaw`, que se presentan en los Algorithms 2, 3 y 4, respectivamente¹.

4.2.1. Generación de Probabilidades Acumuladas

A continuación, se describen los pasos y diseño del método para la generación del arreglo de probabilidades acumuladas que hace uso el Algoritmo 2. La idea de generar un arreglo de probabilidades acumuladas surge con el objetivo de resolver el problema del Algoritmo 1 (en donde la suma de las probabilidades en algunos casos puede ser mayor a 1.0).

El parámetro de entrada de la función `GeneratePbb` (ver pseudocódigo del Algorithm 2) es el número de nodos N . La salida es un arreglo PBB de longitud N ,

¹Por favor, note que Algorithm se refiere a un pseudocódigo en específico, por ejemplo el que aparece en la página 43.

tal que $PBB[i]$ contiene la probabilidad acumulada que corresponde a la aridez i , donde $0 \leq i < N$.

La función `GeneratePbb` comienza con la definición del valor de $sumaPBB$ y $pbAcumulada$, como también la inicialización del arreglo PBB . Se define la asignación de $PBB[0] = 0$ para no generar nodos con aridez 0 y debido a que la probabilidad para esta aridez indefinida la fórmula de la Ecuación 2.3 de la definición de la ley de potencia. Se asigna el valor de $sumaPBB = 0$ y $pbAcumulada = 0$.

En el paso de generar la probabilidad (Línea 7) para una aridez k (valor posible dado el volumen N del grafo) se utiliza la fórmula de la Ecuación 2.3 de la definición de la ley de potencia. En esta sección cabe mencionar que se utiliza la fórmula de la Ecuación 4.7 para la constante C y el valor de τ es por defecto 2, pero puede ser un parámetro de entrada ingresado al momento de ejecutar el programa. Tanto la constante C como τ son variables privadas de la clase en la que se han declarado las funciones. Una vez calculada la probabilidad para la aridez k , se asigna dicho valor en $PBB[k]$ (Línea 8) y este se suma a la variable $sumaPBB$ para obtener la suma de todas las probabilidades (Línea 9). Este proceso se realiza desde $k = 1$ hasta $N - 1$ (Línea 6). La representación gráfica de $PBB[]$ una vez finalizada la primera estructura `for`, se aprecia en el Cuadro 4.4 donde la probabilidad para $N - 1$ se aprecia como 0.00 debido a que es un valor decimal muy bajo. El valor de la variable $sumaPBB$ equivale a calcular $C \sum_{k=1}^{n-1} k^{-\tau}$.

Cuadro 4.4: Arreglo de probabilidades Algoritmo 2.

| | | | | | | | |
|---|-------|-------|-------|-------|-------|-----|-------|
| 0 | 0.667 | 0.167 | 0.074 | 0.042 | 0.027 | ... | 0.000 |
| 0 | 1 | 2 | 3 | 4 | 5 | ... | N-1 |

En el paso de ajustar la probabilidad (Línea 13) y calcular la probabilidad acumulada (Línea 14), primero se obtiene la probabilidad de la aridez i (Línea 12). Este valor se ajusta al dividirlo por la suma de probabilidades ($sumaPBB$), de tal forma que se obtiene la probabilidad ajustada para la aridez i . Con el valor ajustado, este se suma a la variable $pbAcumulada$, el cual a su vez se asigna al arreglo en $PBB[i]$ (Línea 15), lo que reemplaza la probabilidad de i por su probabilidad acumulada.

Los pasos entre la Línea 12 y 15 se repiten $N - 1$ veces desde la aridez $i = 1$ hasta $i = N - 1$. El arreglo de probabilidades acumuladas producido se retorna en la línea 17, el que contiene la probabilidad acumulada de cada aridez i . La representación gráfica del arreglo final se aprecia en el Cuadro 4.5. Se observa que la

Algorithm 2: GeneratePbb(int N)

Input: $N \leftarrow$ Número de nodos del grafo.

Output: Un arreglo PBB , tal que $PBB[i]$ contiene la probabilidad acumulada que corresponde a la aridad i .

```

1 begin
2   double sumaPBB  $\leftarrow$  0
3   double pbAcumulada  $\leftarrow$  0
4   double PBB[]  $\leftarrow$  new double[ $N$ ]
5   PBB[0]  $\leftarrow$  0
6   for long  $k \leftarrow$  1 to  $N - 1$  do
7     double pbb  $\leftarrow$   $C \cdot \text{Math.pow}(k, -\tau)$ 
8     PBB[ $k$ ]  $\leftarrow$  pbb
9     sumaPBB  $\leftarrow$  sumaPBB + pbb
10  end
11  for long  $i \leftarrow$  1 to  $N - 1$  do
12    double pb  $\leftarrow$  PBB[ $i$ ]
13    double pbAjustada  $\leftarrow$  pb/sumaPBB
14    pbAcumulada  $\leftarrow$  pbAcumulada + pbAjustada
15    PBB[ $i$ ]  $\leftarrow$  pbAcumulada
16  end
17  return PBB
18 end

```

probabilidad para la aridad $N - 1$ es uno, debido a que este último valor es la suma de todas las probabilidades ajustadas, lo que solventa el problema de que el total de las probabilidades sea mayor a 1 como ocurre en el primer algoritmo.

Cuadro 4.5: Arreglo de probabilidades acumuladas Algoritmo 2.

| | | | | | | | |
|---|-------|-------|-------|-------|-------|-----|-----|
| 0 | 0.608 | 0.760 | 0.828 | 0.866 | 0.890 | ... | 1 |
| 0 | 1 | 2 | 3 | 4 | 5 | ... | N-1 |

4.2.2. Generación de Arreglo de Frecuencias

A continuación, se describen los pasos y diseño del método para la generación del arreglo de frecuencia para cada aridad, el cual hace uso el Algoritmo 2.

Los parámetros de entrada de la función GenerateDegrees (que se ilustra en Algorithm 3) son el número de nodos N y un arreglo de probabilidades acumuladas $PBBA$, tal que $PBBA[i]$ contiene la probabilidad acumulada que corresponde a la

aridad i . La salida es un arreglo $FREC$ de longitud N , tal que $FREC[i]$ contiene la cantidad de nodos que corresponde a la aridad i , donde $0 \leq i < N$.

La función `GenerateDegrees` comienza con la inicialización del arreglo $FREC$. A cada posición del arreglo $FREC$ se le asigna el valor 0 (Línea 4). Esto es debido a que la frecuencia asociada a cada aridad se produce de forma aleatoria. Entonces para diferentes aridades con probabilidades acumuladas muy altas podrían no generarse nodos.

Algorithm 3: `GenerateDegrees(int N, double PBBA[])`

Input: $N \leftarrow$ Número de nodos del grafo. Un arreglo $PBBA$, tal que $PBBA[i]$ contiene la probabilidad acumulada que corresponde a la aridad i .

Output: Un arreglo $FREC$, tal que $FREC[i]$ contiene la cantidad de nodos que corresponde a la aridad i .

```

1 begin
2   long FREC[] ← new Long[N]
3   for long k ← 0 to N - 1 do
4     | FREC[k] ← 0
5   end
6   for long i ← 1 to N do
7     double r ← Math.random()
8     long j ← 1
9     while j < N do
10      double pbaA ← PBBA[j - 1]
11      double pbaB ← PBBA[j]
12      if pbaB > r ∧ r > pbaA then
13        | FREC[j] ← FREC[j] + 1
14        | j = N
15      end
16      j ← j + 1
17    end
18  end
19  return FREC
20 end

```

En el paso de obtener un número aleatorio (Línea 7), se genera un número entre 0 y 1 que se almacena en la variable r . En otras palabras, se genera una probabilidad de forma aleatoria. Dado que se tiene el arreglo de probabilidades acumuladas $PBBA$, se busca el rango de valores en el cual se encuentra r . Para esto se obtiene

la probabilidad $pbaA$ (Línea 10) y $pbaB$ (Línea 11), donde $pbaA < pbaB$. Con estas probabilidades acumuladas se verifica si $pbaB > r$ y $r > pbaA$ (Línea 12). En el caso verdadero, esto indica que r se encuentra en el rango de $PBBA[j]$ y $PBBA[j - 1]$, donde $1 \leq j < N$. Entonces, en el arreglo $FREC$ se aumenta en 1 la cantidad de nodos asociada a la aridez j (Línea 13) y finaliza la búsqueda del rango al que pertenece r . En el caso falso, se sigue aumentando el valor del índice j , que a su vez representa la aridez, hasta que se encuentre el rango de probabilidades acumuladas al que pertenece r .

El paso de obtener un número aleatorio (Línea 7) se realiza N veces mientras que los pasos entre las Línea 10 y 16 se realizan a lo más N veces, puesto que el rango de valores al que pertenece r puede encontrarse antes de llegar al final del arreglo de probabilidades acumuladas. El arreglo de frecuencias se retorna en la Línea 19, el cual contiene la cantidad de nodos correspondientes a cada aridez i ($FREC[i]$).

4.2.3. Generación del Arreglo de Aridades

A continuación, se describen los pasos y diseño del método para la generación del arreglo de aridades, el cual hace uso del Algoritmo 2.

El parámetro de entrada de la función `GenerateArrayPowerLaw` (que se muestra en Algorithm 4) es el número de nodos N . La salida es un arreglo D de longitud N , tal que $D[i]$ contiene el grado del nodo i , donde $0 \leq i < N$.

La función `GenerateArrayPowerLaw` comienza con la inicialización del arreglo de aridades D . Se define el arreglo $PBBA$ el cual recibe el arreglo de probabilidades acumuladas que retorna la función `GeneratePbb` (Línea 3). Se define el arreglo $freq$ el cual recibe el arreglo de frecuencias que retorna la función `GenerateDegrees` (Línea 4) en base a N y $PBBA$.

Como el arreglo $freq$ contiene la cantidad de nodos para cada aridez, en la Línea 7 se obtiene la cantidad de nodos de la aridez k (el valor se almacena en la variable *nodosPorAridad*). Se comprueba si la cantidad de nodos es mayor a 0 (Línea 8). En caso de ser verdadero, se asigna la aridez k al nodo h (Línea 11). Se está añadiendo la aridez k a un solo nodo en el arreglo de aridades. Por esto último, este paso se repite la cantidad de veces indicada por la cantidad de nodos con aridez k . Cabe mencionar que el arreglo de frecuencias se recorre desde $N - 1$ hasta 1. Esto les da prioridad a los nodos con mayor aridez para ser agregados al arreglo de aridades D .

Algorithm 4: GenerateArrayPowerLaw(int N)

Input: $N \leftarrow$ Número de nodos del grafo.**Output:** Un arreglo D , tal que $D[i]$ contiene el grado del nodo i .

```

1 begin
2   long  $D[] \leftarrow$  new long[ $N$ ]
3   double  $PBBA[] \leftarrow$  GeneratePbb( $N$ )
4   long  $frec[] \leftarrow$  GenerateDegrees( $N, PBBA$ )
5   long  $h \leftarrow 0$ 
6   for long  $k \leftarrow N - 1$  to 1 do
7     double  $nodosPorAridad \leftarrow frec[k]$ 
8     if  $nodosPorAridad > 0$  then
9       long  $cont \leftarrow 0$ 
10      while  $cont < nodosPorAridad$  do
11         $D[h] \leftarrow k$ 
12         $h \leftarrow h + 1$ 
13        if  $h \geq N$  then break;
14         $cont \leftarrow cont + 1$ 
15      end
16    end
17    if  $h \geq N$  then break;
18  end
19  return  $D$ 
20 end

```

Se debe tener en cuenta que si el índice h , que se utiliza para recorrer el arreglo de aridades D , llega a igualar a N (que es la cantidad de espacios disponibles en D) antes de que se termine de recorrer el arreglo de frecuencias $frec$, se da por terminado el proceso de producción del arreglo de aridades, por lo que se pierden frecuencias asociadas a aridades pequeñas.

El arreglo de aridades producido se retorna en la Línea 19, el que contiene el número de aristas de cada nodo i ordenadas de mayor a menor. De este modo, el nodo 0 tiene la mayor aridad, mientras que el nodo $N - 1$ contiene la menor aridad. La representación gráfica del arreglo que se retorna tal como se aprecia en el Cuadro 4.20. Este arreglo tiene datos de un grafo no dirigido de 1 000 nodos indexado del cero en adelante generado con el método descrito.

Cuadro 4.6: Arreglo de aridades Algoritmo 2.

| | | | | | | | | | | |
|-----|-----|-----|-----|----|----|----|----|----|-----|-----|
| 651 | 480 | 123 | 120 | 82 | 79 | 61 | 60 | 49 | ... | 1 |
| 0 | 1 | 2 | 3 | 4 | 5 | 6 | 7 | 8 | ... | 999 |

4.2.4. Experimentos Preliminares Algoritmo 2

En esta sección se evalúan los resultados que genera el Algoritmo 2, lo que permite analizar la eficiencia del método y características de los grafos producidos. Al igual que los experimentos preliminares del Algoritmo 1, el objetivo de estos es la búsqueda de fallas o falencias en el método de generación para su corrección o que den paso a crear nuevos algoritmos que resuelvan los problemas de este método.

Resultados

Cada experimento corresponde a una combinación de tamaño del grafo y tipo de aristas. Se registra el tiempo de ejecución y el número de aristas generada. En general, se generan ocho grafos, con un tamaño máximo de un millón de nodos.

Cuadro 4.7: Grafos generados en la evaluación preliminar del Algoritmo 2.

| GraphID | Tipo de Grafo | Número de Nodos | Número de Aristas | Tiempo (ms) |
|---------|---------------|-----------------|-------------------|-------------|
| UDG1K | No Dirigido | 1 000 | 4 491 | 27 |
| DG1K | Dirigido | 1 000 | 6 473 | 13 |
| UDG10k | No Dirigido | 10 000 | 59 592 | 115 |
| DG10k | Dirigido | 10 000 | 54 514 | 38 |
| UDG100k | No Dirigido | 100 000 | 744 043 | 441 |
| DG100k | Dirigido | 100 000 | 750 447 | 177 |
| UDG1M | No Dirigido | 1 000 000 | 9 112 037 | 3 095 |
| DG1M | Dirigido | 1 000 000 | 9 186 680 | 2 062 |

El Cuadro 4.7 presenta los resultados obtenidos. El tiempo de ejecución más bajo fue de 13 milisegundos que corresponde a la generación de un grafo dirigido de 1 000 nodos. Por otro lado, el tiempo, de ejecución más alto es de 3 095 milisegundos que corresponden a la generación de un grafo no dirigido de un millón de nodos. Se aprecia empíricamente que toma más tiempo la generación de grafos no dirigidos.

La fórmula de la Ecuación 4.11 indica la cantidad estimada de aristas para los tamaños de los grafos generados. De acuerdo a las estimación de arista para cada caso,

sólo el grafo dirigido de 1 000 nodos logra superar la cantidad de aristas estimada, mientras que en el resto de observaciones no alcanzan la cantidad esperada.

En el Cuadro 4.8 se muestra la cantidad de nodos con aridad 1 ($k = 1$) para cada grafo generado. Se aprecia que la cantidad de nodos con dicha aridad en cada grafo

Cuadro 4.8: Cantidad de nodos con aridad 1 para los diferentes grafos generados.

| GraphID | Tipo de Grafo | Número de Nodos | Nodos para $k=1$ |
|---------|---------------|-----------------|------------------|
| UDG1K | No Dirigido | 1 000 | 605 |
| DG1K | Dirigido | 1 000 | 603 |
| UDG10k | No Dirigido | 10 000 | 6 053 |
| DG10k | Dirigido | 10 000 | 6 038 |
| UDG100k | No Dirigido | 100 000 | 61 131 |
| DG100k | Dirigido | 100 000 | 60 750 |
| UDG1M | No Dirigido | 1 000 000 | 608 395 |
| DG1M | Dirigido | 1 000 000 | 607 932 |

cubre el 60% o más de los nodos. Es decir que en el arreglo de aridades, el 60% de los espacios disponibles son ocupados por el valor 1. Esto se debe a que si bien, las probabilidades se ajustan, la aridad 1 sigue teniendo una alta preferencia. Para ejemplificar mejor esto, en la Figura 4.1 se muestra la distribución de aridades del grafo no dirigido de 100 000 nodos que se genera en este experimento, donde se tiene el número de nodos por aridad en el eje y y la aridad en el eje x , ambos en escala logarítmica. Se aprecia que la aridad 1 es la aridad con el mayor número de nodos (608 395), como se espera de la alta preferencia que posee, mientras que el número de nodos disminuye a medida que aumenta la aridad. Esto es un comportamiento esperado teniendo en cuenta el valor de las probabilidades. El problema es que la alta preferencia de la aridad 1 impide alcanzar la aridad estimada. ¿Por qué?, pues ¿Que pasaría si el espacio que usa un 1 en el arreglo de aridades se reemplaza por una aridad mayor? Pues, claramente se perdería un nodo con aridad 1, pero se obtiene un nodo con una aridad más alta, lo que aumenta el número de aristas totales del grafo. Esto permite alcanzar la cantidad de aristas estimadas. ¿Entonces hay que modificar las probabilidades de las aridades? No, porque la probabilidad de cada aridad se calcula con la función de probabilidad de la ley de potencia y luego se ajusta. La preferencia que posee cada aridad es la establecida en el proceso de generación de probabilidades acumuladas.

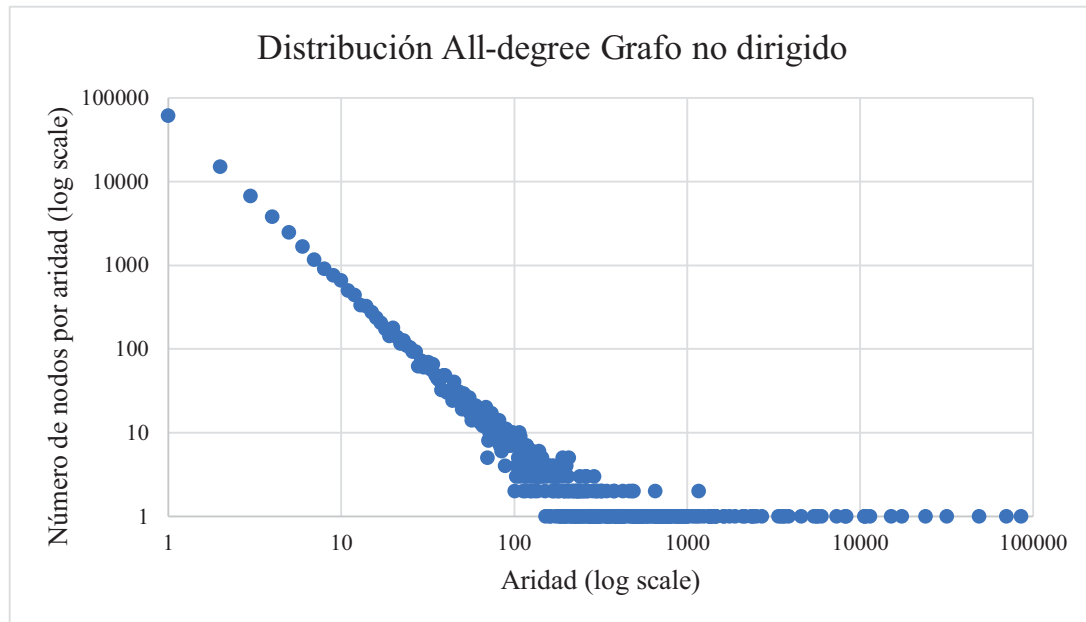


Figura 4.1: Distribución de la aridad en escala logarítmica de base 10 para un grafo de 100 000 nodos.

Entonces, si modificar las probabilidades no es factible en este caso, se analiza la distribución de los números aleatorios generados en Java con el fin de determinar su comportamiento y probar si se puede modificar para que estas probabilidades aleatorias prefieran aridades más altas.

4.3. Distribución de Números Aleatorios

En esta sección se analiza la distribución de los números aleatorios generados en Java haciendo uso del método `random()` de la clase `Math`. El objetivo es determinar como la distribución afecta a la preferencia de las aridades cuando se genera el arreglo de frecuencias en el algoritmo.

Para llevar a cabo el análisis se generaron 1 000 números aleatorios con la instrucción `r=Math.random()`, la cual genera un `double` positivo, mayor o igual a 0.0 y menor que 1.0 que se almacena en la variable `r`. Se registra cada ejecución como se muestra en el Cuadro 4.9.

Con estos datos se gráfica cada uno de los números en el gráfico de la Figura 4.2 (a) Generación de los Números. Se aprecia que los números aleatorios se distribuyen equitativamente en el rango de valores de 0.0 a 1.0. Al ordenar los valores de menor

Cuadro 4.9: Registro de los mil números aleatorios obtenidos con `Math.random()`.

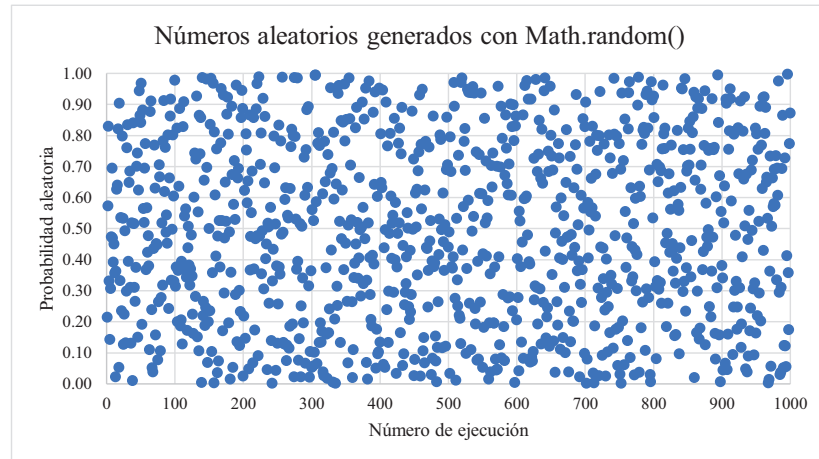
| N° de Ejecución | Número Aleatorio |
|-----------------|------------------|
| 1 | 0.214 773 678 |
| 2 | 0.573 036 830 |
| 3 | 0.830 334 805 |
| 4 | 0.331 650 373 |
| 5 | 0.143 276 368 |
| ⋮ | ⋮ |
| 999 | 0.773 940 181 |
| 1 000 | 0.871 829 258 |

a mayor, se obtiene el comportamiento de los datos como se aprecia en la Figura 4.2 (b) Distribución. Se aprecia que los números generados por `Math.random()` poseen una distribución uniforme.

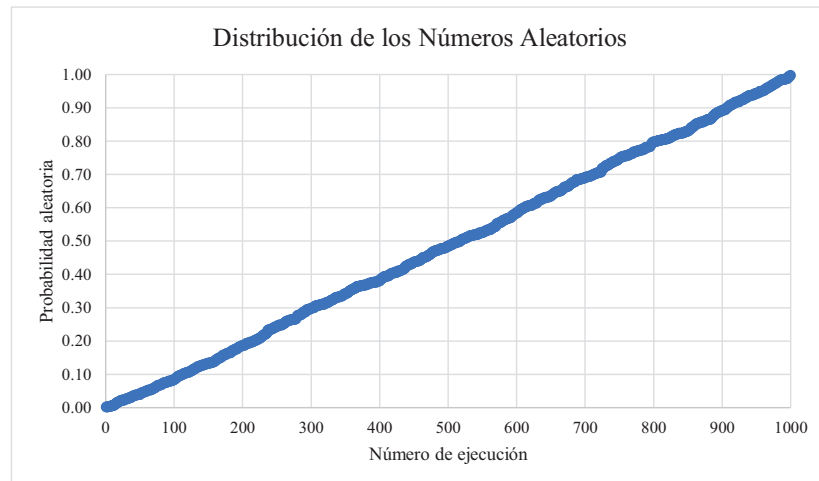
Ahora, de los mil números aleatorios, ¿cuántos pertenecen a cada aridad? En la Figura 4.3 los números generados están clasificados por la aridad a la que pertenecen. Como la probabilidad acumulada para la aridad uno ($k = 1$ en el gráfico) es 0.60 aproximadamente, todos los números aleatorios menores a este valor generan un nodo de aridad 1. Para $k = 2$, todos los números entre 0.60 y 0.76 generan nodos con aridad 2. En el caso de $k = 3$, los números entre 0.76 y 0.82 generan nodos con aridad 3. El resto de números representados con el color azul generan nodos para aridades mayores a 3 dependiendo del rango en el que se encuentre el valor.

En el gráfico (b) de la Figura 4.3 se aprecia que de las mil ejecuciones, más de la mitad corresponden a la aridad $k = 1$, las cuales son 621 para ser exactos. En el caso de las aridades $k = 2$ y $k = 3$, de la mil ejecuciones 143 y 79 les corresponden respectivamente, mientras que el resto se distribuye para aridades mayores a 3. Esto equivale a decir que se generan 621 nodos con aridad 1, 143 con aridad 2, 79 con aridad 3 y así sucesivamente. Es evidente que a medida que aumenta la aridad, la cantidad nodos generados disminuye con respecto a la aridad anterior. Esto se debe a que los rangos de las probabilidades se vuelven más estrechos con el aumento de la aridad y los números aleatorios se distribuyen uniformemente en el rango de 0.0 a 1.0. Esto explica la alta preferencia que posee la aridad 1, lo que a su vez dificulta alcanzar la cantidad de aristas esperada dada la cantidad de nodos y el valor de τ para un grafo.

Entonces, para modificar la preferencia de las aridades se modifica la distribución



(a) Generación de los números.



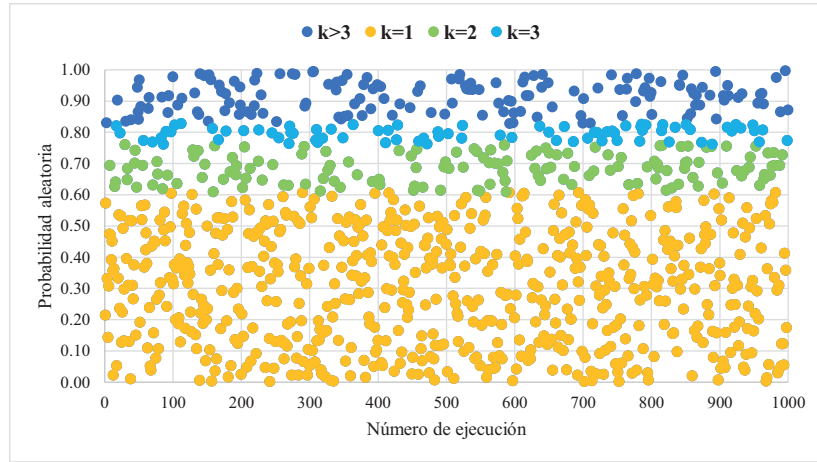
(b) Distribución.

Figura 4.2: Mil números aleatorios generados con Math.random().

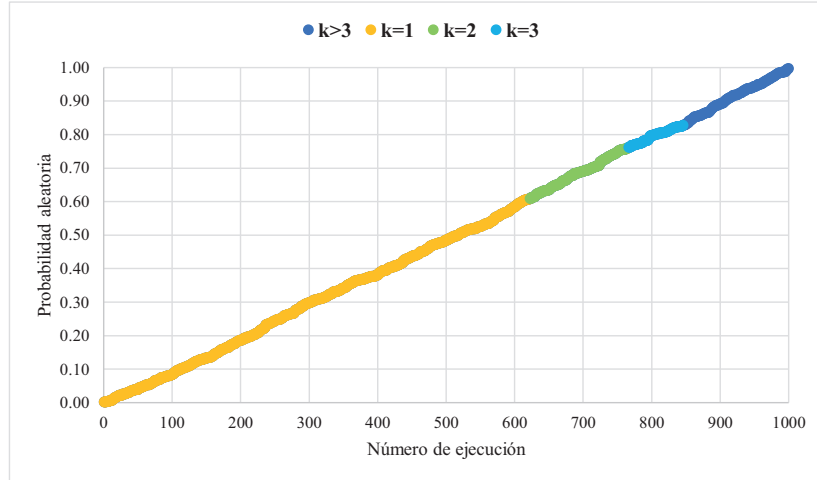
de los números aleatorios que se generan. Para esto, se utiliza la fórmula de la Ecuación 2.9, la cual genera números aleatorios con la distribución de la ley de potencia a partir de una distribución uniforme. Para utilizar la fórmula se definen los parámetros correspondientes a la ecuación.

$$k = \left[(k_1^{\tau+1} - k_0^{\tau+1}) y + k_0^{\tau+1} \right]^{\frac{1}{\tau+1}}$$

k_0 y k_1 actúan como límite inferior y superior respectivamente para generar números aleatorios con la distribución de la ley de potencia dentro un rango. τ es el exponente



(a) Generación de los números.



(b) Distribución.

Figura 4.3: Los mil números generados clasificados por aridad.

de la ley de potencia, mientras que y es una variable uniformemente distribuida entre 0.0 y 1.0. Entonces $k_0 = 0$ y $k_1 = 1$ para generar números dentro del rango de las probabilidades. $\tau = 2$ e $y = \text{Math.random}()$, ya que este método distribuye uniformemente dentro del rango de 0.0 a 1.0 como se ha comprobado. Entonces la Ecuación 2.9 que genera números aleatorios con la distribución de la ley de potencia se reescribe con los parámetros definidos como se muestra en la Ecuación 4.12.

$$k = \left[(1^{2+1} - 0^{2+1}) \cdot \text{Math.random}() + 0^{2+1} \right]^{\frac{1}{2+1}} \quad (4.12)$$

Al calcular las potencias de la Ecuación 4.12, la Ecuación se reescribe como se mues-

tra en la Ecuación 4.13.

$$k = \text{Math.random()}^{\frac{1}{3}} \tag{4.13}$$

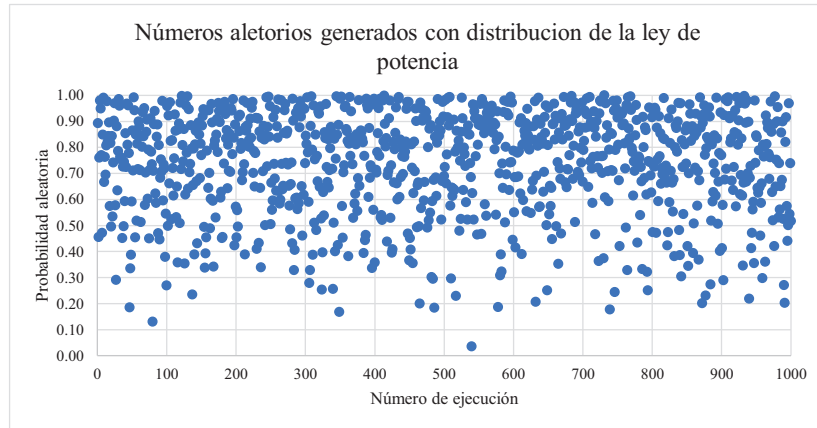
Para llevar a cabo el análisis de la distribución de los números aleatorios que genera la Ecuación 4.12, se generan 1 000 números aleatorios con la instrucción $r = \text{Math.random()}^{\frac{1}{3}}$. Se registra cada ejecución como se muestra en el Cuadro 4.10.

Cuadro 4.10: Registro de los mil números aleatorios obtenidos con distribución de la ley de potencia.

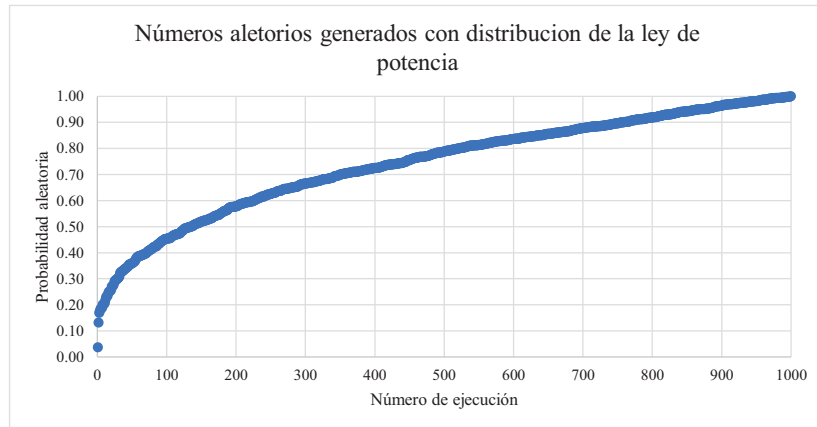
| N° Ejecución | Número Aleatorio |
|--------------|------------------|
| 1 | 0.892 377 99 |
| 2 | 0.455 242 02 |
| 3 | 0.759 804 11 |
| 4 | 0.979 544 33 |
| ⋮ | ⋮ |
| 999 | 0.739 325 46 |
| 1000 | 0.516 453 26 |

Con estos datos nuevamente se gráfica cada uno de los números en el gráfico de la Figura 4.4 (a) Generación de los Números. Se aprecia que los números aleatorios ya no se distribuyen uniformemente en el rango de 0.0 a 1.0, sino que se generan más números cercanos a 1.0, lo que aumenta la preferencia por generar nodos con aridades más altas. A su vez, se aprecia que disminuye la cantidad de números aleatorios generados en el rango de 0.0 a 0.60, por lo que disminuye la preferencia de generar nodos con aridad 1. Al ordenar los valores de menor a mayor, se obtiene el comportamiento de los datos como se aprecia en la Figura 4.4 (b) Distribución. Se observa que ahora los números generados poseen distribución de la ley de potencia.

En la Figura 4.5 los números generados están clasificados por la aridad a la que pertenecen. En el gráfico (b) de la Figura 4.5 se aprecia que de las mil ejecuciones, menos de la mitad generan números dentro del rango de la aridad $k = 1$. Para ser exactos, solo 233 ejecuciones pertenecen a la aridad 1. En el caso de las aridades $k = 2$ y $k = 3$, de la mil ejecuciones 221 y 125 les corresponden respectivamente, mientras que el resto se distribuye para aridades mayores a 3. Esto, al igual que en la distribución uniforme de los números aleatorios sin modificar, equivale a decir que se generan 233 nodos con aridad 1, 221 con aridad 2, 125 con aridad 3 y así



(a) Generación de los Números.



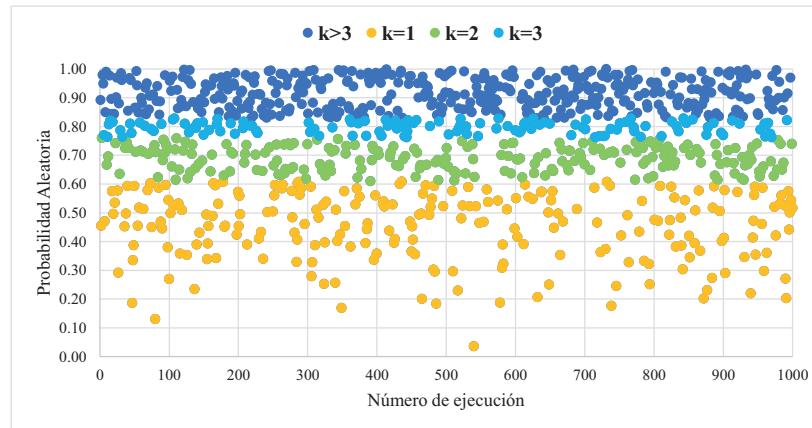
(b) Distribución.

Figura 4.4: Mil números aleatorios generados con distribución de ley de potencia.

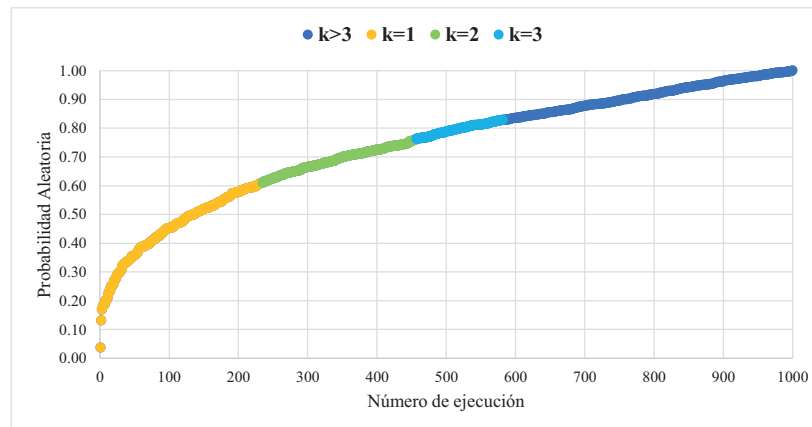
sucesivamente. Las cantidades han cambiado significativamente con la nueva distribución. De esta forma se corrige la alta preferencia que posee la aridad 1 y aumenta la preferencia por aridades más altas, lo que permite aumentar la cantidad de aristas que se generan en un grafo con el fin de alcanzar la cantidad estimada por la fórmula de la Ecuación 4.11.

4.4. Modelado de la Aridad Máxima

En esta sección se detalla el análisis y los experimentos que se llevan a cabo para determinar la aridad máxima asociada a un grafo G simple. Dada una cantidad de nodos N y un valor de τ específico, se busca obtener una función que determine la



(a) Generación de los Números.



(b) Distribución.

Figura 4.5: Mil números generados con la Ecuación 4.13 clasificados por aridez.

aridez máxima.

4.4.1. ¿Por qué Modelar una Función Para Obtener la Aridez máxima?

El modelado de una función que determine la aridez máxima de un grafo, surge de la necesidad de controlar la producción de arideces muy altas que se generan en los Algoritmos 1 y 2. Para analizar esto, se ha generado un grafo de 100 000 nodos con el Algoritmo 1, el Algoritmo 2 y R³MAT [4]. Al analizar la distribución de arideces del Algoritmo 1 (ver Figura 4.6) y del Algoritmo 2 (ver Figura 4.7), en comparación con R³MAT (ver Figura 4.8), se aprecia que se están generando nodos con arideces muy altas para un grafo de 100 000 nodos sintético, el cual se desea que posea una distribución de arideces que siga la ley de potencia. En el grafo generado

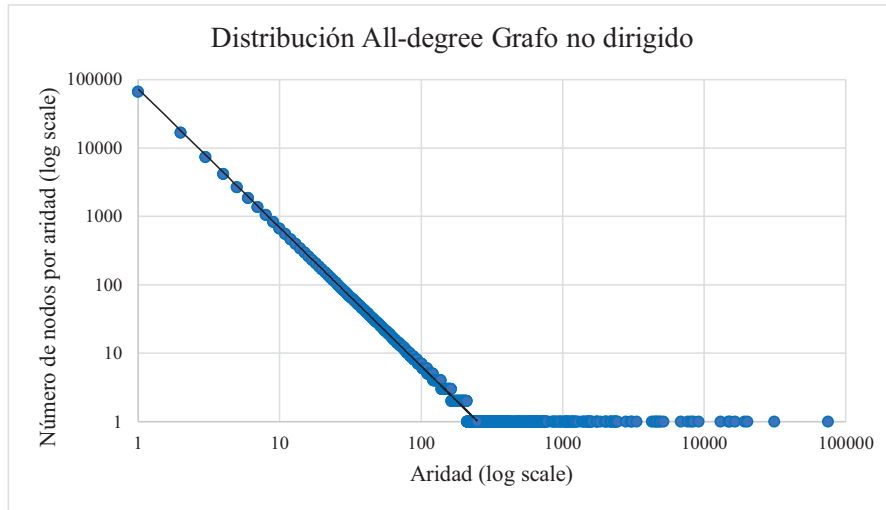


Figura 4.6: Distribución de la aridad de un grafo de 100 000 nodos Algoritmo 1.

por R^3 MAT, la aridad máxima que se alcanza es 5 277, mientras que en los Algoritmos 1 y 2, las aridades máximas son 75 349 y 85 134, respectivamente. Dado el tamaño

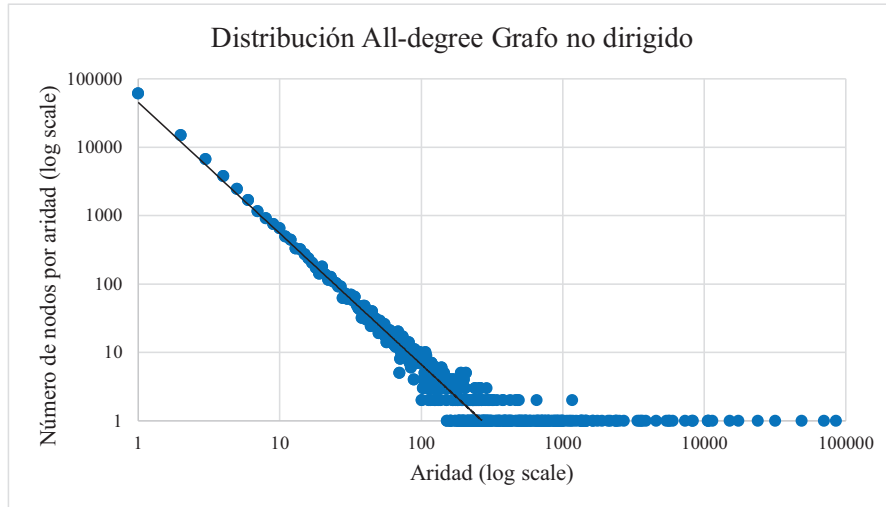


Figura 4.7: Distribución de la aridad de un grafo de 100 000 nodos Algoritmo 2.

del grafo, alcanzar esas aridades está permitido, pero la aridad máxima que se debe generar debe ser similar a la alcanzada por R^3 MAT, ya que está comprobado por la estadística de Kolmogorov-Smirnov que los grafos generados con este algoritmo poseen una buena distribución de la ley de potencia. Ahora, en los gráficos también se observa que se tiene una línea de tendencia que representa el comportamiento de

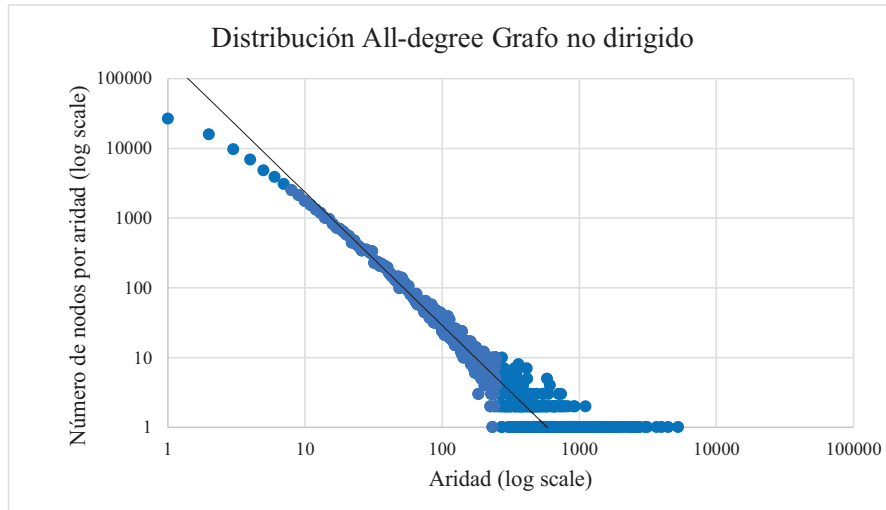


Figura 4.8: Distribución de la aridad de un grafo de 100 000 nodos R³MAT.

la ley de potencia en un gráfico donde se tiene la distribución de las aridades con sus ejes en escala logarítmica. Entonces, el crear un grafo que siga estrictamente la ley de potencia en su distribución, la aridad máxima a la que debe aspirar un grafo de 100 000 nodos tiene que estar en el rango de 100 a 1 000. Este comportamiento se replica para grafos de menor o mayor tamaño.

Entonces, debido a la generación de nodos con aridades muy altas dado el tamaño de un grafo, surge la necesidad de corregir este problema. Para esto se plantea modelar un función que determine la aridad máxima, con el objetivo de limitar la generación de aridades dada una cantidad de nodos N y un valor de τ .

4.4.2. Experimento para Modelar la Función de Aridad Máxima

En esta sección se describe el experimento realizado para determinar la función de aridad máxima. Se especifican los pasos y diferentes procesos que se llevan a cabo.

Modelar la función de aridad máxima se basa en la generación de múltiples grafos. Para la generación de estos, se utiliza el algoritmo R³MAT con el cual se consideran dos variables: tamaño del grafo y valor de τ . En términos de tamaño, se consideran grafos de 1 000, 10 000, 100 000, 1 000 000 y 10 000 000 de nodos. La variable τ considera valores desde 1.92 a 2.72 aumentando en 0.01, es decir que se generan grafos con τ igual a 1.92, 1.93, 1.94 y así hasta 2.72, lo que da un total de 81 valores diferentes para τ .

La generación de los grafos con R³MAT corresponde a la combinación específica del tamaño del grafo y los diferentes valores de τ . Cada combinación se ejecuta 10 veces, se registra la aridad máxima de cada grafo y se calcula el promedio de la aridad máxima por τ .

Cuadro 4.11: Aridades máximas registradas para un grafo de 1 000 nodos.

| τ | 1 | 2 | 3 | 4 | 5 | 6 | 7 | 8 | 9 | 10 | Promedio |
|--------|----------|----------|----------|----------|----------|----------|----------|----------|----------|-----------|-----------------|
| 1.92 | 529 | 488 | 539 | 554 | 528 | 562 | 524 | 516 | 525 | 522 | 528.7 |
| 1.93 | 538 | 528 | 514 | 545 | 516 | 502 | 501 | 515 | 510 | 477 | 514.6 |
| 1.94 | 486 | 527 | 545 | 511 | 490 | 510 | 515 | 526 | 466 | 529 | 510.5 |
| 1.95 | 509 | 470 | 479 | 513 | 477 | 486 | 472 | 518 | 535 | 479 | 493.8 |
| ⋮ | ⋮ | ⋮ | ⋮ | ⋮ | ⋮ | ⋮ | ⋮ | ⋮ | ⋮ | ⋮ | ⋮ |
| 2.71 | 111 | 104 | 108 | 121 | 122 | 107 | 129 | 137 | 114 | 110 | 116.3 |
| 2.72 | 119 | 126 | 106 | 120 | 101 | 122 | 133 | 129 | 107 | 138 | 120.1 |

Las tablas de los Cuadros 4.11 y 4.12 muestran un resumen de las aridades máximas registradas para grafos de 1 000 y 10 000 000 de nodos respectivamente. Se aprecia que se han generado 10 grafos por cada valor de τ de los cuales se extrae su aridad máxima y se obtiene el promedio correspondiente. Como se tienen 81 valores de τ diferentes y se realizan 10 ejecuciones para cada valor, se generan 810 grafos para un tamaño específico de nodos. Entonces, como se tienen cinco tamaños diferentes

Cuadro 4.12: Aridades máximas registradas para un grafo de 10 000 000 nodos.

| τ | 1 | 2 | 3 | ... | 8 | 9 | 10 | Promedio |
|--------|----------|----------|----------|-----|----------|----------|-----------|-----------------|
| 1.92 | 117 234 | 117 245 | 117 865 | ... | 116 711 | 117 157 | 117 033 | 117 205.2 |
| 1.93 | 107 546 | 107 145 | 107 429 | ... | 107 212 | 106 992 | 107 338 | 107 263.9 |
| 1.94 | 98 868 | 98 103 | 97 854 | ... | 98 410 | 98 724 | 97 885 | 98 329.2 |
| 1.95 | 89 933 | 90 426 | 90 379 | ... | 90 604 | 90 418 | 90 199 | 90 252.6 |
| ⋮ | ⋮ | ⋮ | ⋮ | ⋮ | ⋮ | ⋮ | ⋮ | ⋮ |
| 2.71 | 7 003 | 7 250 | 7 266 | ... | 7 215 | 7 213 | 7 065 | 7 172.7 |
| 2.72 | 7 188 | 7 155 | 7 221 | ... | 7 225 | 7 041 | 7 195 | 7 157.8 |

considerados para el experimento, todo el proceso conlleva a la generación 4 050 grafos totales de los cuales se extrae la aridad máxima. Las tablas con los valores de aridad máxima del resto de tamaños se encuentran en el Anexo A.2.1.

Con las columnas que contienen el promedio de la aridad máxima por valor de τ , se genera una tabla general que contiene todos estos valores reunidos y categorizados

por el tamaño del grafo como se muestra en la tabla del Cuadro 4.13 como resumen de los registros. La tabla completa con los datos se encuentra en el Anexo A.11. Con

Cuadro 4.13: Aridad máxima promedio dada una cantidad de nodos y un valor de τ para un grafo.

| τ | 1 000 | 10 000 | 100 000 | 1 000 000 | 10 000 000 |
|--------|-------|---------|---------|-----------|------------|
| 1.92 | 528.7 | 1 719.5 | 8 208.5 | 38 459.6 | 117 205.2 |
| 1.93 | 514.6 | 1 651.5 | 7 794.7 | 35 776.0 | 107 262.9 |
| 1.94 | 510.5 | 1 577.5 | 7 286.9 | 33 265.2 | 98 329.2 |
| 1.95 | 493.8 | 1 496.0 | 6 918.1 | 30 896.9 | 90 251.6 |
| ⋮ | ⋮ | ⋮ | ⋮ | ⋮ | ⋮ |
| 2.71 | 116.3 | 268.0 | 876.5 | 3 087.3 | 7 171.7 |
| 2.72 | 120.1 | 261.2 | 872.6 | 3 042.1 | 7 156.8 |

los datos tabulados en esta tabla, se modela el comportamiento de la aridad máxima para cada valor específico de τ . Para esto, se genera un gráfico de dispersión como se ve en la Figura 4.9, donde se toma como variable independiente el tamaño del grafo y la aridad máxima correspondiente como variable dependiente. Los ejes del gráfico han sido modificados a una escala logarítmica para poder visualizar los datos como si tuvieran un comportamiento lineal, pero realmente no es así. En el gráfico se aprecia que se tiene una serie de datos para $\tau=1.92$ (puntos azules) y $\tau=2.72$ (puntos verdes) a los cuales se le ajusta una línea de tendencia potencial con un valor de $R^2=0.9965$ y $R^2=0.9938$ respectivamente. De esta forma se obtiene una función potencial y para cada valor de τ , que dada una cantidad de nodos x es capaz de determinar un valor de la aridad máxima para la estructura. El problema es que, si bien no se muestra en el gráfico de la Figura 4.9, se tienen 81 funciones, una por cada τ y cada una determina la aridad máxima sólo para dicho valor de τ .

Ahora, al analizar las funciones obtenidas, se aprecia que todas tienen dos componentes. La constante de proporcionalidad y el exponente de potencia. Tomando como ejemplo la función y de $\tau=1.92$, la constante de proporcionalidad es 7.6706 y el exponente de potencia es 0.6041. Como estos valores se generan para un valor de τ , se plantea modelar una función que determine la constante de proporcionalidad y el exponente de potencia tomando como variable independiente a τ . Para esto, se lleva a cabo un registro de los valores de la constante de proporcionalidad y el exponente de potencia como se muestra en el Cuadro 4.14. Para visualizar la tabla completa el lector se debe dirigir al Anexo A.2.3.

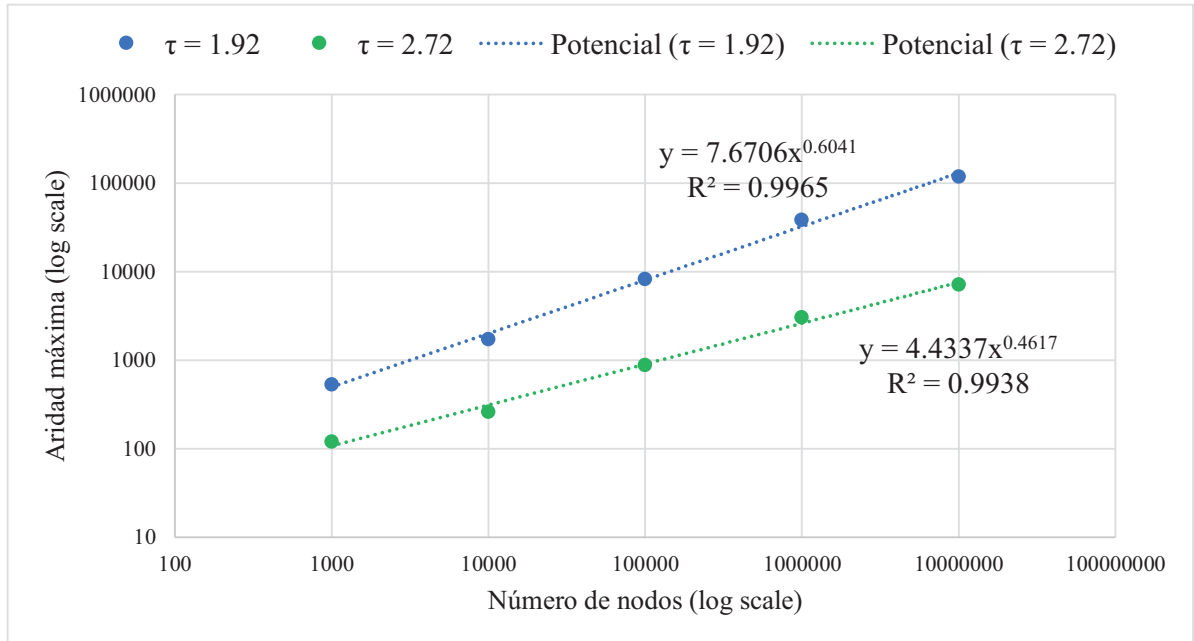


Figura 4.9: Gráfico de dispersión para la aridad máxima versus la cantidad de nodos.

Cuadro 4.14: Constante de proporcionalidad y exponente de potencia por cada valor de τ .

| τ | Constante de proporcionalidad | Exponente de la potencia |
|--------|-------------------------------|--------------------------|
| 1.92 | 7.6706 | 0.6041 |
| 1.93 | 7.8379 | 0.5974 |
| 1.94 | 8.1272 | 0.5893 |
| 1.95 | 8.154 | 0.5839 |
| 1.96 | 8.0931 | 0.5794 |
| ⋮ | ⋮ | ⋮ |
| 2.70 | 4.3891 | 0.4639 |
| 2.71 | 4.3208 | 0.4642 |
| 2.72 | 4.4337 | 0.4617 |

Con los datos registrados, para analizar el comportamiento que posee cada componente se genera un gráfico de dispersión para la constante de proporcionalidad y para el exponente de la potencia como se observa en la Figura 4.10 y en la Figura 4.11, respectivamente. Ahora, de esta forma se visualiza la distribución de los datos con el fin de poder entender el comportamiento y ajustar una función que se adecue a los valores.

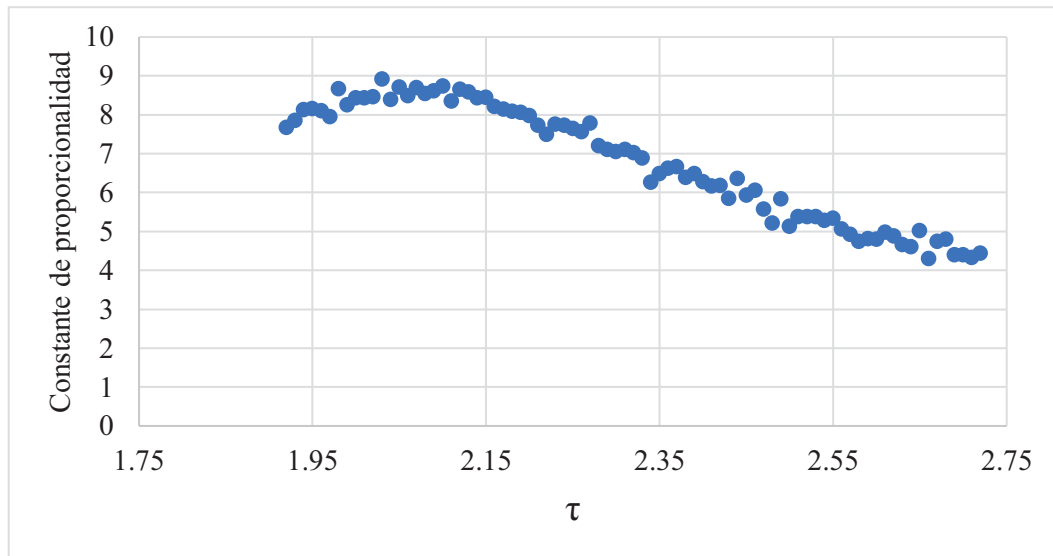


Figura 4.10: Gráfico de dispersión para la constante de proporcionalidad versus τ .

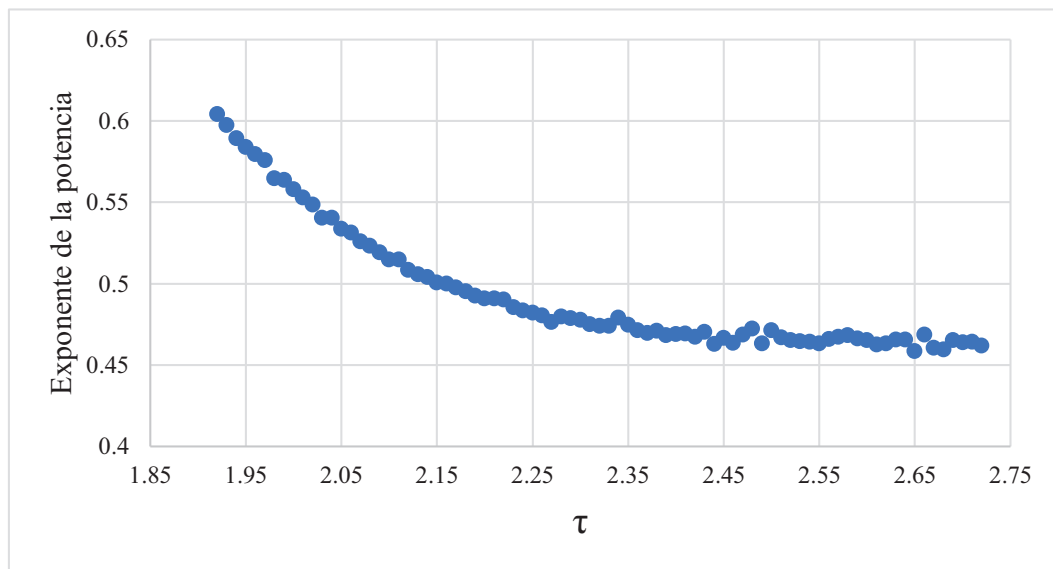


Figura 4.11: Gráfico de dispersión para el exponente de la potencia versus τ .

Se aprecia en el gráfico de la Figura 4.10 que la constante de proporcionalidad es creciente desde $\tau = 1.92$ hasta $\tau = 2.03$ aproximadamente, donde luego empieza a decrecer con el aumento de τ . En el gráfico de la Figura 4.11, se observa que el exponente de la potencia tiene un comportamiento exponencial decreciente y que converger a 0.45 aproximadamente. En el gráfico de la Figura 4.9 se ajusta la función

potencial a los datos por medio de la herramienta de líneas de tendencia que proporciona Microsoft Excel. En el caso de la constante de proporcionalidad y el exponente de potencia, esta herramienta no es capaz de ajustar una línea de tendencia con un valor de R^2 aceptable.

4.4.3. Función que Determina la Constante de Proporcionalidad

Para ajustar una función que modela la constante de proporcionalidad a partir τ , se realizó un ajuste manualmente probando diferentes funciones con un comportamiento similar a los datos, hasta encontrar una función con un valor de R^2 aceptable. Al ver la distribución de los datos en el gráfico de la Figura 4.10, se aprecia que se tiene una curva sesgada a la izquierda. Ahora, ¿Qué función tiene un comportamiento similar? Si se tiene una función exponencial, cuyo exponente es negativo de la forma $\ln^2(x)$ se obtiene la gráfica que se observa en la Figura 4.12. La función describe un comportamiento similar a la distribución de los datos. Entonces se toma como base para llegar a la verdadera función que se busca.

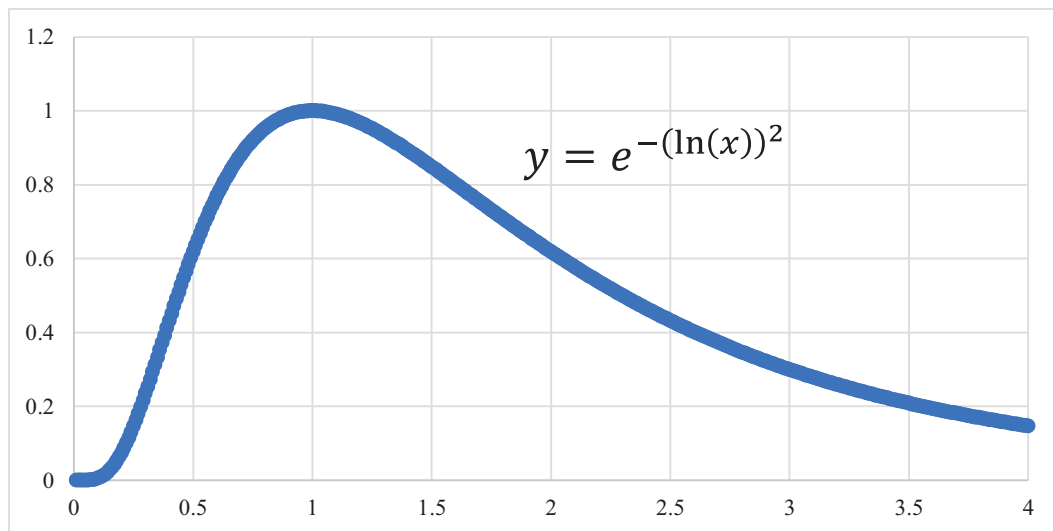


Figura 4.12: Gráfico de una función exponencial cuyo exponente negativo es un logaritmo natural al cuadrado.

De esta forma, a $y = e^{-\ln^2(x)}$ se le agregan diferentes parámetros para que se ajuste a los valores que se tiene de la constante de proporcionalidad hasta que se llega a la función que se aprecia en el gráfico de la Figura 4.13. A la función y resultante, se le calcula el valor de R^2 y se obtiene que esta se ajusta a los datos con un valor

de $R^2=0.975\ 838\ 47$, que resulta ser bastante bueno. Entonces se define a la fórmula

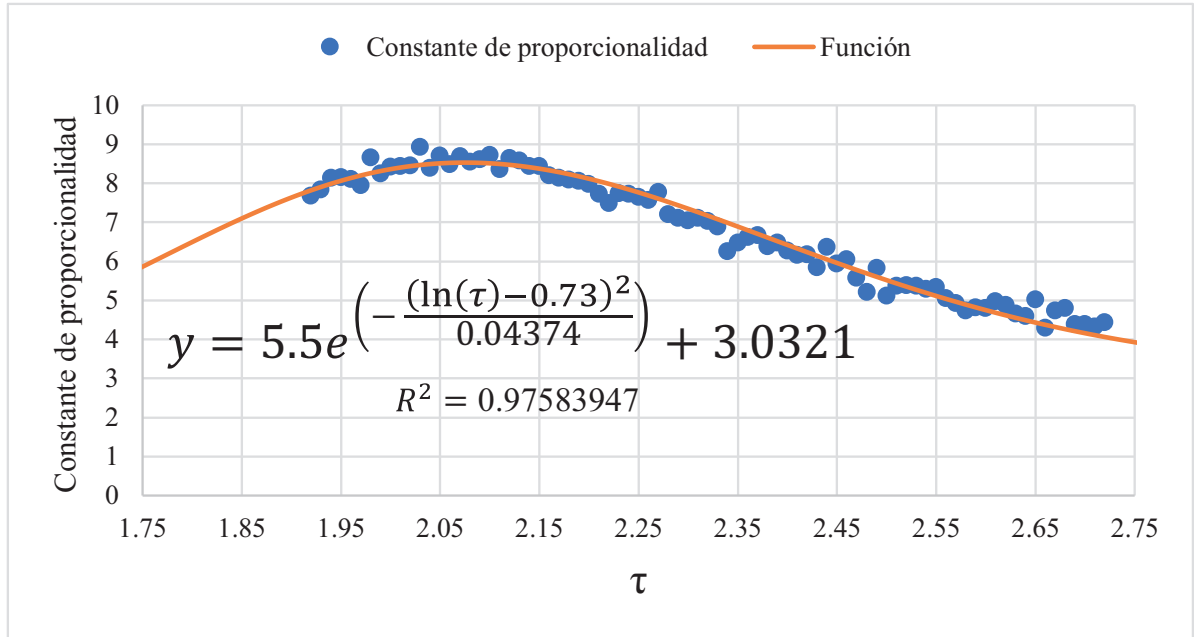


Figura 4.13: Gráfico de dispersión para la constante de proporcionalidad versus τ .

de la Ecuación 4.14 como la función que modela la constante de proporcionalidad teniendo a τ como variable independiente.

$$Constante(\tau) = 5.5e^{\left(-\frac{(\ln(\tau)-0.73)^2}{0.04374}\right)} + 3.0321 \quad (4.14)$$

4.4.4. Función que Determina el Exponente de Potencia

Para ajustar una función que modela el exponente de potencia a partir de τ , se realiza un ajuste manualmente, tal como se realiza para la constante de proporcionalidad. De esta forma se ajusta una función hasta obtener un valor de R^2 aceptable. Al ver la distribución de los datos en el gráfico de la Figura 4.11, se aprecia que una función exponencial con exponente negativa posee el mismo comportamiento como se aprecie en la Figura 4.14.

Entonces, $y = e^{-x}$ se toma como base para modelar la función para el exponente de la potencia. De esta forma, la función se le agregan diferentes parámetros, los cuales son alterados constantemente con diferentes valores hasta que se logra un ajuste a los datos con un valor de R^2 aceptable. Así, se llega a la función que se

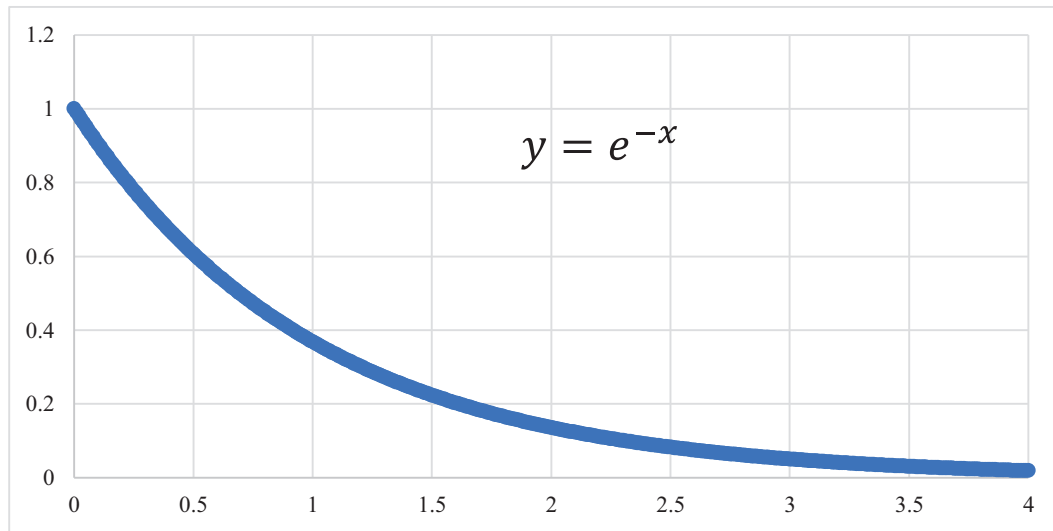


Figura 4.14: Gráfico de una función exponencial con exponente negativo.

aprecia en el gráfico de la Figura 4.15. A la función y resultante, se le calcula el valor de R^2 y se obtiene que el ajuste tiene un valor de $R^2=0.99456537$, que también resulta ser bastante bueno.

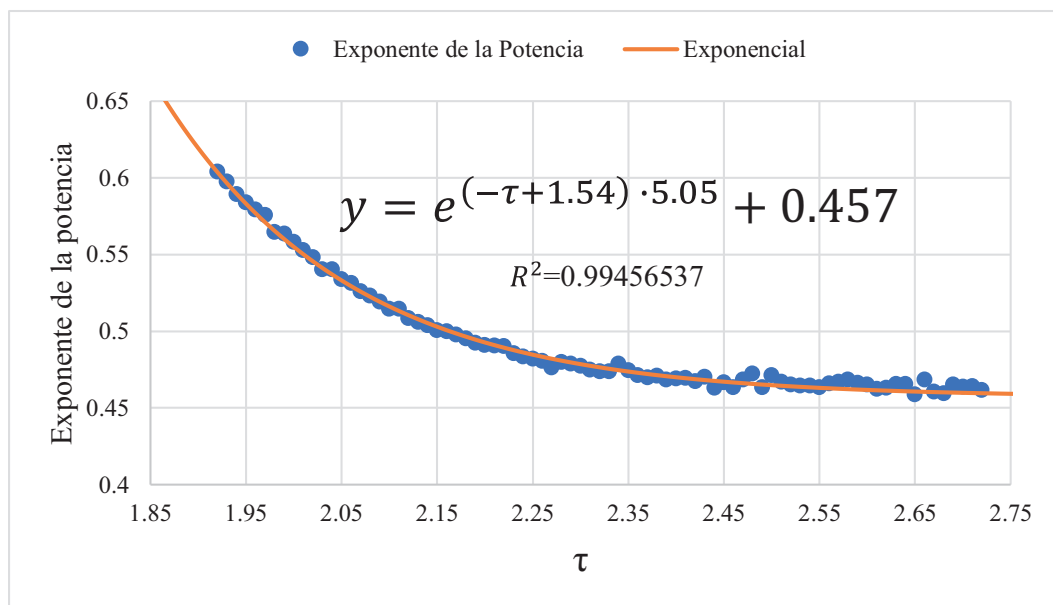


Figura 4.15: Gráfico de dispersión para el exponente de la potencia versus τ .

Entonces, se define la fórmula de la Ecuación 4.15 como la función que modela

el exponente de la potencia teniendo τ como variable independiente.

$$Exponente(\tau) = e^{(-\tau+1.54) \cdot 5.05} + 0.457 \quad (4.15)$$

4.4.5. Función que Determina la Aridad Máxima

Dado que se ha modelado una función para la constante de proporcionalidad y otra para el exponente de la potencia, ahora se puede definir una función global que determine la aridad máxima de un grafo, dada la cantidad de nodos N que éste posee y un valor de τ . Entonces, usando las fórmulas de las Ecuaciones 4.14 y 4.15 se define la fórmula de la Ecuación 4.16 que modela la aridad máxima, donde la cantidad de nodos N y un valor de τ específico son las variables independientes.

$$AridadMaxima(N, \tau) = Constante(\tau) \cdot N^{Exponente(\tau)} \quad (4.16)$$

Ahora, para comprobar los resultados que genera la fórmula de la aridad máxima, se lleva a cabo una simulación en Microsoft Excel, en la cual se consideran diferentes tamaños de grafos y diferentes valores de τ . En términos de tamaños de grafos, se considera $N = \{1\,000, 10\,000, 100\,000, 1\,000\,000, 10\,000\,000\}$. Para la variable τ se consideran valores desde 1.92 a 2.72. Básicamente los mismos valores que se usan en el experimento para modelar la aridad máxima.

Entonces, al ejecutar la simulación con los parámetros establecidos, se genera una tabla con las aridades máximas que calcula la función. Un resumen de esta tabla se aprecia en el Cuadro 4.15. Para tener una visualización completa de la tabla, esta se encuentra en el Anexo A.2.4.

Cuadro 4.15: Aridades máximas obtenidas de la fórmula de la Ecuación 4.16.

| τ | 1 000 | 10 000 | 100 000 | 1 000 000 | 10 000 000 |
|--------|--------|----------|----------|-----------|------------|
| 1.92 | 506.59 | 2 034.29 | 8 168.95 | 32 803.47 | 131 726.59 |
| 1.93 | 487.23 | 1 924.26 | 7 599.60 | 30 013.54 | 118 534.22 |
| 1.94 | 469.42 | 1 824.81 | 7 093.69 | 27 575.77 | 107 197.13 |
| 1.95 | 452.98 | 1 734.60 | 6 642.36 | 25 435.76 | 97 401.91 |
| ⋮ | ⋮ | ⋮ | ⋮ | ⋮ | ⋮ |
| 2.71 | 98.41 | 283.64 | 817.49 | 2 356.13 | 6 790.71 |
| 2.72 | 97.18 | 280.00 | 806.75 | 2 324.47 | 6 697.40 |

Como los datos de la tabla fueron generados con los mismos parámetros del experimento inicial para modelar la aridad máxima, la tabla del Cuadro 4.15 es

equivalente a la tabla del Cuadro 4.13 que posee las aridades máximas promedio que se obtienen de los valores empíricos. Ahora, se comparan los valores de ambas tablas, ya que son correspondientes los valores de cada celda de una tabla con la otra. Así, se calcula la diferencia que hay entre los datos generados por la fórmula menos los datos obtenidos en el experimento. Esto se registra en la tabla del Cuadro 4.16. La tabla completa se encuentra en el Anexo A.2.5. En la tabla se aprecia

Cuadro 4.16: Diferencia entre la aridad registrada en el Cuadro 4.15 y el Cuadro 4.13.

| τ | 1 000 | 10 000 | 100 000 | 1 000 000 | 10 000 000 |
|--------|--------|--------|---------|-----------|------------|
| 1.92 | -22.11 | 314.79 | -39.55 | -5 656.13 | 14 521.39 |
| 1.93 | -27.37 | 272.76 | -195.10 | -5 762.46 | 11 271.32 |
| 1.94 | -41.08 | 247.31 | -193.21 | -5 689.43 | 8 867.93 |
| 1.95 | -40.82 | 238.60 | -275.74 | -5 461.14 | 7 150.31 |
| ⋮ | ⋮ | ⋮ | ⋮ | ⋮ | ⋮ |
| 2.71 | -17.89 | 15.64 | -59.01 | -731.17 | -380.99 |
| 2.72 | -22.92 | 18.80 | -65.85 | -717.63 | -459.40 |

que hay diferencias positivas y negativas. Las diferencias positivas indican que la aridad máxima calculada por la fórmula de la Ecuación 4.16 supera a la aridad promedio registrada en el Cuadro 4.13. Entonces, las diferencias negativas indican que la aridad máxima calculada por la fórmula no alcanza la aridad promedio. Como la cantidades de cada columna varían bastante por los tamaños de los grafos, se transforman a porcentajes para analizar mejor los datos. En el Cuadro 4.17 se tiene

Cuadro 4.17: Diferencia entre la aridad registrada en el Cuadro 4.15 y el Cuadro 4.13 en porcentaje.

| τ | 1 000 | 10 000 | 100 000 | 1 000 000 | 10 000 000 |
|--------|---------|--------|---------|-----------|------------|
| 1.92 | -4.2 % | 18.3 % | -0.5 % | -14.7 % | 12.4 % |
| 1.93 | -5.3 % | 16.5 % | -2.5 % | -16.1 % | 10.5 % |
| 1.94 | -8.0 % | 15.7 % | -2.7 % | -17.1 % | 9.0 % |
| 1.95 | -8.3 % | 15.9 % | -4.0 % | -17.7 % | 7.9 % |
| ⋮ | ⋮ | ⋮ | ⋮ | ⋮ | ⋮ |
| 2.69 | -15.3 % | 7.0 % | -6.4 % | -23.9 % | -5.3 % |
| 2.70 | -17.1 % | 9.2 % | -8.0 % | -22.9 % | -5.8 % |
| 2.71 | -15.4 % | 5.8 % | -6.7 % | -23.7 % | -5.3 % |
| 2.72 | -19.1 % | 7.2 % | -7.5 % | -23.6 % | -6.4 % |

a modo de resumen la diferencia entre las aridades en porcentaje. El Cuadro con todos los porcentajes se encuentra en el Anexo A.2.6. Cabe destacar que lo ideal es que los porcentajes sean 0 % o lo más cercano a este valor, ya que esto indica que la fórmula no genera aridades muy altas o bajas con respecto a las que se obtiene en el experimento para modelar la aridad máxima, que son los datos a los que se ajusta la función. El porcentaje más bajo que se registra es de aproximadamente -24 % en grafos de 1 000 000 de nodos, mientras que el porcentaje más alto es 26 % en grafos de 10 000 nodos. Con esto, se decide dar prioridad a los casos en que se genera una aridad por debajo de lo esperado. Se establece que cada valor que genera la fórmula de la Ecuación 4.16 se multiplica por 1.24 para cubrir la diferencia. Esto, con el fin de los grafos generados posean la cantidad de aristas que se esperan para cada caso.

4.5. Algoritmo 3

Este método de generación de grafos, al igual que el Algoritmo 2 se basa en el cálculo de un arreglo de probabilidades acumuladas y un arreglo de frecuencias para cada aridad, de tal forma que a partir de estas estructuras se genera el arreglo de aridades que contiene la distribución de grados de los nodos. La diferencia es que este método implementa la fórmula de la Ecuación 2.9 para la generación de números aleatorios con distribución de la ley de potencia y la fórmula de la Ecuación 4.16 que genera la aridad máxima para un grafo dada la cantidad de nodos N y un valor de τ . Este método lleva a cabo el proceso de generación mediante las funciones `GeneratePbb`, `GenerateDegrees` y `GenerateArrayPowerLaw`, que se presentan en los Algorithms 5, 6 y 7, respectivamente.

4.5.1. Generación de Probabilidades Acumuladas

A continuación, se describen los pasos y diseño del método para la generación del arreglo de probabilidades acumuladas que hace uso el Algoritmo 3.

El parámetro de entrada de la función `GeneratePbb` es el número de nodos N y la aridad máxima $LIMIT$ calculada con la formula de la Ecuación 4.16. La salida es un arreglo PBB de longitud $LIMIT$, tal que $PBB[i]$ contiene la probabilidad acumulada que corresponde a la aridad i , donde $0 \leq i < LIMIT$.

La función `GeneratePbb`, al igual que en el Algoritmo 2, comienza con la definición del valor de $sumaPBB$ y $pbAcumulada$, como también la inicialización del arreglo

PBB . Se define la asignación de $PBB[0] = 0$ para no generar nodos con aridad 0 y debido a que la probabilidad para esta aridad indefine la fórmula de la Ecuación 2.3 de la definición de la ley de potencia. Se asigna el valor de $sumaPBB = 0$ y $pbAcumulada = 0$.

Algorithm 5: GeneratePbb(int N , int $LIMIT$)

Input: $N \leftarrow$ Número de nodos del grafo. $LIMIT \leftarrow$ Aridad máxima que establece el tamaño del arreglo de probabilidades acumuladas.

Output: Un arreglo PBB , tal que $PBB[i]$ contiene la probabilidad acumulada que corresponde a la aridad i .

```

1 begin
2   double sumaPBB ← 0
3   double pbAcumulada ← 0
4   double PBB[] ← new double[LIMIT]
5   PBB[0] ← 0
6   for long k ← 1 to N - 1 do
7     double pbb ← C · Math.pow(k, -τ)
8     if k < LIMIT then
9       | PBB[k] ← pbb
10    end
11    sumaPBB ← sumaPBB + pbb
12  end
13  for long i ← 1 to LIMIT - 1 do
14    double pb ← PBB[i]
15    double pbAjustada ← pb/sumaPBB
16    pbAcumulada ← pbAcumulada + pbAjustada
17    PBB[i] ← pbAcumulada
18  end
19  return PBB
20 end

```

En el paso de generar la probabilidad (Línea 7) para una aridad k (valor posible dado el volumen N del grafo) se utiliza la fórmula de la Ecuación 2.3 de la definición de la ley de potencia. En esta sección cabe mencionar que se utiliza la fórmula de la Ecuación 4.7 para la constante C y el valor de τ es por defecto 2, pero puede ser un parámetro de entrada ingresado al momento de ejecutar el programa. Tanto la constante C como τ son variables privadas de la clase en la que se han declarado las funciones. Una vez calculada la probabilidad para la aridad k , se verifica que k sea menor a la aridad máxima $LIMIT$ (Línea 8), ya que no se generan nodos con

aridad superior la indicada por este valor. Así se asigna el valor de la probabilidad en $PBB[k]$ (Línea 9) y este se suma a la variable $sumaPBB$ para obtener la suma de todas las probabilidades (Línea 11). El valor de $sumaPBB$ si considera todos los valores de k , ya que con este se ajustan las probabilidades (Línea 15). El proceso del calculo de probabilidades se realiza desde $k = 1$ hasta $N - 1$ (Línea 6 a la 12). La representación gráfica de $PBB[]$ una vez finalizada la primera estructura *for*, se aprecia en el Cuadro 4.18 donde la probabilidad para $LIMIT$ se aprecia como 0.000 debido a que es un valor decimal muy bajo. Estas probabilidades se obtienen de la generación de un grafo no dirigido de 1 000 nodos. El valor de la variable $sumaPBB$ equivale a calcular $C \sum_{k=1}^{n-1} k^{-\tau}$.

Cuadro 4.18: Arreglo de probabilidades Algoritmo 3.

| | | | | | | | |
|---|-------|-------|-------|-------|-------|-----|---------|
| 0 | 0.667 | 0.167 | 0.074 | 0.042 | 0.027 | ... | 0.000 |
| 0 | 1 | 2 | 3 | 4 | 5 | ... | LIMIT-1 |

En el paso de ajustar la probabilidad (Línea 15) y calcular la probabilidad acumulada (Línea 16), primero se obtiene la probabilidad de la aridad i (Línea 14). Este valor se ajusta al dividirlo por la suma de probabilidades ($sumaPBB$), de tal forma que se obtiene la probabilidad ajustadas para la aridad i . Con el valor ajustado, este se suma a la variable $pbAcumulada$, el cual a su vez se asigna al arreglo en $PBB[i]$ (Línea 17), lo que reemplaza la probabilidad de i por su probabilidad acumulada.

Los pasos entre la Línea 14 y 17 se repiten $LIMIT-1$ veces desde la aridad $i = 1$ hasta $i = LIMIT-1$. El arreglo de probabilidades acumuladas producido se retorna en la Línea 17, el que contiene la probabilidad acumulada de cada aridad i . La representación gráfica del arreglo final se aprecia en el Cuadro 4.19. Los valores del arreglo se obtienen de la generación de un grafo no dirigido de 1 000 nodos.

Cuadro 4.19: Arreglo de probabilidades acumuladas Algoritmo 3.

| | | | | | | | |
|---|-------|-------|-------|-------|-------|-----|---------|
| 0 | 0.608 | 0.760 | 0.828 | 0.866 | 0.890 | ... | 0.999 |
| 0 | 1 | 2 | 3 | 4 | 5 | ... | LIMIT-1 |

4.5.2. Generación del Arreglo de Frecuencias

A continuación, se describen los pasos y diseño del método para la generación del arreglo de frecuencia para cada aridad, del cual hace uso el Algoritmo 3.

Los parámetros de entrada de la función `GenerateDegrees` son el número de nodos N , la aridez máxima $LIMIT$ y un arreglo de probabilidades acumuladas $PBBA$, tal que $PBBA[i]$ contiene la probabilidad acumulada que corresponde a la aridez i . La salida es un arreglo $FREC$ de longitud $LIMIT$, tal que $FREC[i]$ contiene la cantidad de nodos que corresponde a la aridez i , donde $0 \leq i < LIMIT$.

La función `GenerateDegrees` comienza con la inicialización del arreglo $FREC$ y la definición del valor de x_0 al que se le asigna 0 y x_1 al que se le asigna la probabilidad acumulada de la aridez máxima. Estas dos variables son el límite inferior y superior de la fórmula de la Ecuación 2.9 para generar números aleatorios con distribución de la ley de potencia, por lo que se les asigna el rango de probabilidades contenida en $PBBA$. A cada posición del arreglo $FREC$ se le asigna el valor 0 (Línea 6). Esto es debido a que la frecuencia asociada a cada aridez se produce de forma aleatoria. Entonces para diferentes arideces con probabilidades acumuladas muy altas podrían no generarse nodos.

En el paso de obtener un número aleatorio a partir de la fórmula que genera números aleatorios con distribución de la ley de potencia (Línea 9), se genera un número entre 0 y $PBBA[LIMIT - 1]$ que se almacena en la variable r . Dado que se tiene el arreglo de probabilidades acumuladas $PBBA$, se busca el rango de valores en el cual se encuentra r . Para esto se obtiene la probabilidad $pbaA$ (Línea 12) y $pbaB$ (Línea 13), donde $pbaA < pbaB$. Con estas probabilidades acumuladas se verifica si $pbaB > r$ y $r > pbaA$ (Línea 14). En el caso verdadero, esto indica que r se encuentra en el rango de $PBBA[j]$ y $PBBA[j - 1]$, donde $1 \leq j < N$. Entonces, en el arreglo $FREC$ se aumenta en 1 la cantidad de nodos asociada a la aridez j (Línea 15) y finaliza la búsqueda del rango al que pertenece r . En el caso falso, se seguirá aumentando el valor del índice j , que a su vez representa la aridez, hasta que se encuentre el rango de probabilidades acumuladas al que pertenece r .

En la Línea 16 se tiene la variable global `edges_t` que lleva un conteo de la cantidad total de arista que se deben generar a medida que se va actualizando el arreglo de frecuencias (Línea 15). En la Línea 21, se tiene la variable global `edge_type` la que indica el tipo de grafo que se está generando (0 si es no dirigido, 1 si es dirigido). Con esta variable se determina si seguir generando nodos para diferentes arideces de acuerdo al tipo de grafo. Si el grafo es no dirigido y se llega a las N generaciones de números aleatorios, se verifica si la cantidad de `edges_t` es menor a `edgesUndirect` (variable global que contiene el doble de la cantidad de aristas estimada por la

Algorithm 6: GenerateDegrees(int N , int $LIMIT$, double $PBBA[]$)

Input: $N \leftarrow$ Número de nodos del grafo. $LIMIT \leftarrow$ Aridad máxima que establece un límite para la búsqueda de probabilidades. Un arreglo $PBBA$, tal que $PBBA[i]$ contiene la probabilidad acumulada que corresponde a la aridad i .

Output: Un arreglo $FREC$, tal que $FREC[i]$ contiene la cantidad de nodos que corresponde a la aridad i .

```

1 begin
2   long  $FREC[] \leftarrow$  new Long[ $LIMIT$ ]
3   double  $x_0 \leftarrow 0$ 
4   double  $x_1 \leftarrow PBBA[LIMIT - 1]$ 
5   for long  $k \leftarrow 0$  to  $LIMIT - 1$  do
6     |  $FREC[k] \leftarrow 0$ 
7   end
8   for long  $i \leftarrow 1$  to  $N$  do
9     double  $r \leftarrow [(x_1^{\tau+1} - x_0^{\tau+1}) \cdot \text{Math.random}() + x_0^{\tau+1}]^{\frac{1}{\tau+1}}$ 
10    long  $j \leftarrow 1$ 
11    while  $j < LIMIT$  do
12      double  $pbaA \leftarrow PBBA[j - 1]$ 
13      double  $pbaB \leftarrow PBBA[j]$ 
14      if  $pbaB > r \wedge r > pbaA$  then
15        |  $FREC[j] \leftarrow FREC[j] + 1$ 
16        |  $edges.t \leftarrow edges.t + j$ 
17        |  $j \leftarrow N$ 
18      end
19       $j \leftarrow j + 1$ 
20    end
21    if  $edge.type = 0$  then
22      | if  $i = N \wedge edges.t < edgesUndirect$  then
23        | |  $i \leftarrow i - 1$ 
24        | end
25      else
26        | if  $edges.t \geq edges$  then
27          | |  $i \leftarrow N + 1$ 
28          | end
29        end
30    end
31    return  $FREC$ 
32 end

```

fórmula Ecuación 4.10). Si la condición de la Línea 22 es verdadera se seguirán generando números aleatorios para aumentar la cantidad de nodos por aridad y así alcanzar la cantidad de aristas estimada. En el caso de un grafo dirigido, si la cantidad de *edges_t* es mayor a *edges* (variable global que contiene la cantidad de aristas estimada por la fórmula Ecuación 4.10) se termina la generación de números aleatorios para no generar un exceso de aristas con respecto a la cantidad estimada.

El paso de obtener un número aleatorio (Línea 9) se realiza a lo menos N veces si el grafo es no dirigido y a lo más N veces si es dirigido. Los pasos entre la Línea 12 y 19 se realiza a lo más $LIMIT - 1$ veces, puesto que el rango de valores al que pertenece r puede encontrarse antes de llegar al final del arreglo de probabilidades acumuladas. El arreglo de frecuencias se retorna en la Línea 31, el cual contiene la cantidad de nodos correspondientes a cada aridad i ($FREC[i]$).

4.5.3. Generación del Arreglo de Aridades

A continuación, se describen los pasos y diseño del método para la generación del arreglo de aridades, del cual hace uso el Algoritmo 3.

El parámetro de entrada de la función `GenerateArrayPowerLaw` es el número de nodos N . La salida es un arreglo D de longitud N , tal que $D[i]$ contiene el grado del nodo i , donde $0 \leq i < N$.

La función `GenerateArrayPowerLaw` comienza con la inicialización del arreglo de aridades D . Se define la variable *limit* que almacena la aridad máxima calculada por la fórmula de la Ecuación 4.16 (Línea 3). Se define arreglo $PBBA$ el cual recibe el arreglo de probabilidades acumuladas que retorna la función `GeneratePbb` (Línea 4) en base a N y $limit + 1$. Se define el arreglo *frec* el cual recibe el arreglo de frecuencias que retorna la función `GenerateDegrees` (Línea 5) en base a N , $limit + 1$ y $PBBA$.

Como el arreglo *frec* contiene la cantidad de nodos para cada aridad, en la Línea 8 se obtiene la cantidad de nodos de la aridad k (el valor se almacena en la variable *nodosPorAridad*). Se comprueba si la cantidad de nodos es mayor a 0 (Línea 9). En caso de ser verdadero, se asigna la aridad k al nodo h (Línea 11). Se está añadiendo la aridad k a un solo nodo en el arreglo de aridades. Por esto último, este paso se repite la cantidad de veces indicada por la cantidad de nodos con aridad k . Cabe mencionar que el arreglo de frecuencias se recorre desde *limit* hasta 1. Esto les da

Algorithm 7: GenerateArrayPowerLaw(int N)

Input: $N \leftarrow$ Número de nodos del grafo.**Output:** Un arreglo D , tal que $D[i]$ contiene el grado del nodo i .

```

1 begin
2   long  $D[] \leftarrow$  new long[ $N$ ]
3   int  $limit \leftarrow$  AridadMaxima( $N, \tau$ )
4   double  $PBBA[] \leftarrow$  GeneratePbb( $N, limit + 1$ )
5   long  $frec[] \leftarrow$  GenerateDegrees( $N, limit + 1, PBBA$ )
6   long  $h \leftarrow 0$ 
7   for long  $k \leftarrow limit$  to 1 do
8     double  $nodosPorAridad \leftarrow frec[k]$ 
9     if  $nodosPorAridad > 0$  then
10      long  $cont \leftarrow 0$ 
11      while  $cont < nodosPorAridad$  do
12         $D[h] \leftarrow k$ 
13         $h \leftarrow h + 1$ 
14        if  $h \geq N$  then break;
15         $cont \leftarrow cont + 1$ 
16      end
17    end
18    if  $h \geq N$  then break;
19  end
20  return  $D$ 
21 end

```

prioridad a los nodos con mayor aridad para ser agregados al arreglo de aridades D .

Se debe tener en cuenta que si el índice h , que se utiliza para recorrer el arreglo de aridades D , llega a igualar a N (que es la cantidad de espacios disponibles en D) antes de que se termine de recorrer el arreglo de frecuencias $frec$, se da por terminado el proceso de producción del arreglo de aridades, por lo que se pierden frecuencias asociadas a aridades pequeñas.

El arreglo de aridades producido se retorna en la Línea 20, el que contiene el número de aristas de cada nodo i ordenada de mayor a menor. De este modo el nodo 0 tiene la mayor aridad, mientras que el nodo $N - 1$ contiene la menor aridad. La representación gráfica del arreglo que se retorna se aprecia en el Cuadro 4.20. Este arreglo tiene datos de un grafo no dirigido de 1000 nodos indexados del cero en adelante generado con el método descrito.

Cuadro 4.20: Arreglo de aridades Algoritmo 3.

| | | | | | | | | | | |
|-----|-----|-----|-----|-----|-----|-----|-----|-----|-----|-----|
| 472 | 385 | 273 | 209 | 186 | 178 | 167 | 153 | 147 | ... | 1 |
| 0 | 1 | 2 | 3 | 4 | 5 | 6 | 7 | 8 | ... | 999 |

4.5.4. Experimentos Preliminares Algoritmo 3

En esta sección se evalúan los resultados que genera el Algoritmo 3, lo que permite analizar la eficiencia del método y características de los grafos producidos. Al igual que los experimentos preliminares del Algoritmo 1 y 2, el objetivo de estos es la búsqueda de fallas o falencias en el método de generación para su corrección o que den paso crear nuevos algoritmos que resuelvan los problemas de este método.

Resultados

Cada experimento corresponde a una combinación de tamaño del grafo y tipo de aristas. Se registra el tiempo de ejecución y el número de aristas generada. En general, se generan ocho grafos, con un tamaño máximo de un millón de nodos.

Cuadro 4.21: Grafos generados en la evaluación preliminar del Algoritmo 3.

| GraphID | Tipo de Grafo | Número de Nodos | Número de Aristas | Tiempo (ms) |
|---------|---------------|-----------------|-------------------|-------------|
| UDG1K | No Dirigido | 1 000 | 5 168 | 22 |
| DG1K | Dirigido | 1 000 | 5 529 | 20 |
| UDG10k | No Dirigido | 10 000 | 65 672 | 51 |
| DG10k | Dirigido | 10 000 | 70 068 | 48 |
| UDG100k | No Dirigido | 100 000 | 809 055 | 296 |
| DG100k | Dirigido | 100 000 | 853 518 | 255 |
| UDG1M | No Dirigido | 1 000 000 | 9 631 437 | 3 069 |
| DG1M | Dirigido | 1 000 000 | 10 010 100 | 2 935 |

El Cuadro 4.21 presenta los resultados obtenidos. El tiempo de ejecución más bajo fue de 20 milisegundos que corresponde a la generación de un grafo dirigido de mil nodos. Por otro lado, el tiempo de ejecución más alto es 3069 milisegundos que corresponden a la generación de un grafo no dirigido de un millón de nodos. Se aprecia empíricamente que en la mayoría de casos toma más tiempo generar grafos no dirigidos.

La fórmula de la Ecuación 4.11 indica la cantidad estimada de aristas para los

tamaños de grafos generados, ya que se crean con $\tau = 2$. De acuerdo a la estimación de aristas para cada caso, todos los grafos generados han superado la cantidad de aristas estimada.

Cuadro 4.22: Aridad máxima de los diferentes grafos generados.

| GraphID | Tipo de Grafo | Número de Nodos | Aridad Máxima |
|----------------|----------------------|------------------------|----------------------|
| UDG1K | No Dirigido | 1 000 | 445 |
| DG1K | Dirigido | 1 000 | 439 |
| UDG10k | No Dirigido | 10 000 | 1 576 |
| DG10k | Dirigido | 10 000 | 1 650 |
| UDG100k | No Dirigido | 100 000 | 6 156 |
| DG100k | Dirigido | 100 000 | 6 126 |
| UDG1M | No Dirigido | 1 000 000 | 22 143 |
| DG1M | Dirigido | 1 000 000 | 21 894 |

En el Cuadro 4.22 se muestra la aridad máxima obtenida en cada grafo generado. Los valores de aridad máxima que establece la fórmula de la Ecuación 4.16 al ser multiplicada por 1.24 con $\tau = 2$ y $N = \{1\,000, 10\,000, 100\,000, 1\,000\,000\}$ son 479, 1 721, 6 176 y 22 167, respectivamente. Se observa que ningún grafo superó su respectiva aridad máxima y que se generaron valores cercanos a los indicados por la fórmula.

En la Figura 4.16 se muestra la distribución de aridades de un grafo no dirigido de 100 000 nodos que se generó en el experimento. En el gráfico se aprecia que ahora no se generan nodos con aridades muy altas como si ocurre en los Algoritmos 1 y 2. De hecho, la aridad máxima de este grafo es 6 156 como se registra en el Cuadro 4.22. También, gran parte de la distribución de las aridades es similar a la vista en el gráfico de de la Figura 4.8 del grafo de 100 000 nodos generado por R³MAT.

En el gráfico se observa que la cantidad de nodos con aridad uno a decaído con respecto a los Algoritmos 1 y 2. El hecho de que disminuye la preferencia por la aridad uno es un resultado esperado, debido a la fórmula que altera la distribución de los números aleatorios. Pero la cantidad de nodos con aridad uno que se tienen es mucho menor, puesto que dicha cantidad en el arreglo de frecuencia es de 25 922 nodos, pero la cantidad que se observa en el grafo es de 6 143. ¿Por qué pasa esto? Pues esto se debe a que aumenta la preferencia de las aridades más altas con la fórmula para los números aleatorios, por lo que hay más nodos en la zona de aridades altas. A

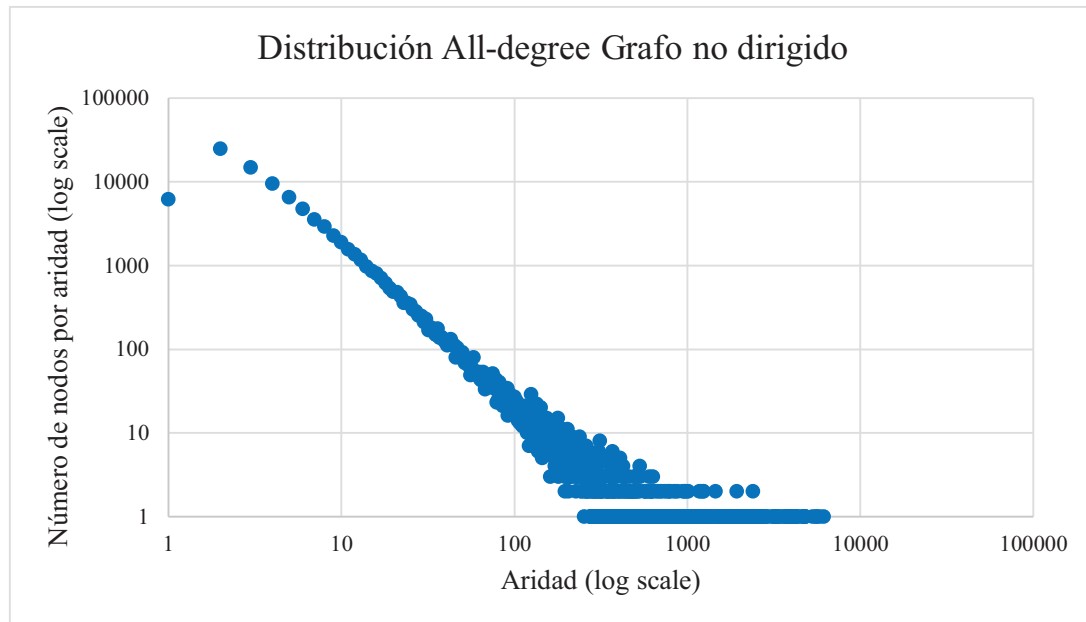


Figura 4.16: Distribución de la aridad de un grafo de 100 000 nodos Algoritmo 3.

su vez, el Algoritmo `GenerateArrayPowerLaw` (Algorithm 7) al momento de generar el arreglo de aridades, lo hace desde la mayor aridad a la menor. Entonces, como en el arreglo se le da la prioridad a las aridades altas y ahora estas consumen más espacios dentro de la estructura, debido a que se aumentó su preferencia, cuando hay que agregar los nodos con aridad uno, la estructura no da abasto para agregarlos a todos.

5. Evaluación Experimental

El objetivo de la evaluación experimental es probar y comparar la eficiencia y realismo de los algoritmos propuestos en el Capítulo 4. Además, también se realiza una comparación de rendimiento del Algoritmo 3 con R^3MAT y las alternativas secuenciales como lo son SNAP [17] y PaRMAT [23]. Por ende, este capítulo contiene el desarrollo de la metodología de evaluación, los resultados experimentales y la discusión correspondiente.

5.1. Fase Experimental 1

La Fase de Evaluación Experimental 1 se basa en la generación de grafos. Cada experimento combina tres variables: método de generación, tamaño del grafo y tipo de grafo. Se consideran los tres métodos presentados en el Capítulo 4 de este documento. En términos de tamaño, se consideran grafos de 1 000, 10 000, 100 000, 1 millón, 10 millones, 100 millones y 250 millones de nodos. La variable tipo de grafo indica la generación de aristas dirigidas o no dirigidas.

En base a estas variables, se evalúan los métodos de generación en términos de eficiencia y realismo. La eficiencia se mide como el tiempo transcurrido (o tiempo de ejecución) junto con el aumento creciente del número de nodos. El objetivo es determinar el método más rápido y más lento dado diferentes tamaños de grafos. Para hacerlo, se usa la función integrada en Java `System.currentTimeMillis()`.

Como se menciona con anterioridad en el documento, R-MAT puede generar grafos con propiedades que se producen en redes reales, en particular en la distribución de la ley de potencia. Por lo tanto, el realismo de los métodos está dado por su capacidad de producir una distribución de ley de potencia para cualquier tamaño del grafo. Para verificar la noción de realismo, se calcula la estadística Kolmogorov-Smirnov.

En base a las métricas anteriores, se selecciona un solo algoritmo, con el cual se realiza la siguiente fase de experimentación para compararlo con R³MAT y las alternativas secuenciales como lo son SNAP [17] y PaRMAT [23].

5.1.1. Configuración Experimental

Todos los experimentos de la Fase 1 se ejecutan en una máquina virtual creada en Google Cloud Platform. Se utiliza una máquina con una CPU IntelSkylake con 16 CPU virtuales, 60 Gb de memoria (RAM) y 65 GB de memoria secundaria (SSD). El sistema operativo es Debian GNU/Linux 10. Se instala Java Openjdk versión 11.0.7. Se genera una aplicación Java para cada uno de los algoritmos anteriormente descritos en el Capítulo 4 y se envían a la máquina virtual. Los tres algoritmos poseen una interfaz basada en jar que permite generar grafos desde la línea de comandos, ejecutando la instrucción:

```
java -jar GraphGenerador<Número>.jar
      <N> <T> <F> <TAU>
```

donde $\langle \text{Número} \rangle$ define el algoritmo que se va utilizar, $\langle N \rangle$ es la cantidad de nodos del grafo (Obligatorio), $\langle T \rangle$ indica el tipo de grafo (0 para no dirigido que es el valor por defecto, 1 para dirigido), $\langle F \rangle$ indica el formato de los datos de salida (0 para la lista de aristas, 1 para graphml) y $\langle TAU \rangle$ es el valor para el exponente de la potencia (sólo acepta valores positivos y se recomiendan dentro del rango [1.92, 2.72]). Los grafos para esta fase de la evaluación experimental se generan configurando los parámetros $\langle N \rangle$ y $\langle T \rangle$. Como formato de salida, se utiliza la representación de lista de arista que es el formato por defecto y para el exponente se utiliza $\tau = 2$ (valor por defecto) que se encuentra dentro del rango recomendado.

5.1.2. Resultados Experimentales Fase 1

Cada experimento corresponde a una combinación específica de método de generación, tamaño del grafo y tipo de arista. Para cada experimento, cada aplicación se ejecuta 3 veces, se registra el tiempo promedio de ejecución, el número de aristas más alto y el tamaño del archivo de salida más pesado. Las tablas de los Cuadros 5.2, 5.3 y 5.4 muestran un resumen de los grafos generados. En términos generales, se generan catorce tipos de grafos, con un tamaño máximo de 250 millones de nodos.

Cuadro 5.1: Número de aristas estimadas para $\tau = 2$.

| Número de Nodos | Número de Aristas Estimadas |
|-----------------|-----------------------------|
| 1 000 | 4 990 |
| 10 000 | 65 250 |
| 100 000 | 806 009 |
| 1 000 000 | 9 595 150 |
| 10 000 000 | 111 302 071 |
| 100 000 000 | 1 266 526 383 |
| 250 000 000 | 3 319 031 079 |

Al utilizar $\tau = 2$, el número de aristas está dado por la fórmula de la Ecuación 4.11. Dado los parámetros establecidos, se determina la cantidad de aristas esperadas para cada caso, lo que se muestra en el Cuadro 5.1.

Cuadro 5.2: Grafos generados en la evaluación experimental con el Algoritmo 1.

| GraphID | Tipo de Grafo | Número de Nodos | Número de Aristas | Tamaño del archivo (bytes) |
|---------|---------------|-----------------|-------------------|----------------------------|
| UDG1K | No Dirigido | 1 000 | 2 967 | 16 852 |
| DG1K | Dirigido | 1 000 | 6 157 | 38 843 |
| UDG10k | No Dirigido | 10 000 | 32 721 | 219 747 |
| DG10k | Dirigido | 10 000 | 73 274 | 553 750 |
| UDG100k | No Dirigido | 100 000 | 422 785 | 3 208 840 |
| DG100k | Dirigido | 100 000 | 805 431 | 7 169 750 |
| UDG1M | No Dirigido | 1 000 000 | 5 022 802 | 43 636 784 |
| DG1M | Dirigido | 1 000 000 | 10 969 895 | 109 511 240 |
| UDG10M | No Dirigido | 10 000 000 | 54 364 490 | 537 996 603 |
| DG10M | Dirigido | 10 000 000 | 113 826 751 | 1 291 831 799 |
| UDG100M | No Dirigido | 100 000 000 | 658 648 148 | 6 932 165 680 |
| DG100M | Dirigido | 100 000 000 | 1 212 399 045 | 15 406 239 541 |
| UDG250M | No Dirigido | 250 000 000 | 1 643 894 149 | 18 527 339 255 |
| DG250M | Dirigido | 250 000 000 | 3 443 251 139 | 45 060 733 249 |

Eficiencia

La tabla del Cuadro 5.5 presenta los tiempos de ejecución de los tres algoritmos de generación. El tiempo de ejecución más bajo es $t = 7$ ms, que corresponden al algoritmo 1, cuando genera un grafo no dirigido de 1000 nodos. El tiempo de

Cuadro 5.3: Grafos generados en la evaluación experimental con el Algoritmo 2.

| GraphID | Tipo de Grafo | Número de Nodos | Número de Aristas | Tamaño del archivo (bytes) |
|----------------|----------------------|------------------------|--------------------------|-----------------------------------|
| UDG1K | No Dirigido | 1 000 | 4 523 | 26 982 |
| DG1K | Dirigido | 1 000 | 6 020 | 37 934 |
| UDG10k | No Dirigido | 10 000 | 60 085 | 427 617 |
| DG10k | Dirigido | 10 000 | 74 648 | 559 387 |
| UDG100k | No Dirigido | 100 000 | 763 560 | 6 153 435 |
| DG100k | Dirigido | 100 000 | 977 059 | 8 458 346 |
| UDG1M | No Dirigido | 1 000 000 | 9 058 915 | 85 481 507 |
| DG1M | Dirigido | 1 000 000 | 9 440 164 | 94 854 971 |
| UDG10M | No Dirigido | 10 000 000 | 107 368 690 | 1 089 942 064 |
| DG10M | Dirigido | 10 000 000 | 108 235 290 | 1 221 784 843 |
| UDG100M | No Dirigido | 100 000 000 | 1 211 190 297 | 14 037 819 654 |
| DG100M | Dirigido | 100 000 000 | 1 135 697 577 | 14 387 209 565 |
| UDG250M | No Dirigido | 250 000 000 | 3 177 728 620 | 39 424 790 065 |
| DG250M | Dirigido | 250 000 000 | 2 769 839 061 | 36 984 352 695 |

Cuadro 5.4: Grafos generados en la evaluación experimental con el Algoritmo 3.

| GraphID | Tipo de Grafo | Número de Nodos | Número de Aristas | Tamaño del archivo (bytes) |
|----------------|----------------------|------------------------|--------------------------|-----------------------------------|
| UDG1K | No Dirigido | 1 000 | 5 345 | 32 702 |
| DG1K | Dirigido | 1 000 | 5 573 | 35 158 |
| UDG10k | No Dirigido | 10 000 | 65 461 | 508 264 |
| DG10k | Dirigido | 10 000 | 70 056 | 544 092 |
| UDG100k | No Dirigido | 100 000 | 809 338 | 7 477 082 |
| DG100k | Dirigido | 100 000 | 850 361 | 7 847 960 |
| UDG1M | No Dirigido | 1 000 000 | 9 637 627 | 103 600 519 |
| DG1M | Dirigido | 1 000 000 | 10 019 287 | 107 178 852 |
| UDG10M | No Dirigido | 10 000 000 | 111 932 512 | 1 359 912 208 |
| DG10M | Dirigido | 10 000 000 | 115 464 055 | 1 398 244 703 |
| UDG100M | No Dirigido | 100 000 000 | 1 273 325 547 | 17 370 644 366 |
| DG100M | Dirigido | 100 000 000 | 1 306 527 631 | 17 720 796 918 |
| UDG250M | No Dirigido | 250 000 000 | 3 337 637 291 | 47 538 272 197 |
| DG250M | Dirigido | 250 000 000 | 3 418 869 542 | 48 451 309 944 |

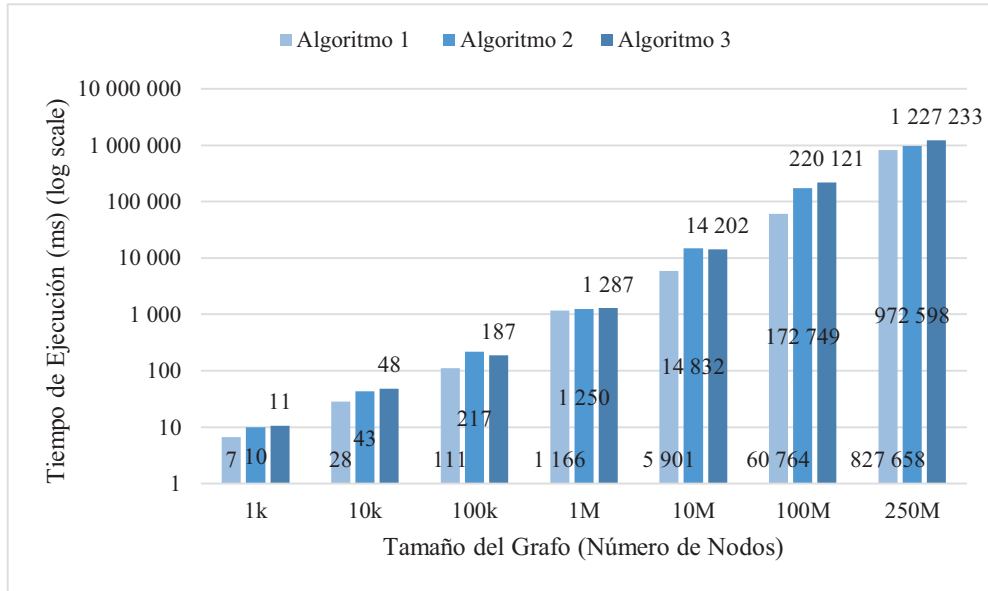
ejecución más alto es $t = 1\,227\,233$ ms, lo que se obtiene mediante el Algoritmo 3 para generar un grafo no dirigido de 250 millones de nodos. Para comparar la eficiencia de los métodos, se incluye la Figura 5.1. Esta figura muestra los tiempos

Cuadro 5.5: Resultados de los tiempos de ejecución de cada algoritmo.

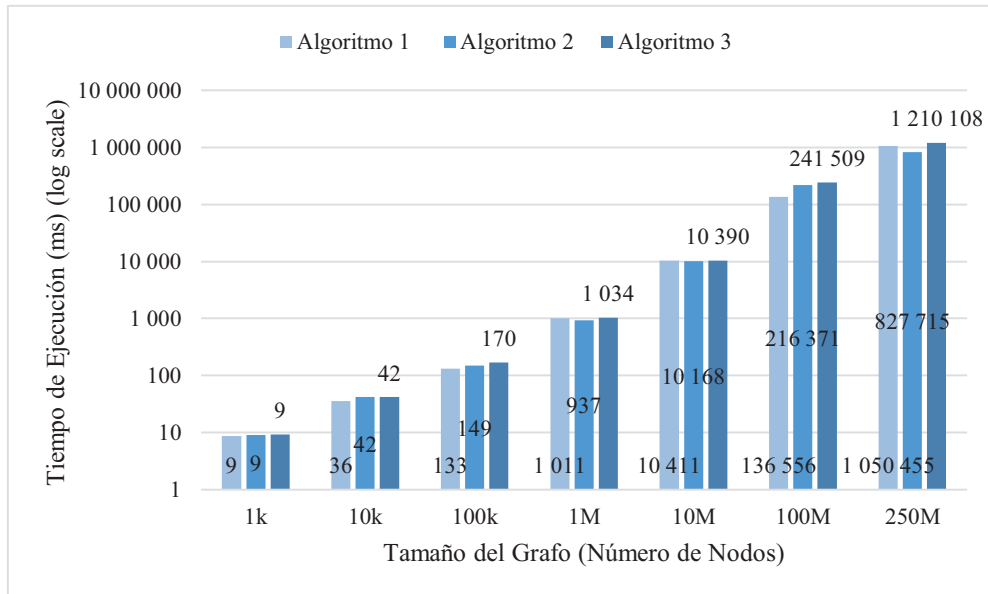
| GraphID | Tipo de Grafo | Algoritmo 1 (ms) | Algoritmo 2 (ms) | Algoritmo 3 (ms) |
|----------------|----------------------|-------------------------|-------------------------|-------------------------|
| UDG1K | No Dirigido | 7 | 10 | 11 |
| DG1K | Dirigido | 9 | 9 | 9 |
| UDG10k | No Dirigido | 28 | 43 | 48 |
| DG10k | Dirigido | 36 | 42 | 42 |
| UDG100k | No Dirigido | 111 | 217 | 187 |
| DG100k | Dirigido | 133 | 149 | 170 |
| UDG1M | No Dirigido | 1 166 | 1 250 | 1 287 |
| DG1M | Dirigido | 1 011 | 937 | 1 034 |
| UDG10M | No Dirigido | 5 901 | 14 843 | 14 202 |
| DG10M | Dirigido | 10 411 | 10 168 | 10 390 |
| UDG100M | No Dirigido | 60 764 | 172 749 | 220 121 |
| DG100M | Dirigido | 136 556 | 216 371 | 241 509 |
| UDG250M | No Dirigido | 827 658 | 972 598 | 1 227 233 |
| DG250M | Dirigido | 1 050 455 | 827 715 | 1 210 108 |

de ejecución de los tres algoritmos para generar grafos de diferentes tamaños (de 1 000 a 250 millones de nodos), ya sean no dirigidos (ver Figura 5.1 (a)) como no dirigidos (ver Figura 5.1 (b)). Si bien, los tres métodos generan todos los grafos, se puede ver que el Algoritmo 1 tiene un mejor rendimiento en función del tiempo de ejecución cuando se trata grafos no dirigidos. Por otro lado, cuando se generan grafos dirigidos se puede ver que en función del tamaño del grafo, los resultados indican que para grafos de 10 mil, 100 mil y 100 millones el Algoritmo 1 también posee mejor rendimiento. Pero para grafos de 1 millón, 10 millones y 250 millones es el Algoritmo 2 que posee mejor rendimiento. Se demuestra empíricamente que el Algoritmo 3 es más lento que los Algoritmos 1 y 2 en la mayoría de resultados experimentales.

Si bien, los Algoritmos 1 y 2 son los que tiene un mejor rendimiento en función del tiempo de ejecución, cabe analizar la cantidad de aristas generadas por cada método en comparación con la cantidad estimada señalada en la tabla del Cuadro 5.1. Para esta comparación, se tienen las tablas de los Cuadros 5.6 y 5.7 para grafo dirigido y no dirigido respectivamente. La cantidad de aristas más baja es 4351, que corresponden al Algoritmo 2, cuando genera un grafo no dirigido de 1 000 nodos. La cantidad de aristas más alta es 3 443 251 139, que corresponden al Algoritmo 1 cuando genera un grafo dirigido de 250 millones.



(a) Grafos no dirigidos



(b) Grafos dirigidos

Figura 5.1: Tiempo de ejecución de los métodos para generar grafos de diferentes tamaños.

En el caso de grafos no dirigidos, se aprecia en el Cuadro 5.6 que de todos los grafos generados, solamente el Algoritmo 3 supera la cantidad de aristas estimadas, mientras que los Algoritmos 1 y 2 no alcanzan la cantidad esperada. El Algoritmo

Cuadro 5.6: Número de aristas generada por los métodos para generar grafos no dirigidos de diferentes tamaños.

| Tamaño | Algoritmo 1 | Algoritmo 2 | Algoritmo 3 | Estimado |
|--------|---------------|---------------|---------------|---------------|
| 1k | 2 967 | 4 523 | 5 345 | 4 990 |
| 10k | 32 721 | 60 085 | 65 461 | 65 250 |
| 100k | 422 785 | 763 560 | 809 338 | 806 009 |
| 1M | 5 022 802 | 9 058 915 | 9 637 627 | 9 595 150 |
| 10M | 54 364 490 | 107 368 690 | 111 932 512 | 111 302 071 |
| 100M | 658 648 148 | 1 211 190 297 | 1 273 325 547 | 1 266 526 383 |
| 250M | 1 643 894 149 | 3 177 728 620 | 3 337 637 291 | 3 319 031 079 |

Cuadro 5.7: Número de aristas generada por los métodos para generar grafos dirigidos de diferentes tamaños.

| Tamaño | Algoritmo 1 | Algoritmo 2 | Algoritmo 3 | Estimado |
|--------|---------------|---------------|---------------|---------------|
| 1k | 6 157 | 4 351 | 5 573 | 4 990 |
| 10k | 73 274 | 74 648 | 70 056 | 65 250 |
| 100k | 805 431 | 977 059 | 850 361 | 806 009 |
| 1M | 10 969 895 | 9 440 164 | 10 019 287 | 9 595 150 |
| 10M | 113 826 751 | 108 235 290 | 115 464 055 | 111 302 071 |
| 100M | 1 212 399 045 | 1 135 697 577 | 1 306 527 631 | 1 266 526 383 |
| 250M | 3 443 251 139 | 2 769 839 061 | 3 418 869 542 | 3 319 031 079 |

1 se queda muy atrás con respecto al número de arista que debería alcanzar. El Algoritmo 2 se queda cerca de la cantidad esperada, pero no la alcanza. Esto explica el porqué los Algoritmos 1 y 2 en la mayoría de casos tienen un mejor rendimiento en términos de tiempo con respecto al Algoritmo 3 como se ve en la Figura 5.1 (a), puesto que un menor número de aristas equivale a un menor tiempo de generación del archivo con la lista de aristas.

En el caso de grafos dirigidos, se aprecia en el Cuadro 5.6 que el Algoritmo 1 supera la cantidad de aristas estimada en la mayoría de casos, pero en grafos de 100 mil y 100 millones de nodos se queda por detrás de lo esperado. Por otro lado, el Algoritmo 2 no alcanza la cantidad de aristas estimadas en la mayoría de casos, excepto cuando se generan grafos de 10 mil y 100 mil nodos donde supera la cantidad estimada. En el caso del Algoritmo 3, este supera la cantidad de aristas estimada en todos los grafos generados. Esto explica que los tiempos de los algoritmos resulten similares para los diferentes tamaños de los grafos generados como se ve en la Figura 5.1 (b). Si bien, en el caso de los grafos dirigidos, los Algoritmos 1 y 3 superan

la cantidad de aristas estimadas en la mayoría de experimentos, es el Algoritmo 3 quien la supera en todos estos. Además genera una cantidad de aristas que supera en menor medida la cantidad esperada en comparación con el Algoritmo 1, que genera una mayor cantidad de aristas con respecto al Algoritmo 3, excepto en el caso de un grafo de 10 millones de nodos. Superar por mucho la cantidad de aristas estimada, implica que los métodos tienen que usar más tiempo en generar el arreglo de aristas, por lo que no se considera positivo el superar la cantidad estimada por una cantidad muy alta. En este aspecto, es el Algoritmo 3 el que posee un mejor rendimiento con respecto al resto de los métodos. Una representación visual de esta comparación se encuentra en el Anexo B.2.

Realismo

El objetivo de este experimento, es verificar que los algoritmos generen grafos que sigan la distribución de la ley de potencia. Para hacer esto, se presentan una verificación estadística y visual. La verificación estadística se refiere al uso de la estadística de Kolmogorov-Smirnov (KS-stat) [24]. En este caso, la métrica KS-stat se usa para probar qué tan bien una distribución de muestra se ajusta a la distribución de ley de potencia.

En este experimento, se consideran grafos dirigidos y no dirigidos con los siguientes tamaños: $n_1=1k$, $n_2=10k$, $n_3=100k$, $n_4=1M$ y $n_5=10M$. Cabe destacar que una puntuación pequeña para *KS - stat* denota un mejor ajuste entre la distribución observada y la distribución de la ley de potencia.

Cuadro 5.8: Puntuaciones KS-stat para grafos no dirigidos.

| Tamaño | Algoritmo 1 | Algoritmo 2 | Algoritmo 3 |
|--------|--------------|--------------|--------------|
| 1k | 0.072 144 20 | 0.124 262 90 | 0.111 965 30 |
| 10k | 0.035 416 06 | 0.055 945 63 | 0.065 162 19 |
| 100k | 0.018 208 59 | 0.041 933 74 | 0.033 694 74 |
| 1M | 0.009 236 51 | 0.026 818 82 | 0.021 474 73 |
| 10M | 0.004 737 66 | 0.018 445 77 | 0.017 333 50 |

En el caso de los grafos no dirigidos (ver Cuadro 5.8), todos los puntajes tienen un valor inferior a 0.13, lo que se considera muy bueno. Por lo tanto, todos los grafos no dirigidos siguen una distribución de la ley de potencia.

Cuadro 5.9: Puntuaciones KS-stat para grafos dirigidos all-degree.

| Tamaño | Algoritmo 1 | Algoritmo 2 | Algoritmo 3 |
|--------|--------------|--------------|--------------|
| 1k | 0.112 676 10 | 0.101 105 60 | 0.096 464 30 |
| 10k | 0.089 067 66 | 0.064 630 18 | 0.100 051 60 |
| 100k | 0.065 466 66 | 0.057 971 01 | 0.048 765 48 |
| 1M | 0.074 415 77 | 0.054 859 62 | 0.043 670 06 |
| 10M | 0.035 558 30 | 0.042 539 42 | 0.028 063 07 |

Cuadro 5.10: Puntuaciones KS-stat para grafos dirigidos in-degree.

| Tamaño | Algoritmo 1 | Algoritmo 2 | Algoritmo 3 |
|--------|--------------|--------------|--------------|
| 1k | 0.111 111 10 | 0.103 448 30 | 0.119 500 20 |
| 10k | 0.070 630 88 | 0.100 902 10 | 0.104 896 10 |
| 100k | 0.054 852 75 | 0.046 420 93 | 0.051 020 63 |
| 1M | 0.050 054 22 | 0.032 765 4 | 0.0371 348 5 |
| 10M | 0.019 433 26 | 0.025 653 58 | 0.042 218 19 |

Cuadro 5.11: Puntuaciones KS-stat para grafos dirigidos out-degree.

| Tamaño | Algoritmo 1 | Algoritmo 2 | Algoritmo 3 |
|--------|--------------|--------------|--------------|
| 1k | 0.072 084 20 | 0.053 775 74 | 0.109 090 90 |
| 10k | 0.035 400 29 | 0.075 469 22 | 0.084 323 95 |
| 100k | 0.018 207 91 | 0.044 929 03 | 0.031 210 13 |
| 1M | 0.009 236 53 | 0.024 315 89 | 0.023 979 08 |
| 10M | 0.004 737 66 | 0.017 519 07 | 0.017 490 36 |

En el caso de grafos no dirigidos, se ha calculado el puntajes de KS-stat para el all degree, in-degree y out-degree (ver Cuadros 5.9, 5.10 y 5.11). Para el all degree, in degree y out degree todos los puntajes son inferiores a 0.12, lo que se considera un valor aceptable. Por lo tanto, todos los grafos dirigidos siguen una distribución de la ley de potencia.

Se debe tener en cuenta que los puntajes disminuyen con el aumento del tamaño del grafo, ya sea dirigido o no dirigido. Por lo tanto, se conjetura que los grafos mayores a 10 millones seguirán una distribución de la ley de potencia.

La verificación visual se realiza con los diagramas de dispersión que muestran la distribución de la aridad de los grafos. Estos gráficos se encuentran en el Anexo B.1. Se han generado gráficos para 1 000 y 1 000 000 de nodos para cada algoritmo. Con esto se demuestra que los grafos generados siguen una distribución de ley de potencia.

5.2. Fase Experimental 2

Las Fase de Evaluación Experimental 2 se basa en experimentos para verificar que el Algoritmo 3 es competitivo con el estado del arte en términos de tiempo ejecución y realismo. ¿Por qué el Algoritmo 3? Porque este algoritmo es el que presenta los mejores resultados en cuanto a la distribución de la aridad al alcanzar el número de aristas estimada y no genera nodos con grados muy altos gracias a la fórmula de la aridad máxima. Por este motivo, se compara con R³MAT [4] (la versión basada en arreglos), SNAP [17] y PaRMAT [23] para generar grafos de 1 000 a 100 millones de nodos tanto para grafos dirigido como no dirigidos.

El experimento se realiza en la misma máquina virtual creada en Google Cloud Plataform que se utiliza en la Fase Experimental 1. Para cada combinación de parámetros experimentales, se realizan 3 ejecuciones para registrar el tiempo promedio en milisegundos. Según la documentación de SNAP, sólo puede generar grafos dirigidos. Como SNAP y PaRMAT aceptan valores de probabilidades como R-MAT para los cuadrantes, se les asignan las probabilidades $\alpha=0.75$, $\beta=0.05$, $\gamma=0.18$ y $\delta=0.02$ para grafos no dirigidos y $\alpha=0.75$, $\beta=0.05$, $\gamma=0.19$ y $\delta=0.01$ para grafos dirigidos. A R³MAT se le configuraron estas probabilidades, ya que en [4] establecen que es la mejor combinación de estos parámetros.

5.2.1. Resultados Experimentales Fase 2

En la tabla del Cuadro 5.12 se muestran los tiempos de ejecución en milisegundos. Se usa negrita para indicar el método más rápido. Como se puede ver, el Algoritmo 3 es el más rápido en la generación de todos los grafos excepto en el caso del grafo no dirigido de 10 000 nodos, donde gana PaRMAT. Pero cabe mencionar que todos los tiempo marcados con un asterisco (*) en la columna de PaRMAT, son grafos generados con aristas repetidas o que pueden tener como nodo fuente y objetivo el mismo, lo que sucede mayoritariamente en grafos no dirigidos, puesto que el método no es capaz de generar este tipo de grafos con un tamaño superior a 10 000 nodos sin repetir aristas. Por otro lado, no se puede completar la serie con SNAP, ya que en un grafo dirigido de 10 millones estuvo ejecutándose por más de 5 horas, por lo que se decide detener su ejecución y no continuar con su evaluación. En el caso de R³MAT, este método es capaz de completar la serie sin problema alguno y a pesar de que en algunos casos pareciera ganarle PaRMAT, este último logra tiempos más

bajos que R³MAT sólo en los grafos que se genera con aristas duplicadas, mientras que R³MAT garantiza que no genera aristas duplicadas.

Cuadro 5.12: Comparación del Algoritmo 3 con PaRMAT, SNAP y R³MAT.

| GraphID | PaRMAT | SNAP | R ³ MAT _a | Algoritmo 3 |
|---------|------------|-------------|---------------------------------|----------------|
| UDG1K | 57 | - | 16 | 11 |
| DG1K | 39 | 27 | 15 | 9 |
| UDG10k | 23* | - | 97 | 48 |
| DG10k | 1 963 | 329 | 89 | 42 |
| UDG100k | 209* | - | 1 117 | 187 |
| DG100k | 15 339 | 9 233 | 867 | 170 |
| UDG1M | 2 848* | - | 10 825 | 1 287 |
| DG1M | 159 162 | 471 268 | 10 418 | 1 034 |
| UDG10M | 38 525* | - | 146 646 | 14 202 |
| DG10M | 1 457 991 | >18 000 000 | 141 815 | 10 390 |
| UDG100M | 629 009* | - | 2 095 889 | 220 121 |
| DG100M | 455 657* | - | 2 020 027 | 241 509 |

Como se aprecia, el Algoritmo 3 es el más rápido de los métodos, mientras que R³MAT es la segunda mejor alternativa si no se desea la generación de aristas repetidas en grafos no dirigidos de más de 10 000 nodos, puesto que en ese caso PaRMAT se presenta como una buena opción en términos de tiempo.

Finalmente, la Figura 5.2 muestra la distribución del Out-degree de grafos dirigidos de un millón de nodos generados con los cuatro métodos. SNAP y PaRMAT muestran distribuciones erráticas de la ley de potencia, mientras que R³MAT y el Algoritmo 3 presentan las mejores distribuciones de grados. Se calcula la estadística de Kolmogorov–Smirnov y se obtiene los siguientes puntajes: ks=0.070 282 15 para PaRMAT, ks=0.069 568 54 para SNAP, ks=0.023 864 37 para R³MAT y ks=0.023 979 08 para el Algoritmo 3. En este caso, R³MAT es el método que presenta un mejor ajuste para de la distribución de la ley de potencia, quedando por detrás el Algoritmo 3 con un resultado bastante cercano.

5.2.2. Comparación de R³MAT y Algoritmo 3

Para finalizar la Evaluación Experimental, se lleva a cabo la comparación en términos de tiempo entre R³MAT y el Algoritmo 3 en la producción del arreglo de aridades. Para esto se generan grafos de 1 000 a 100 millones de nodos tanto para

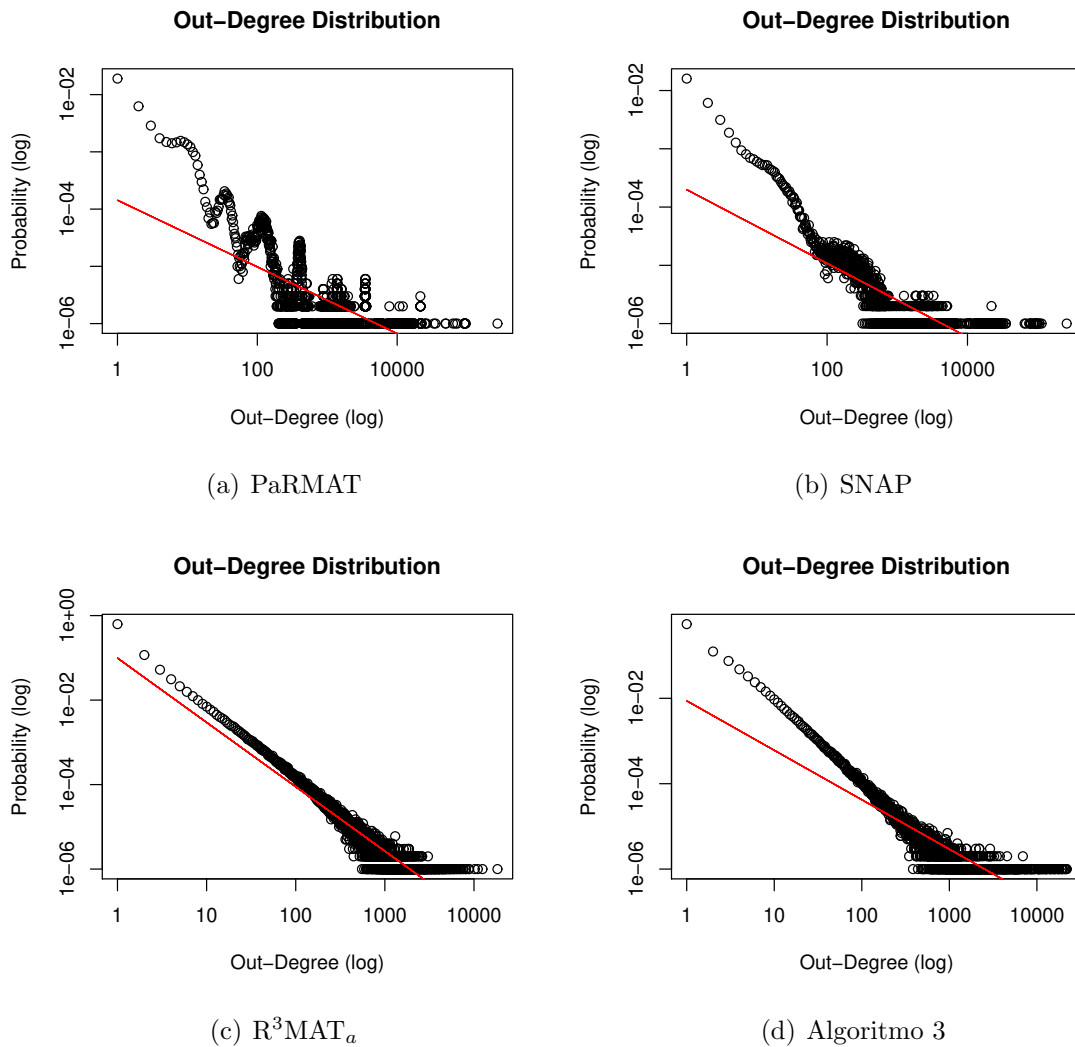


Figura 5.2: Distribución de Out Degree de grafos de un millón de nodos con PaRMAT (a), SNAP (b), R^3MAT_a (c) y Algoritmo 3 (d).

grafos dirigido como no dirigidos. Se registra el tiempo con la función integrada en Java `System.currentTimeMillis()`.

En la tabla del Cuadro 5.13, se han registrado el tiempo en milisegundos que tardan R^3MAT y el Algoritmo 3 en la generar el arreglo de aridades. Como se puede ver, el Algoritmo 3 disminuye considerablemente el tiempo de generación de la estructura con el aumento del tamaño de nodos, llegando ha ser hasta 54 veces más rápido en la generación del arreglo de aridades en un grafo no dirigido de 100 millones de nodos.

Esto se debe a que el Algoritmo 3 hace uso de la función de probabilidad de la

Cuadro 5.13: Registro del tiempo de generación del arreglo de aridades en R³MAT y el Algoritmo 3.

| GraphID | Número de Nodos | R³MAT Tiempo Arreglo (ms) | Algoritmo 3 Tiempo Arreglo (ms) |
|----------------|------------------------|---|--|
| UDG1K | 1 000 | 9 | 2 |
| DG1K | 1 000 | 9 | 2 |
| UDG10k | 10 000 | 64 | 8 |
| DG10k | 10 000 | 59 | 6 |
| UDG100k | 100 000 | 759 | 44 |
| DG100k | 100 000 | 705 | 30 |
| UDG1M | 1 000 000 | 9 962 | 315 |
| DG1M | 1 000 000 | 9 306 | 188 |
| UDG10M | 10 000 000 | 135 924 | 3 058 |
| DG10M | 10 000 000 | 128 580 | 1 765 |
| UDG100M | 100 000 000 | 1 777 123 | 32 090 |
| DG100M | 100 000 000 | 1 729 162 | 18 030 |

ley de potencia para generar un arreglo de probabilidades acumuladas y se generan números aleatorios que se buscan en este arreglo para generar la frecuencia de nodos asociada a cada aridad. Una vez calculadas todas las frecuencias, estas se pasan al arreglo de aridades. Todo es un proceso secuencial, mientras que R³MAT simula la partición de los cuadrante como R-MAT para generar el arreglo de aridades, por lo que realiza un proceso recursivo. De esta forma se demuestra empíricamente que el Algoritmo 3 es más rápido que R³MAT en términos de tiempo para la generación del arreglo de aridades.

6. Conclusiones

El método de generación de grafos R-MAT permite producir grafos sintéticos con propiedades semejantes a las observadas en los grafos del mundo real, en particular, que la distribución de aridades sigue la ley de potencia. Dada una cantidad de nodos N y un valor m de la cantidad de aristas esperadas, el método básico de R-MAT mantiene en la memoria principal la matriz de adyacencia completa que representa el conjunto de aristas E . A pesar de su simplicidad, su requisito de memoria $O(n^2)$ hace que la versión básica de R-MAT no sea adecuada para generar grafos de escalas grandes. Debido a esto, R³MAT se desarrolló para resolver los problemas de escalabilidad de R-MAT utilizando un arreglo de aridades a cambio de la matriz, pero asegurando de mantener la propiedad de la ley de potencia en la distribución de aridades.

El problema de R³MAT es que simula el proceso de subdividir recursivamente la matriz para generar arista, por lo que le cuesta un tiempo considerable el generar grafos grandes, pero la idea de utilizar un arreglo de aridades como una estructura que resume la matriz de adyacencia no solamente es algo positivo por reducir el requisito de memoria $O(n^2)$ a $O(n)$, sino también porque revela y motiva nuevas formas para generar grafos que sigan o no la ley de potencia.

Es esencialmente por lo anterior es que en este trabajo se aborda el problema de disminuir el tiempo de producción del arreglo de aridades, desde la perspectiva de utilizar la función de probabilidad de la ley de potencia para inducir su creación.

A continuación se resumen los principales logros de esta memoria y se analiza su impacto.

Producción del arreglo de aridades

Se propusieron tres algoritmos de producción del arreglo de aridades, donde en algunos se hace uso de un arreglo de probabilidades acumuladas y un arreglo de frecuencias.

El Algoritmo 1, que se considera como el método básico, es el que hace uso directamente de la función de probabilidad de la ley de potencia para determinar la fracción de nodos que le corresponde a cada aridad dado el tamaño del grafo. En la Evaluación Experimental ha resultado ser el que tiene la mejor evaluación de la estadística de Kolmogorov-Smirnov en grafos no dirigidos y en el out-degree de grafos dirigidos, lo que indica que posee una buena distribución de la ley de potencia. Uno de los problemas de este algoritmo es que en grafos no dirigidos no alcanza la cantidad de aristas esperadas quedando muy por debajo de dicho valor. También está el hecho de que genera nodos con aridades muy altas como se demuestra al observar la distribución de aridades en un gráfico de dispersión. Pero su principal problema, es que la suma de todas las probabilidades que se utilizan al momento de calcular la cantidad de nodos por aridad es superior a 1, lo que no es aceptable.

El Algoritmo 2, surge principalmente con el objetivo de resolver el problema de la suma de probabilidades del Algoritmo 1. Como resultado, esto conlleva a la generación de un arreglo de probabilidades acumuladas donde dichas probabilidades son ajustadas previamente. Esto resuelve el problema del Algoritmo 1. El problema de este método, es que en la mayoría de casos no alcanza la cantidad de aristas estimadas y a su vez mantiene el problema de generar nodos con aridades muy altas. La falta de aristas para alcanzar la cantidad dada por la fórmula sumado a la alta preferencia por la aridad uno, fue lo que motivó el realizar un análisis de la generación de los números aleatorios de `Math.random()`. Esto conlleva a la búsqueda de la fórmula que genera números aleatorios con distribución de la ley de potencia a partir de una distribución uniforme. Por otro lado, el hecho de generar nodos con aridades muy altas en comparación a los resultados que genera `R3MAT` conduce a la realización de un experimento en búsqueda de modelar la función que determina la aridad máxima de un grafo en función del número de nodos N y el valor de τ . Básicamente, con esto quiero decir que este algoritmo no destaca particularmente en algún apartado. En los resultados de la Evaluación Experimental tuvo resultados medianamente buenos al ser rápido en ciertos casos y teniendo algunos valores de la

estadística de Kolmogorov-Smirnov mejores que los Algoritmos 1 y 3 en ciertos casos. Pero se considera esencial en el desarrollo de esta memoria, pues fue la estructura que más se estudio y la que motivo la búsqueda de diferentes mecanismos para resolver los principales problemas que surgieron durante el desarrollo e investigación.

El Algoritmo 3, es el mecanismo que implementa la solución a los nodos con aridades muy elevadas por medio de la función que modela la aridad máxima, la cual usa como límite en la producción de aridades permitidas en el arreglo de aridades. Ahora bien, el uso de esta función también permite reducir el tamaño del arreglo de probabilidades acumuladas y del arreglo de frecuencias, puesto que en estas estructuras sólo se utiliza el tamaño indicado por la aridad máxima. De esta forma se reduce la cantidad de memoria que utiliza el Algoritmo 2, ya que todas las estructuras en este último son del tamaño del grafo (número de nodos). Este uso de la aridad máxima es muy útil, pues se demuestra empíricamente que este valor no se acerca a la aridad media ($N/2$) dado el tamaño de un grafo (N). Esto implica que la estructuras para el arreglo de probabilidades acumuladas y el arreglo de frecuencia son altamente escalable con el aumento del número de nodos, sobre todo la primera estructura que es un arreglo de *double*. Por otro lado, el Algoritmo 3 es el método que implementa la generación de número aleatorios con distribución de la ley de potencia, lo que modifica la alta preferencia de la aridad uno y se generan más nodos con aridades más elevadas. De esta forma, el Algoritmo 3 alcanza con mayor facilidad la cantidad de aristas estimada. Por último, en la Evaluación Experimental, se demuestra que este método es muy rápido en comparación a otros algoritmos, que son una alternativa para generar grafos con distribución de la ley de potencia. Además, demuestra tener buenos valores para la estadística de Kolmogorov-Smirnov, quedando sólo por detrás de R³MAT en la comparación con los métodos previamente existentes. En la comparación final de los tiempos de generación del arreglo de aridades entre R³MAT y el Algoritmo 3, se comprueba la reducción del tiempo de producción, donde este último demuestra ser hasta 54 veces más rápido en generar esta estructura en una grafo de gran escala como los son 100 millones de nodos.

Luego de este análisis, se considera al Algoritmo 3 como el mejor método obtenido durante el desarrollo de esta memoria para producir un grafo con la distribución de la ley de potencia. Ha reducido el tiempo de generación, produce la cantidad de aristas esperadas y los grafos resultantes mantienen la propiedad la ley de potencia en la distribución de aridades.

Trabajo Futuro

Este trabajo de memoria se puede expandir tanto en el tema de la distribución de aridades como en la generación de las aristas.

Como se ha demostrado que la producción del arreglo de aridades es muy rápida. Esto permite diseñar e implementar un método que mejore la distribución de las aridades en el arreglo que use más tiempo de ejecución que se ha ganado con respecto a la competencia, de tal forma que todos los valores generados en el arreglo de frecuencias puedan generarse y no se pierdan nodos con aridad uno que deberían generarse.

Mejorar la fórmula que determina la aridad máxima podría ser posible por el estudio de las líneas de tendencia que se genera a partir de la distribución de aridades en los gráficos de dispersión.

Realizar el estudio sobre los grafos generados en esta memoria del punto o aridad en la que inicia y termina el comportamiento de la ley de potencia. Esto hace referencia a que en los gráficos de dispersión se observan secciones lineales que corresponden a la distribución de la ley de potencia, pero estas secciones no están presentes en toda la distribución. Por lo que se plantea que la ley de potencia se encuentra presente en un rango de aridades más allá del promedio de nodos vecinos, pero que no llega a las aridades más altas que se generan.

Se podría implementar un método distribuido para la generación de las aristas una vez que se ha generado el arreglo de aridades, lo que podría mejorar el tiempo global del algoritmo al reducir el tiempo de producción de las aristas.

Realizar pruebas con grafos de mayor escala y con diferentes valores de τ para determinar el comportamiento del algoritmo, el funcionamiento de la fórmula de la aridad máxima y el número de aristas generadas. Cabe mencionar en este apartado que se han generado grafos de 1 000 millones de nodos con $\tau = 2.29$ y grafos de 1 500 millones de nodos con $\tau = 2.72$.

Bibliografía

- [1] Arijit Khan and Sameh Elnikety. Systems for big-graphs. *Proceedings of the VLDB Endowment*, 7(13):1709–1710, 2014.
- [2] Shuai Zhao, Le Yu, and Bo Cheng. Probabilistic community using link and content for social networks. *IEEE Access*, 5:27189–27202, 2017.
- [3] Zhibo Zhu, Qinke Peng, Zhi Li, Xinyu Guan, and Owais Muhammad. Fast pagerank computation based on network decomposition and dag structure. *IEEE Access*, 6:41760–41770, 2018.
- [4] R. Angles, R. Paredes, and R. García. R3MAT: A rapid and robust graph generator. *IEEE Access*, 8:130048–130065, 2020.
- [5] Francisco Javier Martín Pliego and Luis Ruiz-Maya Pérez. *Fundamentos de probabilidad*. Editorial Paraninfo, 2006.
- [6] Luis Rodríguez Ojeda. Construcción de kernel y funciones de densidad de probabilidad. *ESPOL, Matemáticas.*, page 18, 2012.
- [7] Deepayan Chakrabarti and Christos Faloutsos. Graph mining: Laws, generators, and algorithms. *ACM computing surveys (CSUR)*, 38(1):2, 2006.
- [8] MathWorld Team. Random number. <https://mathworld.wolfram.com/RandomNumber.html>, 2020. Accedido 28-03-2020.
- [9] R. Paredes. *Graphs for Metric Space Searching*. PhD thesis, University of Chile, Chile, July 2008. Advisor: G. Navarro. Dept. of Computer Science Tech Report TR/DCC-2008-10. Available at <http://www.dcc.uchile.cl/~raparedes/publ/08PhDthesis.pdf>.

- [10] Jorge P. Apuntes de Matemáticas Discretas Fundamentos de Matemáticas Discretas. page 117, 2009.
- [11] Francisco Soullignac. Notas de la clase 3–introducción a grafos.
- [12] Oded Green, Robert Mccoll, and David A Bader. A Fast Algorithm for Streaming Betweenness Centrality. *2012 International Conference on Privacy, Security, Risk and Trust and 2012 International Confernece on Social Computing*, page 20, 2012.
- [13] Deepayan Chakrabarti, Yiping Zhan, and Christos Faloutsos. R-mat: A recursive model for graph mining. In *Proceedings of the 2004 SIAM International Conference on Data Mining*, page 446. SIAM, 2004.
- [14] Chris Groër, Blair D Sullivan, and Steve Poole. A mathematical analysis of the r-mat random graph generator. *Networks*, 58(3):159–170, 2011.
- [15] Hubert W Lilliefors. On the kolmogorov-smirnov test for normality with mean and variance unknown. *Journal of the American statistical Association*, 62(318):399–402, 1967.
- [16] Arnau Prat-Pérez, Joan Guisado-Gámez, Xavier Fernández Salas, Petr Koupy, Siegfried Depner, and Davide Basilio Bartolini. Towards a property graph generator for benchmarking. page 6, 2017.
- [17] Jure Leskovec and Rok Sosič. Snap: A general-purpose network analysis and graph-mining library. *ACM Transactions on Intelligent Systems and Technology (TIST)*, 8(1):1–20, 2016.
- [18] Lorenz Hübschle-Schneider and Peter Sanders. Linear work generation of r-mat graphs. *arXiv preprint arXiv:1905.03525*, 2019.
- [19] ORACLE. ¿qué es java?, 2020. <https://www.java.com/es/about/>.
- [20] The R Foundation. What is R?, 2020. <https://www.r-project.org/about.html>.
- [21] Microsoft. Ayuda y aprendizaje de excel, 2020. <https://support.office.com/es-es/excel>.

- [22] Monje Álvarez Carlos Arturo. Metodología de la investigación cuantitativa y cualitativa. *Universidad Surcolombiana, Facultad de Ciencias Sociales y Humanas, Programa de Comunicación Social y Periodismo, Neiva*, page 217, 2011.
- [23] Farzad Khorasani, Rajiv Gupta, and Laxmi N Bhuyan. Scalable simd-efficient graph processing on gpus. pages 39–50, 2015.
- [24] Aaron Clauset, Cosma Rohilla Shalizi, and Mark EJ Newman. Power-law distributions in empirical data. *SIAM review*, 51(4):661–703, 2009.

ANEXOS

A. Experimentos Preliminares

En este anexo se encuentran los Cuadros con la información completa de los experimentos preliminares de los algoritmos propuestos en el Capítulo 4.

A.1. Experimentos Preliminares Algoritmo 1

Aquí se encuentra la tabla de probabilidades asociada al problema del Algoritmo 1.

Cuadro A.1: Probabilidades para las aridades de un grafo de 1 000 nodos.

| Aridad | Probabilidad | Aridad | Probabilidad | Aridad | Probabilidad |
|--------|--------------|--------|--------------|--------|--------------|
| 1 | 0.666666667 | 334 | 0.000005976 | 667 | 0.000001499 |
| 2 | 0.166666667 | 335 | 0.000005940 | 668 | 0.000001494 |
| 3 | 0.074074074 | 336 | 0.000005905 | 669 | 0.000001490 |
| 4 | 0.041666667 | 337 | 0.000005870 | 670 | 0.000001485 |
| 5 | 0.026666667 | 338 | 0.000005835 | 671 | 0.000001481 |
| 6 | 0.018518519 | 339 | 0.000005801 | 672 | 0.000001476 |
| 7 | 0.013605442 | 340 | 0.000005767 | 673 | 0.000001472 |
| 8 | 0.010416667 | 341 | 0.000005733 | 674 | 0.000001468 |
| 9 | 0.008230453 | 342 | 0.000005700 | 675 | 0.000001463 |
| 10 | 0.006666667 | 343 | 0.000005667 | 676 | 0.000001459 |
| 11 | 0.005509642 | 344 | 0.000005634 | 677 | 0.000001455 |
| 12 | 0.004629630 | 345 | 0.000005601 | 678 | 0.000001450 |
| 13 | 0.003944773 | 346 | 0.000005569 | 679 | 0.000001446 |

| Aridad | Probabilidad | Aridad | Probabilidad | Aridad | Probabilidad |
|--------|--------------|--------|--------------|--------|--------------|
| 14 | 0.003401361 | 347 | 0.000005537 | 680 | 0.000001442 |
| 15 | 0.002962963 | 348 | 0.000005505 | 681 | 0.000001438 |
| 16 | 0.002604167 | 349 | 0.000005473 | 682 | 0.000001433 |
| 17 | 0.002306805 | 350 | 0.000005442 | 683 | 0.000001429 |
| 18 | 0.002057613 | 351 | 0.000005411 | 684 | 0.000001425 |
| 19 | 0.001846722 | 352 | 0.000005381 | 685 | 0.000001421 |
| 20 | 0.001666667 | 353 | 0.000005350 | 686 | 0.000001417 |
| 21 | 0.001511716 | 354 | 0.000005320 | 687 | 0.000001413 |
| 22 | 0.001377410 | 355 | 0.000005290 | 688 | 0.000001408 |
| 23 | 0.001260239 | 356 | 0.000005260 | 689 | 0.000001404 |
| 24 | 0.001157407 | 357 | 0.000005231 | 690 | 0.000001400 |
| 25 | 0.001066667 | 358 | 0.000005202 | 691 | 0.000001396 |
| 26 | 0.000986193 | 359 | 0.000005173 | 692 | 0.000001392 |
| 27 | 0.000914495 | 360 | 0.000005144 | 693 | 0.000001388 |
| 28 | 0.000850340 | 361 | 0.000005116 | 694 | 0.000001384 |
| 29 | 0.000792707 | 362 | 0.000005087 | 695 | 0.000001380 |
| 30 | 0.000740741 | 363 | 0.000005059 | 696 | 0.000001376 |
| 31 | 0.000693722 | 364 | 0.000005032 | 697 | 0.000001372 |
| 32 | 0.000651042 | 365 | 0.000005004 | 698 | 0.000001368 |
| 33 | 0.000612182 | 366 | 0.000004977 | 699 | 0.000001364 |
| 34 | 0.000576701 | 367 | 0.000004950 | 700 | 0.000001361 |
| 35 | 0.000544218 | 368 | 0.000004923 | 701 | 0.000001357 |
| 36 | 0.000514403 | 369 | 0.000004896 | 702 | 0.000001353 |
| 37 | 0.000486973 | 370 | 0.000004870 | 703 | 0.000001349 |
| 38 | 0.000461681 | 371 | 0.000004844 | 704 | 0.000001345 |
| 39 | 0.000438308 | 372 | 0.000004818 | 705 | 0.000001341 |
| 40 | 0.000416667 | 373 | 0.000004792 | 706 | 0.000001338 |
| 41 | 0.000396589 | 374 | 0.000004766 | 707 | 0.000001334 |
| 42 | 0.000377929 | 375 | 0.000004741 | 708 | 0.000001330 |
| 43 | 0.000360555 | 376 | 0.000004716 | 709 | 0.000001326 |
| 44 | 0.000344353 | 377 | 0.000004691 | 710 | 0.000001322 |
| 45 | 0.000329218 | 378 | 0.000004666 | 711 | 0.000001319 |

| Aridad | Probabilidad | Aridad | Probabilidad | Aridad | Probabilidad |
|--------|--------------|--------|--------------|--------|--------------|
| 46 | 0.000315060 | 379 | 0.000004641 | 712 | 0.000001315 |
| 47 | 0.000301796 | 380 | 0.000004617 | 713 | 0.000001311 |
| 48 | 0.000289352 | 381 | 0.000004593 | 714 | 0.000001308 |
| 49 | 0.000277662 | 382 | 0.000004569 | 715 | 0.000001304 |
| 50 | 0.000266667 | 383 | 0.000004545 | 716 | 0.000001300 |
| 51 | 0.000256312 | 384 | 0.000004521 | 717 | 0.000001297 |
| 52 | 0.000246548 | 385 | 0.000004498 | 718 | 0.000001293 |
| 53 | 0.000237332 | 386 | 0.000004474 | 719 | 0.000001290 |
| 54 | 0.000228624 | 387 | 0.000004451 | 720 | 0.000001286 |
| 55 | 0.000220386 | 388 | 0.000004428 | 721 | 0.000001282 |
| 56 | 0.000212585 | 389 | 0.000004406 | 722 | 0.000001279 |
| 57 | 0.000205191 | 390 | 0.000004383 | 723 | 0.000001275 |
| 58 | 0.000198177 | 391 | 0.000004361 | 724 | 0.000001272 |
| 59 | 0.000191516 | 392 | 0.000004338 | 725 | 0.000001268 |
| 60 | 0.000185185 | 393 | 0.000004316 | 726 | 0.000001265 |
| 61 | 0.000179163 | 394 | 0.000004295 | 727 | 0.000001261 |
| 62 | 0.000173430 | 395 | 0.000004273 | 728 | 0.000001258 |
| 63 | 0.000167968 | 396 | 0.000004251 | 729 | 0.000001254 |
| 64 | 0.000162760 | 397 | 0.000004230 | 730 | 0.000001251 |
| 65 | 0.000157791 | 398 | 0.000004209 | 731 | 0.000001248 |
| 66 | 0.000153046 | 399 | 0.000004188 | 732 | 0.000001244 |
| 67 | 0.000148511 | 400 | 0.000004167 | 733 | 0.000001241 |
| 68 | 0.000144175 | 401 | 0.000004146 | 734 | 0.000001237 |
| 69 | 0.000140027 | 402 | 0.000004125 | 735 | 0.000001234 |
| 70 | 0.000136054 | 403 | 0.000004105 | 736 | 0.000001231 |
| 71 | 0.000132249 | 404 | 0.000004085 | 737 | 0.000001227 |
| 72 | 0.000128601 | 405 | 0.000004064 | 738 | 0.000001224 |
| 73 | 0.000125102 | 406 | 0.000004044 | 739 | 0.000001221 |
| 74 | 0.000121743 | 407 | 0.000004025 | 740 | 0.000001217 |
| 75 | 0.000118519 | 408 | 0.000004005 | 741 | 0.000001214 |
| 76 | 0.000115420 | 409 | 0.000003985 | 742 | 0.000001211 |
| 77 | 0.000112442 | 410 | 0.000003966 | 743 | 0.000001208 |

| Aridad | Probabilidad | Aridad | Probabilidad | Aridad | Probabilidad |
|--------|--------------|--------|--------------|--------|--------------|
| 78 | 0.000109577 | 411 | 0.000003947 | 744 | 0.000001204 |
| 79 | 0.000106820 | 412 | 0.000003927 | 745 | 0.000001201 |
| 80 | 0.000104167 | 413 | 0.000003908 | 746 | 0.000001198 |
| 81 | 0.000101611 | 414 | 0.000003890 | 747 | 0.000001195 |
| 82 | 0.000099147 | 415 | 0.000003871 | 748 | 0.000001192 |
| 83 | 0.000096773 | 416 | 0.000003852 | 749 | 0.000001188 |
| 84 | 0.000094482 | 417 | 0.000003834 | 750 | 0.000001185 |
| 85 | 0.000092272 | 418 | 0.000003816 | 751 | 0.000001182 |
| 86 | 0.000090139 | 419 | 0.000003797 | 752 | 0.000001179 |
| 87 | 0.000088079 | 420 | 0.000003779 | 753 | 0.000001176 |
| 88 | 0.000086088 | 421 | 0.000003761 | 754 | 0.000001173 |
| 89 | 0.000084164 | 422 | 0.000003744 | 755 | 0.000001170 |
| 90 | 0.000082305 | 423 | 0.000003726 | 756 | 0.000001166 |
| 91 | 0.000080506 | 424 | 0.000003708 | 757 | 0.000001163 |
| 92 | 0.000078765 | 425 | 0.000003691 | 758 | 0.000001160 |
| 93 | 0.000077080 | 426 | 0.000003674 | 759 | 0.000001157 |
| 94 | 0.000075449 | 427 | 0.000003656 | 760 | 0.000001154 |
| 95 | 0.000073869 | 428 | 0.000003639 | 761 | 0.000001151 |
| 96 | 0.000072338 | 429 | 0.000003622 | 762 | 0.000001148 |
| 97 | 0.000070854 | 430 | 0.000003606 | 763 | 0.000001145 |
| 98 | 0.000069416 | 431 | 0.000003589 | 764 | 0.000001142 |
| 99 | 0.000068020 | 432 | 0.000003572 | 765 | 0.000001139 |
| 100 | 0.000066667 | 433 | 0.000003556 | 766 | 0.000001136 |
| 101 | 0.000065353 | 434 | 0.000003539 | 767 | 0.000001133 |
| 102 | 0.000064078 | 435 | 0.000003523 | 768 | 0.000001130 |
| 103 | 0.000062840 | 436 | 0.000003507 | 769 | 0.000001127 |
| 104 | 0.000061637 | 437 | 0.000003491 | 770 | 0.000001124 |
| 105 | 0.000060469 | 438 | 0.000003475 | 771 | 0.000001122 |
| 106 | 0.000059333 | 439 | 0.000003459 | 772 | 0.000001119 |
| 107 | 0.000058229 | 440 | 0.000003444 | 773 | 0.000001116 |
| 108 | 0.000057156 | 441 | 0.000003428 | 774 | 0.000001113 |
| 109 | 0.000056112 | 442 | 0.000003412 | 775 | 0.000001110 |

| Aridad | Probabilidad | Aridad | Probabilidad | Aridad | Probabilidad |
|--------|--------------|--------|--------------|--------|--------------|
| 110 | 0.000055096 | 443 | 0.000003397 | 776 | 0.000001107 |
| 111 | 0.000054108 | 444 | 0.000003382 | 777 | 0.000001104 |
| 112 | 0.000053146 | 445 | 0.000003367 | 778 | 0.000001101 |
| 113 | 0.000052210 | 446 | 0.000003351 | 779 | 0.000001099 |
| 114 | 0.000051298 | 447 | 0.000003337 | 780 | 0.000001096 |
| 115 | 0.000050410 | 448 | 0.000003322 | 781 | 0.000001093 |
| 116 | 0.000049544 | 449 | 0.000003307 | 782 | 0.000001090 |
| 117 | 0.000048701 | 450 | 0.000003292 | 783 | 0.000001087 |
| 118 | 0.000047879 | 451 | 0.000003278 | 784 | 0.000001085 |
| 119 | 0.000047078 | 452 | 0.000003263 | 785 | 0.000001082 |
| 120 | 0.000046296 | 453 | 0.000003249 | 786 | 0.000001079 |
| 121 | 0.000045534 | 454 | 0.000003234 | 787 | 0.000001076 |
| 122 | 0.000044791 | 455 | 0.000003220 | 788 | 0.000001074 |
| 123 | 0.000044065 | 456 | 0.000003206 | 789 | 0.000001071 |
| 124 | 0.000043358 | 457 | 0.000003192 | 790 | 0.000001068 |
| 125 | 0.000042667 | 458 | 0.000003178 | 791 | 0.000001066 |
| 126 | 0.000041992 | 459 | 0.000003164 | 792 | 0.000001063 |
| 127 | 0.000041333 | 460 | 0.000003151 | 793 | 0.000001060 |
| 128 | 0.000040690 | 461 | 0.000003137 | 794 | 0.000001057 |
| 129 | 0.000040062 | 462 | 0.000003123 | 795 | 0.000001055 |
| 130 | 0.000039448 | 463 | 0.000003110 | 796 | 0.000001052 |
| 131 | 0.000038848 | 464 | 0.000003097 | 797 | 0.000001050 |
| 132 | 0.000038261 | 465 | 0.000003083 | 798 | 0.000001047 |
| 133 | 0.000037688 | 466 | 0.000003070 | 799 | 0.000001044 |
| 134 | 0.000037128 | 467 | 0.000003057 | 800 | 0.000001042 |
| 135 | 0.000036580 | 468 | 0.000003044 | 801 | 0.000001039 |
| 136 | 0.000036044 | 469 | 0.000003031 | 802 | 0.000001036 |
| 137 | 0.000035520 | 470 | 0.000003018 | 803 | 0.000001034 |
| 138 | 0.000035007 | 471 | 0.000003005 | 804 | 0.000001031 |
| 139 | 0.000034505 | 472 | 0.000002992 | 805 | 0.000001029 |
| 140 | 0.000034014 | 473 | 0.000002980 | 806 | 0.000001026 |
| 141 | 0.000033533 | 474 | 0.000002967 | 807 | 0.000001024 |

| Aridad | Probabilidad | Aridad | Probabilidad | Aridad | Probabilidad |
|--------|--------------|--------|--------------|--------|--------------|
| 142 | 0.000033062 | 475 | 0.000002955 | 808 | 0.000001021 |
| 143 | 0.000032601 | 476 | 0.000002942 | 809 | 0.000001019 |
| 144 | 0.000032150 | 477 | 0.000002930 | 810 | 0.000001016 |
| 145 | 0.000031708 | 478 | 0.000002918 | 811 | 0.000001014 |
| 146 | 0.000031275 | 479 | 0.000002906 | 812 | 0.000001011 |
| 147 | 0.000030851 | 480 | 0.000002894 | 813 | 0.000001009 |
| 148 | 0.000030436 | 481 | 0.000002881 | 814 | 0.000001006 |
| 149 | 0.000030029 | 482 | 0.000002870 | 815 | 0.000001004 |
| 150 | 0.000029630 | 483 | 0.000002858 | 816 | 0.000001001 |
| 151 | 0.000029238 | 484 | 0.000002846 | 817 | 0.000000999 |
| 152 | 0.000028855 | 485 | 0.000002834 | 818 | 0.000000996 |
| 153 | 0.000028479 | 486 | 0.000002823 | 819 | 0.000000994 |
| 154 | 0.000028110 | 487 | 0.000002811 | 820 | 0.000000991 |
| 155 | 0.000027749 | 488 | 0.000002799 | 821 | 0.000000989 |
| 156 | 0.000027394 | 489 | 0.000002788 | 822 | 0.000000987 |
| 157 | 0.000027046 | 490 | 0.000002777 | 823 | 0.000000984 |
| 158 | 0.000026705 | 491 | 0.000002765 | 824 | 0.000000982 |
| 159 | 0.000026370 | 492 | 0.000002754 | 825 | 0.000000979 |
| 160 | 0.000026042 | 493 | 0.000002743 | 826 | 0.000000977 |
| 161 | 0.000025719 | 494 | 0.000002732 | 827 | 0.000000975 |
| 162 | 0.000025403 | 495 | 0.000002721 | 828 | 0.000000972 |
| 163 | 0.000025092 | 496 | 0.000002710 | 829 | 0.000000970 |
| 164 | 0.000024787 | 497 | 0.000002699 | 830 | 0.000000968 |
| 165 | 0.000024487 | 498 | 0.000002688 | 831 | 0.000000965 |
| 166 | 0.000024193 | 499 | 0.000002677 | 832 | 0.000000963 |
| 167 | 0.000023904 | 500 | 0.000002667 | 833 | 0.000000961 |
| 168 | 0.000023621 | 501 | 0.000002656 | 834 | 0.000000958 |
| 169 | 0.000023342 | 502 | 0.000002645 | 835 | 0.000000956 |
| 170 | 0.000023068 | 503 | 0.000002635 | 836 | 0.000000954 |
| 171 | 0.000022799 | 504 | 0.000002625 | 837 | 0.000000952 |
| 172 | 0.000022535 | 505 | 0.000002614 | 838 | 0.000000949 |
| 173 | 0.000022275 | 506 | 0.000002604 | 839 | 0.000000947 |

| Aridad | Probabilidad | Aridad | Probabilidad | Aridad | Probabilidad |
|--------|--------------|--------|--------------|--------|--------------|
| 174 | 0.000022020 | 507 | 0.000002594 | 840 | 0.000000945 |
| 175 | 0.000021769 | 508 | 0.000002583 | 841 | 0.000000943 |
| 176 | 0.000021522 | 509 | 0.000002573 | 842 | 0.000000940 |
| 177 | 0.000021280 | 510 | 0.000002563 | 843 | 0.000000938 |
| 178 | 0.000021041 | 511 | 0.000002553 | 844 | 0.000000936 |
| 179 | 0.000020807 | 512 | 0.000002543 | 845 | 0.000000934 |
| 180 | 0.000020576 | 513 | 0.000002533 | 846 | 0.000000931 |
| 181 | 0.000020349 | 514 | 0.000002523 | 847 | 0.000000929 |
| 182 | 0.000020126 | 515 | 0.000002514 | 848 | 0.000000927 |
| 183 | 0.000019907 | 516 | 0.000002504 | 849 | 0.000000925 |
| 184 | 0.000019691 | 517 | 0.000002494 | 850 | 0.000000923 |
| 185 | 0.000019479 | 518 | 0.000002485 | 851 | 0.000000921 |
| 186 | 0.000019270 | 519 | 0.000002475 | 852 | 0.000000918 |
| 187 | 0.000019065 | 520 | 0.000002465 | 853 | 0.000000916 |
| 188 | 0.000018862 | 521 | 0.000002456 | 854 | 0.000000914 |
| 189 | 0.000018663 | 522 | 0.000002447 | 855 | 0.000000912 |
| 190 | 0.000018467 | 523 | 0.000002437 | 856 | 0.000000910 |
| 191 | 0.000018274 | 524 | 0.000002428 | 857 | 0.000000908 |
| 192 | 0.000018084 | 525 | 0.000002419 | 858 | 0.000000906 |
| 193 | 0.000017898 | 526 | 0.000002410 | 859 | 0.000000903 |
| 194 | 0.000017714 | 527 | 0.000002400 | 860 | 0.000000901 |
| 195 | 0.000017532 | 528 | 0.000002391 | 861 | 0.000000899 |
| 196 | 0.000017354 | 529 | 0.000002382 | 862 | 0.000000897 |
| 197 | 0.000017178 | 530 | 0.000002373 | 863 | 0.000000895 |
| 198 | 0.000017005 | 531 | 0.000002364 | 864 | 0.000000893 |
| 199 | 0.000016835 | 532 | 0.000002356 | 865 | 0.000000891 |
| 200 | 0.000016667 | 533 | 0.000002347 | 866 | 0.000000889 |
| 201 | 0.000016501 | 534 | 0.000002338 | 867 | 0.000000887 |
| 202 | 0.000016338 | 535 | 0.000002329 | 868 | 0.000000885 |
| 203 | 0.000016178 | 536 | 0.000002320 | 869 | 0.000000883 |
| 204 | 0.000016019 | 537 | 0.000002312 | 870 | 0.000000881 |
| 205 | 0.000015864 | 538 | 0.000002303 | 871 | 0.000000879 |

| Aridad | Probabilidad | Aridad | Probabilidad | Aridad | Probabilidad |
|--------|--------------|--------|--------------|--------|--------------|
| 206 | 0.000015710 | 539 | 0.000002295 | 872 | 0.000000877 |
| 207 | 0.000015559 | 540 | 0.000002286 | 873 | 0.000000875 |
| 208 | 0.000015409 | 541 | 0.000002278 | 874 | 0.000000873 |
| 209 | 0.000015262 | 542 | 0.000002269 | 875 | 0.000000871 |
| 210 | 0.000015117 | 543 | 0.000002261 | 876 | 0.000000869 |
| 211 | 0.000014974 | 544 | 0.000002253 | 877 | 0.000000867 |
| 212 | 0.000014833 | 545 | 0.000002244 | 878 | 0.000000865 |
| 213 | 0.000014694 | 546 | 0.000002236 | 879 | 0.000000863 |
| 214 | 0.000014557 | 547 | 0.000002228 | 880 | 0.000000861 |
| 215 | 0.000014422 | 548 | 0.000002220 | 881 | 0.000000859 |
| 216 | 0.000014289 | 549 | 0.000002212 | 882 | 0.000000857 |
| 217 | 0.000014158 | 550 | 0.000002204 | 883 | 0.000000855 |
| 218 | 0.000014028 | 551 | 0.000002196 | 884 | 0.000000853 |
| 219 | 0.000013900 | 552 | 0.000002188 | 885 | 0.000000851 |
| 220 | 0.000013774 | 553 | 0.000002180 | 886 | 0.000000849 |
| 221 | 0.000013650 | 554 | 0.000002172 | 887 | 0.000000847 |
| 222 | 0.000013527 | 555 | 0.000002164 | 888 | 0.000000845 |
| 223 | 0.000013406 | 556 | 0.000002157 | 889 | 0.000000844 |
| 224 | 0.000013287 | 557 | 0.000002149 | 890 | 0.000000842 |
| 225 | 0.000013169 | 558 | 0.000002141 | 891 | 0.000000840 |
| 226 | 0.000013052 | 559 | 0.000002133 | 892 | 0.000000838 |
| 227 | 0.000012938 | 560 | 0.000002126 | 893 | 0.000000836 |
| 228 | 0.000012824 | 561 | 0.000002118 | 894 | 0.000000834 |
| 229 | 0.000012713 | 562 | 0.000002111 | 895 | 0.000000832 |
| 230 | 0.000012602 | 563 | 0.000002103 | 896 | 0.000000830 |
| 231 | 0.000012494 | 564 | 0.000002096 | 897 | 0.000000829 |
| 232 | 0.000012386 | 565 | 0.000002088 | 898 | 0.000000827 |
| 233 | 0.000012280 | 566 | 0.000002081 | 899 | 0.000000825 |
| 234 | 0.000012175 | 567 | 0.000002074 | 900 | 0.000000823 |
| 235 | 0.000012072 | 568 | 0.000002066 | 901 | 0.000000821 |
| 236 | 0.000011970 | 569 | 0.000002059 | 902 | 0.000000819 |
| 237 | 0.000011869 | 570 | 0.000002052 | 903 | 0.000000818 |

| Aridad | Probabilidad | Aridad | Probabilidad | Aridad | Probabilidad |
|--------|--------------|--------|--------------|--------|--------------|
| 238 | 0.000011769 | 571 | 0.000002045 | 904 | 0.000000816 |
| 239 | 0.000011671 | 572 | 0.000002038 | 905 | 0.000000814 |
| 240 | 0.000011574 | 573 | 0.000002030 | 906 | 0.000000812 |
| 241 | 0.000011478 | 574 | 0.000002023 | 907 | 0.000000810 |
| 242 | 0.000011384 | 575 | 0.000002016 | 908 | 0.000000809 |
| 243 | 0.000011290 | 576 | 0.000002009 | 909 | 0.000000807 |
| 244 | 0.000011198 | 577 | 0.000002002 | 910 | 0.000000805 |
| 245 | 0.000011106 | 578 | 0.000001996 | 911 | 0.000000803 |
| 246 | 0.000011016 | 579 | 0.000001989 | 912 | 0.000000802 |
| 247 | 0.000010927 | 580 | 0.000001982 | 913 | 0.000000800 |
| 248 | 0.000010839 | 581 | 0.000001975 | 914 | 0.000000798 |
| 249 | 0.000010753 | 582 | 0.000001968 | 915 | 0.000000796 |
| 250 | 0.000010667 | 583 | 0.000001961 | 916 | 0.000000795 |
| 251 | 0.000010582 | 584 | 0.000001955 | 917 | 0.000000793 |
| 252 | 0.000010498 | 585 | 0.000001948 | 918 | 0.000000791 |
| 253 | 0.000010415 | 586 | 0.000001941 | 919 | 0.000000789 |
| 254 | 0.000010333 | 587 | 0.000001935 | 920 | 0.000000788 |
| 255 | 0.000010252 | 588 | 0.000001928 | 921 | 0.000000786 |
| 256 | 0.000010173 | 589 | 0.000001922 | 922 | 0.000000784 |
| 257 | 0.000010094 | 590 | 0.000001915 | 923 | 0.000000783 |
| 258 | 0.000010015 | 591 | 0.000001909 | 924 | 0.000000781 |
| 259 | 0.000009938 | 592 | 0.000001902 | 925 | 0.000000779 |
| 260 | 0.000009862 | 593 | 0.000001896 | 926 | 0.000000777 |
| 261 | 0.000009787 | 594 | 0.000001889 | 927 | 0.000000776 |
| 262 | 0.000009712 | 595 | 0.000001883 | 928 | 0.000000774 |
| 263 | 0.000009638 | 596 | 0.000001877 | 929 | 0.000000772 |
| 264 | 0.000009565 | 597 | 0.000001871 | 930 | 0.000000771 |
| 265 | 0.000009493 | 598 | 0.000001864 | 931 | 0.000000769 |
| 266 | 0.000009422 | 599 | 0.000001858 | 932 | 0.000000767 |
| 267 | 0.000009352 | 600 | 0.000001852 | 933 | 0.000000766 |
| 268 | 0.000009282 | 601 | 0.000001846 | 934 | 0.000000764 |
| 269 | 0.000009213 | 602 | 0.000001840 | 935 | 0.000000763 |

| Aridad | Probabilidad | Aridad | Probabilidad | Aridad | Probabilidad |
|--------|--------------|--------|--------------|--------|--------------|
| 270 | 0.000009145 | 603 | 0.000001833 | 936 | 0.000000761 |
| 271 | 0.000009078 | 604 | 0.000001827 | 937 | 0.000000759 |
| 272 | 0.000009011 | 605 | 0.000001821 | 938 | 0.000000758 |
| 273 | 0.000008945 | 606 | 0.000001815 | 939 | 0.000000756 |
| 274 | 0.000008880 | 607 | 0.000001809 | 940 | 0.000000754 |
| 275 | 0.000008815 | 608 | 0.000001803 | 941 | 0.000000753 |
| 276 | 0.000008752 | 609 | 0.000001798 | 942 | 0.000000751 |
| 277 | 0.000008689 | 610 | 0.000001792 | 943 | 0.000000750 |
| 278 | 0.000008626 | 611 | 0.000001786 | 944 | 0.000000748 |
| 279 | 0.000008564 | 612 | 0.000001780 | 945 | 0.000000747 |
| 280 | 0.000008503 | 613 | 0.000001774 | 946 | 0.000000745 |
| 281 | 0.000008443 | 614 | 0.000001768 | 947 | 0.000000743 |
| 282 | 0.000008383 | 615 | 0.000001763 | 948 | 0.000000742 |
| 283 | 0.000008324 | 616 | 0.000001757 | 949 | 0.000000740 |
| 284 | 0.000008266 | 617 | 0.000001751 | 950 | 0.000000739 |
| 285 | 0.000008208 | 618 | 0.000001746 | 951 | 0.000000737 |
| 286 | 0.000008150 | 619 | 0.000001740 | 952 | 0.000000736 |
| 287 | 0.000008094 | 620 | 0.000001734 | 953 | 0.000000734 |
| 288 | 0.000008038 | 621 | 0.000001729 | 954 | 0.000000733 |
| 289 | 0.000007982 | 622 | 0.000001723 | 955 | 0.000000731 |
| 290 | 0.000007927 | 623 | 0.000001718 | 956 | 0.000000729 |
| 291 | 0.000007873 | 624 | 0.000001712 | 957 | 0.000000728 |
| 292 | 0.000007819 | 625 | 0.000001707 | 958 | 0.000000726 |
| 293 | 0.000007766 | 626 | 0.000001701 | 959 | 0.000000725 |
| 294 | 0.000007713 | 627 | 0.000001696 | 960 | 0.000000723 |
| 295 | 0.000007661 | 628 | 0.000001690 | 961 | 0.000000722 |
| 296 | 0.000007609 | 629 | 0.000001685 | 962 | 0.000000720 |
| 297 | 0.000007558 | 630 | 0.000001680 | 963 | 0.000000719 |
| 298 | 0.000007507 | 631 | 0.000001674 | 964 | 0.000000717 |
| 299 | 0.000007457 | 632 | 0.000001669 | 965 | 0.000000716 |
| 300 | 0.000007407 | 633 | 0.000001664 | 966 | 0.000000714 |
| 301 | 0.000007358 | 634 | 0.000001659 | 967 | 0.000000713 |

| Aridad | Probabilidad | Aridad | Probabilidad | Aridad | Probabilidad |
|--------|--------------|--------|--------------|--------|--------------|
| 302 | 0.000007310 | 635 | 0.000001653 | 968 | 0.000000711 |
| 303 | 0.000007261 | 636 | 0.000001648 | 969 | 0.000000710 |
| 304 | 0.000007214 | 637 | 0.000001643 | 970 | 0.000000709 |
| 305 | 0.000007167 | 638 | 0.000001638 | 971 | 0.000000707 |
| 306 | 0.000007120 | 639 | 0.000001633 | 972 | 0.000000706 |
| 307 | 0.000007073 | 640 | 0.000001628 | 973 | 0.000000704 |
| 308 | 0.000007028 | 641 | 0.000001623 | 974 | 0.000000703 |
| 309 | 0.000006982 | 642 | 0.000001617 | 975 | 0.000000701 |
| 310 | 0.000006937 | 643 | 0.000001612 | 976 | 0.000000700 |
| 311 | 0.000006893 | 644 | 0.000001607 | 977 | 0.000000698 |
| 312 | 0.000006849 | 645 | 0.000001602 | 978 | 0.000000697 |
| 313 | 0.000006805 | 646 | 0.000001598 | 979 | 0.000000696 |
| 314 | 0.000006762 | 647 | 0.000001593 | 980 | 0.000000694 |
| 315 | 0.000006719 | 648 | 0.000001588 | 981 | 0.000000693 |
| 316 | 0.000006676 | 649 | 0.000001583 | 982 | 0.000000691 |
| 317 | 0.000006634 | 650 | 0.000001578 | 983 | 0.000000690 |
| 318 | 0.000006593 | 651 | 0.000001573 | 984 | 0.000000689 |
| 319 | 0.000006551 | 652 | 0.000001568 | 985 | 0.000000687 |
| 320 | 0.000006510 | 653 | 0.000001563 | 986 | 0.000000686 |
| 321 | 0.000006470 | 654 | 0.000001559 | 987 | 0.000000684 |
| 322 | 0.000006430 | 655 | 0.000001554 | 988 | 0.000000683 |
| 323 | 0.000006390 | 656 | 0.000001549 | 989 | 0.000000682 |
| 324 | 0.000006351 | 657 | 0.000001544 | 990 | 0.000000680 |
| 325 | 0.000006312 | 658 | 0.000001540 | 991 | 0.000000679 |
| 326 | 0.000006273 | 659 | 0.000001535 | 992 | 0.000000677 |
| 327 | 0.000006235 | 660 | 0.000001530 | 993 | 0.000000676 |
| 328 | 0.000006197 | 661 | 0.000001526 | 994 | 0.000000675 |
| 329 | 0.000006159 | 662 | 0.000001521 | 995 | 0.000000673 |
| 330 | 0.000006122 | 663 | 0.000001517 | 996 | 0.000000672 |
| 331 | 0.000006085 | 664 | 0.000001512 | 997 | 0.000000671 |
| 332 | 0.000006048 | 665 | 0.000001508 | 998 | 0.000000669 |
| 333 | 0.000006012 | 666 | 0.000001503 | 999 | 0.000000668 |

A.2. Experimento para la Aridad Máxima

En esta sección de Anexos se presentan las tablas con los datos asociadas al experimento que determina la aridad máxima.

A.2.1. Aridades Máximas Clasificadas por Tamaño del Grafo.

Cuadro A.2: Aridades máximas registradas para un grafo de 1 000 nodos.

| τ | 1 | 2 | 3 | 4 | 5 | 6 | 7 | 8 | 9 | 10 | Promedio |
|--------|-----|-----|-----|-----|-----|-----|-----|-----|-----|-----|----------|
| 1.92 | 529 | 488 | 539 | 554 | 528 | 562 | 524 | 516 | 525 | 522 | 528.7 |
| 1.93 | 538 | 528 | 514 | 545 | 516 | 502 | 501 | 515 | 510 | 477 | 514.6 |
| 1.94 | 486 | 527 | 545 | 511 | 490 | 510 | 515 | 526 | 466 | 529 | 510.5 |
| 1.95 | 509 | 470 | 479 | 513 | 477 | 486 | 472 | 518 | 535 | 479 | 493.8 |
| 1.96 | 422 | 483 | 453 | 461 | 477 | 472 | 465 | 487 | 497 | 491 | 470.8 |
| 1.97 | 419 | 455 | 450 | 444 | 430 | 442 | 474 | 435 | 461 | 453 | 446.3 |
| 1.98 | 436 | 472 | 479 | 439 | 452 | 467 | 490 | 474 | 452 | 477 | 463.8 |
| 1.99 | 454 | 431 | 429 | 403 | 408 | 419 | 422 | 425 | 426 | 446 | 426.3 |
| 2.00 | 411 | 407 | 416 | 421 | 447 | 432 | 408 | 416 | 414 | 423 | 419.5 |
| 2.01 | 410 | 405 | 418 | 430 | 421 | 393 | 394 | 401 | 410 | 400 | 408.2 |
| 2.02 | 404 | 403 | 396 | 399 | 400 | 408 | 361 | 375 | 391 | 410 | 394.7 |
| 2.03 | 391 | 392 | 403 | 405 | 362 | 391 | 405 | 397 | 410 | 419 | 397.5 |
| 2.04 | 362 | 387 | 362 | 359 | 371 | 370 | 357 | 374 | 388 | 353 | 368.3 |
| 2.05 | 387 | 375 | 367 | 376 | 328 | 345 | 386 | 362 | 382 | 371 | 367.9 |
| 2.06 | 354 | 339 | 360 | 373 | 356 | 329 | 353 | 348 | 340 | 364 | 351.6 |
| 2.07 | 337 | 356 | 321 | 345 | 373 | 359 | 311 | 372 | 371 | 351 | 349.6 |
| 2.08 | 316 | 346 | 337 | 357 | 327 | 337 | 353 | 353 | 327 | 342 | 339.5 |
| 2.09 | 342 | 351 | 322 | 328 | 316 | 338 | 330 | 303 | 306 | 341 | 327.7 |
| 2.10 | 309 | 350 | 327 | 341 | 307 | 328 | 341 | 327 | 313 | 332 | 327.5 |
| 2.11 | 295 | 344 | 256 | 296 | 289 | 338 | 302 | 308 | 316 | 305 | 304.9 |
| 2.12 | 283 | 353 | 302 | 318 | 319 | 294 | 319 | 294 | 300 | 340 | 312.2 |
| 2.13 | 307 | 325 | 293 | 312 | 292 | 313 | 282 | 321 | 282 | 295 | 302.2 |
| 2.14 | 310 | 281 | 279 | 263 | 309 | 297 | 317 | 298 | 304 | 283 | 294.1 |

| | | | | | | | | | | | |
|------|-----|-----|-----|-----|-----|-----|-----|-----|-----|-----|-------|
| 2.15 | 277 | 284 | 287 | 289 | 269 | 289 | 291 | 287 | 264 | 316 | 285.3 |
| 2.16 | 300 | 236 | 273 | 262 | 269 | 280 | 309 | 277 | 270 | 264 | 274 |
| 2.17 | 280 | 291 | 273 | 279 | 265 | 265 | 250 | 262 | 272 | 269 | 270.6 |
| 2.18 | 273 | 282 | 260 | 260 | 266 | 254 | 281 | 280 | 237 | 256 | 264.9 |
| 2.19 | 256 | 257 | 259 | 272 | 265 | 258 | 252 | 289 | 264 | 264 | 263.6 |
| 2.20 | 283 | 216 | 266 | 256 | 246 | 255 | 270 | 252 | 268 | 256 | 256.8 |
| 2.21 | 236 | 246 | 236 | 250 | 240 | 248 | 251 | 273 | 236 | 254 | 247 |
| 2.22 | 259 | 245 | 206 | 243 | 214 | 226 | 248 | 235 | 238 | 247 | 236.1 |
| 2.23 | 250 | 247 | 245 | 235 | 254 | 277 | 223 | 242 | 226 | 211 | 241 |
| 2.24 | 252 | 231 | 210 | 222 | 218 | 213 | 248 | 251 | 245 | 249 | 233.9 |
| 2.25 | 218 | 241 | 234 | 213 | 238 | 246 | 248 | 229 | 221 | 235 | 232.3 |
| 2.26 | 212 | 201 | 234 | 250 | 225 | 246 | 228 | 228 | 217 | 215 | 225.6 |
| 2.27 | 229 | 226 | 249 | 243 | 217 | 229 | 229 | 217 | 211 | 247 | 229.7 |
| 2.28 | 214 | 217 | 230 | 241 | 202 | 215 | 209 | 221 | 225 | 184 | 215.8 |
| 2.29 | 223 | 186 | 229 | 181 | 207 | 213 | 201 | 200 | 230 | 228 | 209.8 |
| 2.30 | 224 | 206 | 220 | 190 | 212 | 233 | 198 | 204 | 199 | 198 | 208.4 |
| 2.31 | 211 | 203 | 192 | 221 | 207 | 178 | 209 | 212 | 203 | 235 | 207.1 |
| 2.32 | 206 | 208 | 198 | 215 | 214 | 193 | 215 | 207 | 187 | 212 | 205.5 |
| 2.33 | 210 | 180 | 210 | 193 | 211 | 201 | 177 | 191 | 201 | 197 | 197.1 |
| 2.34 | 189 | 173 | 199 | 186 | 171 | 195 | 181 | 180 | 175 | 178 | 182.7 |
| 2.35 | 165 | 177 | 194 | 192 | 218 | 195 | 178 | 180 | 164 | 200 | 186.3 |
| 2.36 | 199 | 173 | 191 | 214 | 183 | 186 | 181 | 183 | 190 | 216 | 191.6 |
| 2.37 | 200 | 180 | 198 | 201 | 186 | 181 | 196 | 168 | 178 | 179 | 186.7 |
| 2.38 | 195 | 171 | 187 | 162 | 183 | 165 | 194 | 179 | 187 | 185 | 180.8 |
| 2.39 | 189 | 192 | 192 | 188 | 177 | 156 | 165 | 198 | 188 | 169 | 181.4 |
| 2.40 | 171 | 166 | 171 | 186 | 164 | 199 | 176 | 200 | 172 | 175 | 178 |
| 2.41 | 182 | 156 | 177 | 177 | 162 | 180 | 170 | 170 | 153 | 180 | 170.7 |
| 2.42 | 156 | 180 | 174 | 168 | 170 | 173 | 192 | 171 | 178 | 165 | 172.7 |
| 2.43 | 144 | 189 | 146 | 147 | 173 | 170 | 168 | 154 | 167 | 177 | 163.5 |
| 2.44 | 175 | 162 | 190 | 158 | 166 | 182 | 172 | 141 | 198 | 172 | 171.6 |
| 2.45 | 185 | 165 | 149 | 169 | 172 | 149 | 166 | 174 | 144 | 178 | 165.1 |
| 2.46 | 167 | 156 | 180 | 155 | 155 | 169 | 182 | 168 | 167 | 157 | 165.6 |

| | | | | | | | | | | | |
|------|-----|-----|-----|-----|-----|-----|-----|-----|-----|-----|-------|
| 2.47 | 146 | 141 | 152 | 157 | 182 | 156 | 148 | 163 | 141 | 158 | 154.4 |
| 2.48 | 148 | 145 | 146 | 159 | 145 | 151 | 123 | 138 | 163 | 160 | 147.8 |
| 2.49 | 161 | 158 | 179 | 141 | 162 | 141 | 151 | 164 | 150 | 158 | 156.5 |
| 2.50 | 134 | 153 | 148 | 142 | 151 | 146 | 159 | 131 | 137 | 139 | 144 |
| 2.51 | 147 | 133 | 172 | 149 | 149 | 139 | 148 | 136 | 147 | 136 | 145.6 |
| 2.52 | 146 | 132 | 172 | 143 | 153 | 145 | 147 | 139 | 141 | 147 | 146.5 |
| 2.53 | 131 | 136 | 142 | 150 | 140 | 147 | 172 | 135 | 159 | 155 | 146.7 |
| 2.54 | 158 | 150 | 138 | 158 | 141 | 161 | 139 | 145 | 118 | 143 | 145.1 |
| 2.55 | 137 | 148 | 127 | 158 | 145 | 152 | 153 | 149 | 134 | 149 | 145.2 |
| 2.56 | 145 | 138 | 142 | 137 | 137 | 136 | 135 | 139 | 149 | 134 | 139.2 |
| 2.57 | 144 | 125 | 139 | 130 | 139 | 141 | 156 | 131 | 116 | 123 | 134.4 |
| 2.58 | 126 | 129 | 130 | 128 | 129 | 125 | 137 | 139 | 141 | 138 | 132.2 |
| 2.59 | 125 | 154 | 140 | 136 | 119 | 117 | 146 | 124 | 131 | 125 | 131.7 |
| 2.60 | 117 | 118 | 126 | 158 | 139 | 138 | 135 | 140 | 116 | 130 | 131.7 |
| 2.61 | 131 | 117 | 119 | 131 | 126 | 151 | 157 | 139 | 139 | 139 | 134.9 |
| 2.62 | 131 | 123 | 151 | 116 | 139 | 125 | 139 | 138 | 145 | 121 | 132.8 |
| 2.63 | 123 | 123 | 130 | 138 | 121 | 149 | 136 | 123 | 124 | 120 | 128.7 |
| 2.64 | 121 | 117 | 135 | 107 | 104 | 140 | 105 | 142 | 145 | 130 | 124.6 |
| 2.65 | 129 | 130 | 109 | 133 | 118 | 157 | 142 | 146 | 134 | 127 | 132.5 |
| 2.66 | 123 | 111 | 128 | 108 | 116 | 122 | 125 | 131 | 103 | 121 | 118.8 |
| 2.67 | 128 | 104 | 112 | 123 | 143 | 126 | 126 | 127 | 139 | 139 | 126.7 |
| 2.68 | 125 | 127 | 138 | 137 | 107 | 138 | 145 | 130 | 113 | 128 | 128.8 |
| 2.69 | 117 | 118 | 130 | 107 | 108 | 113 | 111 | 118 | 146 | 125 | 119.3 |
| 2.70 | 107 | 126 | 115 | 115 | 138 | 113 | 120 | 131 | 115 | 122 | 120.2 |
| 2.71 | 111 | 104 | 108 | 121 | 122 | 107 | 129 | 137 | 114 | 110 | 116.3 |
| 2.72 | 119 | 126 | 106 | 120 | 101 | 122 | 133 | 129 | 107 | 138 | 120.1 |

Cuadro A.3: Aridades máximas registradas para un grafo de 10 000 nodos Parte 1.

| τ | 1 | 2 | 3 | 4 | 5 | 6 |
|--------|----------|----------|----------|----------|----------|----------|
| 1.92 | 1686 | 1692 | 1742 | 1739 | 1692 | 1716 |

| | | | | | | |
|------|------|------|------|------|------|------|
| 1.93 | 1674 | 1676 | 1654 | 1721 | 1662 | 1616 |
| 1.94 | 1543 | 1579 | 1553 | 1602 | 1479 | 1596 |
| 1.95 | 1461 | 1469 | 1504 | 1477 | 1535 | 1503 |
| 1.96 | 1491 | 1438 | 1459 | 1477 | 1386 | 1494 |
| 1.97 | 1410 | 1388 | 1359 | 1365 | 1374 | 1379 |
| 1.98 | 1295 | 1270 | 1350 | 1281 | 1353 | 1328 |
| 1.99 | 1237 | 1334 | 1297 | 1299 | 1233 | 1237 |
| 2.00 | 1226 | 1218 | 1284 | 1217 | 1257 | 1202 |
| 2.01 | 1174 | 1146 | 1181 | 1184 | 1177 | 1132 |
| 2.02 | 1137 | 1119 | 1150 | 1080 | 1200 | 1110 |
| 2.03 | 1106 | 1144 | 1073 | 1062 | 1101 | 1142 |
| 2.04 | 1048 | 1030 | 1060 | 1088 | 1046 | 1056 |
| 2.05 | 1053 | 982 | 1018 | 1088 | 1066 | 1000 |
| 2.06 | 937 | 969 | 954 | 994 | 1001 | 1001 |
| 2.07 | 944 | 964 | 928 | 941 | 943 | 957 |
| 2.08 | 900 | 906 | 890 | 895 | 844 | 911 |
| 2.09 | 912 | 910 | 917 | 879 | 909 | 843 |
| 2.10 | 870 | 854 | 880 | 835 | 810 | 874 |
| 2.11 | 831 | 809 | 812 | 867 | 857 | 836 |
| 2.12 | 763 | 814 | 788 | 755 | 784 | 807 |
| 2.13 | 768 | 756 | 757 | 832 | 752 | 785 |
| 2.14 | 742 | 701 | 716 | 782 | 705 | 751 |
| 2.15 | 725 | 741 | 742 | 696 | 735 | 721 |
| 2.16 | 695 | 737 | 685 | 704 | 673 | 710 |
| 2.17 | 692 | 683 | 709 | 681 | 643 | 691 |
| 2.18 | 658 | 646 | 646 | 685 | 656 | 702 |
| 2.19 | 620 | 601 | 642 | 651 | 636 | 660 |
| 2.20 | 628 | 636 | 640 | 616 | 661 | 601 |
| 2.21 | 603 | 632 | 618 | 608 | 581 | 578 |
| 2.22 | 612 | 564 | 571 | 605 | 600 | 611 |
| 2.23 | 560 | 548 | 570 | 579 | 578 | 559 |
| 2.24 | 549 | 547 | 554 | 596 | 565 | 573 |

| | | | | | | |
|------|-----|-----|-----|-----|-----|-----|
| 2.25 | 551 | 555 | 564 | 539 | 532 | 566 |
| 2.26 | 515 | 560 | 555 | 564 | 528 | 533 |
| 2.27 | 533 | 534 | 511 | 494 | 574 | 532 |
| 2.28 | 478 | 498 | 526 | 488 | 515 | 499 |
| 2.29 | 485 | 524 | 497 | 523 | 485 | 492 |
| 2.30 | 482 | 452 | 483 | 466 | 483 | 489 |
| 2.31 | 457 | 465 | 483 | 478 | 474 | 479 |
| 2.32 | 458 | 444 | 456 | 449 | 456 | 438 |
| 2.33 | 492 | 472 | 474 | 454 | 473 | 438 |
| 2.34 | 453 | 457 | 421 | 447 | 414 | 461 |
| 2.35 | 467 | 413 | 459 | 462 | 420 | 439 |
| 2.36 | 417 | 436 | 449 | 400 | 393 | 423 |
| 2.37 | 421 | 430 | 426 | 417 | 418 | 425 |
| 2.38 | 403 | 429 | 419 | 403 | 426 | 420 |
| 2.39 | 383 | 414 | 444 | 384 | 403 | 386 |
| 2.40 | 403 | 378 | 407 | 406 | 378 | 405 |
| 2.41 | 422 | 403 | 376 | 407 | 400 | 405 |
| 2.42 | 391 | 375 | 374 | 365 | 377 | 384 |
| 2.43 | 351 | 381 | 408 | 385 | 422 | 376 |
| 2.44 | 386 | 368 | 401 | 387 | 391 | 378 |
| 2.45 | 365 | 389 | 374 | 340 | 365 | 355 |
| 2.46 | 381 | 341 | 354 | 394 | 353 | 372 |
| 2.47 | 390 | 348 | 346 | 355 | 336 | 378 |
| 2.48 | 363 | 343 | 336 | 325 | 375 | 326 |
| 2.49 | 371 | 346 | 341 | 363 | 366 | 333 |
| 2.50 | 349 | 346 | 319 | 347 | 352 | 338 |
| 2.51 | 322 | 326 | 327 | 344 | 338 | 326 |
| 2.52 | 351 | 338 | 347 | 331 | 332 | 325 |
| 2.53 | 318 | 306 | 315 | 322 | 316 | 330 |
| 2.54 | 325 | 319 | 298 | 298 | 299 | 317 |
| 2.55 | 318 | 322 | 305 | 306 | 319 | 313 |
| 2.56 | 308 | 319 | 329 | 312 | 298 | 311 |

| | | | | | | |
|------|-----|-----|-----|-----|-----|-----|
| 2.57 | 307 | 311 | 311 | 322 | 327 | 330 |
| 2.58 | 308 | 286 | 291 | 292 | 333 | 295 |
| 2.59 | 300 | 295 | 307 | 276 | 295 | 304 |
| 2.60 | 296 | 301 | 283 | 294 | 304 | 300 |
| 2.61 | 310 | 264 | 293 | 291 | 299 | 303 |
| 2.62 | 331 | 276 | 301 | 305 | 285 | 288 |
| 2.63 | 272 | 324 | 270 | 288 | 257 | 286 |
| 2.64 | 288 | 300 | 294 | 281 | 302 | 268 |
| 2.65 | 290 | 283 | 271 | 277 | 296 | 293 |
| 2.66 | 268 | 302 | 271 | 273 | 280 | 248 |
| 2.67 | 270 | 287 | 255 | 272 | 278 | 278 |
| 2.68 | 268 | 294 | 282 | 273 | 277 | 249 |
| 2.69 | 277 | 259 | 265 | 281 | 259 | 282 |
| 2.70 | 238 | 256 | 280 | 267 | 271 | 272 |
| 2.71 | 262 | 258 | 270 | 275 | 275 | 287 |
| 2.72 | 266 | 268 | 246 | 287 | 268 | 254 |

Cuadro A.4: Aridades máximas registradas para un grafo de 10 000 nodos Parte 2.

| τ | 7 | 8 | 9 | 10 |
|--------|----------|----------|----------|-----------|
| 1.92 | 1 690 | 1 771 | 1 732 | 1 735 |
| 1.93 | 1 591 | 1 625 | 1 677 | 1 619 |
| 1.94 | 1 576 | 1 627 | 1 640 | 1 580 |
| 1.95 | 1 559 | 1 485 | 1 451 | 1 516 |
| 1.96 | 1 430 | 1 390 | 1 445 | 1 392 |
| 1.97 | 1 363 | 1 379 | 1 378 | 1 410 |
| 1.98 | 1 356 | 1 284 | 1 290 | 1 324 |
| 1.99 | 1 323 | 1 297 | 1 269 | 1 292 |
| 2.00 | 1 245 | 1 218 | 1 250 | 1 257 |
| 2.01 | 1 152 | 1 193 | 1 139 | 1 214 |
| 2.02 | 1 112 | 1 128 | 1 141 | 1 160 |

| | | | | |
|------|-------|-------|-------|-------|
| 2.03 | 1 123 | 1 107 | 1 135 | 1 078 |
| 2.04 | 1 036 | 1 054 | 1 067 | 1 041 |
| 2.05 | 1 010 | 992 | 1 039 | 1 000 |
| 2.06 | 937 | 1 005 | 1 000 | 980 |
| 2.07 | 1 000 | 881 | 944 | 887 |
| 2.08 | 899 | 898 | 913 | 943 |
| 2.09 | 851 | 883 | 890 | 884 |
| 2.10 | 850 | 832 | 846 | 860 |
| 2.11 | 837 | 843 | 844 | 825 |
| 2.12 | 791 | 779 | 792 | 842 |
| 2.13 | 761 | 799 | 795 | 730 |
| 2.14 | 719 | 757 | 764 | 754 |
| 2.15 | 736 | 712 | 734 | 754 |
| 2.16 | 667 | 778 | 782 | 727 |
| 2.17 | 661 | 664 | 689 | 679 |
| 2.18 | 656 | 670 | 651 | 676 |
| 2.19 | 645 | 636 | 633 | 610 |
| 2.20 | 616 | 596 | 606 | 593 |
| 2.21 | 582 | 585 | 619 | 608 |
| 2.22 | 566 | 623 | 580 | 538 |
| 2.23 | 570 | 577 | 586 | 601 |
| 2.24 | 578 | 576 | 583 | 570 |
| 2.25 | 576 | 529 | 525 | 526 |
| 2.26 | 529 | 547 | 539 | 529 |
| 2.27 | 509 | 535 | 489 | 532 |
| 2.28 | 529 | 477 | 497 | 507 |
| 2.29 | 502 | 506 | 484 | 522 |
| 2.30 | 456 | 504 | 482 | 499 |
| 2.31 | 466 | 457 | 497 | 488 |
| 2.32 | 465 | 463 | 459 | 490 |
| 2.33 | 472 | 478 | 443 | 453 |
| 2.34 | 402 | 432 | 465 | 461 |

| | | | | |
|------|-----|-----|-----|-----|
| 2.35 | 436 | 426 | 413 | 453 |
| 2.36 | 422 | 429 | 400 | 434 |
| 2.37 | 432 | 413 | 424 | 454 |
| 2.38 | 418 | 396 | 428 | 399 |
| 2.39 | 418 | 416 | 409 | 420 |
| 2.40 | 402 | 379 | 371 | 418 |
| 2.41 | 384 | 400 | 375 | 399 |
| 2.42 | 362 | 365 | 414 | 391 |
| 2.43 | 370 | 359 | 359 | 381 |
| 2.44 | 390 | 371 | 395 | 362 |
| 2.45 | 356 | 373 | 347 | 375 |
| 2.46 | 334 | 386 | 352 | 357 |
| 2.47 | 353 | 342 | 346 | 365 |
| 2.48 | 345 | 321 | 321 | 350 |
| 2.49 | 351 | 374 | 350 | 338 |
| 2.50 | 316 | 352 | 322 | 313 |
| 2.51 | 337 | 363 | 332 | 352 |
| 2.52 | 334 | 333 | 315 | 334 |
| 2.53 | 326 | 338 | 340 | 356 |
| 2.54 | 316 | 353 | 328 | 313 |
| 2.55 | 325 | 345 | 319 | 318 |
| 2.56 | 301 | 316 | 314 | 313 |
| 2.57 | 299 | 304 | 301 | 308 |
| 2.58 | 290 | 295 | 329 | 283 |
| 2.59 | 316 | 307 | 310 | 285 |
| 2.60 | 294 | 279 | 296 | 301 |
| 2.61 | 285 | 260 | 310 | 307 |
| 2.62 | 309 | 270 | 280 | 264 |
| 2.63 | 287 | 277 | 272 | 276 |
| 2.64 | 262 | 293 | 271 | 300 |
| 2.65 | 297 | 286 | 302 | 293 |
| 2.66 | 277 | 255 | 283 | 284 |

| | | | | |
|------|-----|-----|-----|-----|
| 2.67 | 288 | 266 | 251 | 309 |
| 2.68 | 263 | 283 | 268 | 267 |
| 2.69 | 265 | 288 | 259 | 288 |
| 2.70 | 290 | 253 | 252 | 252 |
| 2.71 | 278 | 261 | 259 | 255 |
| 2.72 | 272 | 258 | 231 | 262 |

Cuadro A.5: Aridades máximas registradas para un grafo de 100 000 nodos Parte 1.

| τ | 1 | 2 | 3 | 4 | 5 | 6 |
|--------|----------|----------|----------|----------|----------|----------|
| 1.92 | 8 172 | 8 231 | 8 035 | 8 306 | 8 158 | 8 184 |
| 1.93 | 7 787 | 7 723 | 7 856 | 7 815 | 7 738 | 7 824 |
| 1.94 | 7 361 | 7 324 | 7 155 | 7 319 | 7 194 | 7 358 |
| 1.95 | 6 912 | 7 017 | 6 894 | 6 901 | 6 879 | 6 739 |
| 1.96 | 6 560 | 6 626 | 6 663 | 6 673 | 6 292 | 6 498 |
| 1.97 | 6 257 | 6 170 | 6 166 | 6 149 | 6 177 | 6 174 |
| 1.98 | 5 824 | 5 788 | 5 960 | 5 864 | 5 906 | 5 779 |
| 1.99 | 5 589 | 5 567 | 5 556 | 5 507 | 5 584 | 5 540 |
| 2.00 | 5 454 | 5 237 | 5 383 | 5 343 | 5 218 | 5 409 |
| 2.01 | 5 060 | 5 020 | 5 136 | 5 031 | 5 001 | 5 079 |
| 2.02 | 4 879 | 4 716 | 4 803 | 4 698 | 4 739 | 4 802 |
| 2.03 | 4 526 | 4 453 | 4 644 | 4 510 | 4 540 | 4 674 |
| 2.04 | 4 376 | 4 244 | 4 206 | 4 422 | 4 272 | 4 444 |
| 2.05 | 4 157 | 4 087 | 4 186 | 4 183 | 4 220 | 4 046 |
| 2.06 | 4 005 | 3 876 | 3 981 | 3 845 | 3 882 | 3 932 |
| 2.07 | 3 839 | 3 847 | 3 721 | 3 837 | 3 814 | 3 831 |
| 2.08 | 3 572 | 3 661 | 3 603 | 3 656 | 3 518 | 3 500 |
| 2.09 | 3 522 | 3 398 | 3 484 | 3 476 | 3 554 | 3 447 |
| 2.10 | 3 237 | 3 218 | 3 326 | 3 389 | 3 282 | 3 330 |
| 2.11 | 3 175 | 3 243 | 3 158 | 3 215 | 3 251 | 3 221 |
| 2.12 | 2 980 | 3 079 | 2 986 | 3 123 | 3 027 | 3 099 |

| | | | | | | |
|------|-------|-------|-------|-------|-------|-------|
| 2.13 | 2 923 | 2 912 | 2 870 | 2 965 | 2 918 | 2 973 |
| 2.14 | 2 919 | 2 889 | 2 871 | 2 935 | 2 891 | 2 854 |
| 2.15 | 2 659 | 2 787 | 2 711 | 2 729 | 2 768 | 2 737 |
| 2.16 | 2 509 | 2 540 | 2 570 | 2 508 | 2 662 | 2 546 |
| 2.17 | 2 522 | 2 486 | 2 640 | 2 558 | 2 485 | 2 552 |
| 2.18 | 2 476 | 2 435 | 2 354 | 2 439 | 2 427 | 2 378 |
| 2.19 | 2 258 | 2 383 | 2 379 | 2 249 | 2 318 | 2 287 |
| 2.20 | 2 326 | 2 334 | 2 272 | 2 237 | 2 276 | 2 288 |
| 2.21 | 2 201 | 2 264 | 2 200 | 2 216 | 2 230 | 2 249 |
| 2.22 | 2 072 | 2 143 | 2 123 | 2 190 | 2 140 | 2 179 |
| 2.23 | 2 071 | 2 088 | 2 103 | 2 018 | 2 015 | 2 005 |
| 2.24 | 2 081 | 2 016 | 2 089 | 2 019 | 2 039 | 1 977 |
| 2.25 | 2 023 | 1 989 | 2 009 | 1 968 | 1 913 | 1 908 |
| 2.26 | 1 847 | 1 872 | 1 900 | 1 868 | 1 858 | 1 851 |
| 2.27 | 1 893 | 1 866 | 1 894 | 1 816 | 1 783 | 1 801 |
| 2.28 | 1 849 | 1 779 | 1 780 | 1 802 | 1 803 | 1 861 |
| 2.29 | 1 734 | 1 761 | 1 752 | 1 693 | 1 795 | 1 708 |
| 2.30 | 1 701 | 1 712 | 1 773 | 1 635 | 1 734 | 1 730 |
| 2.31 | 1 685 | 1 649 | 1 667 | 1 650 | 1 705 | 1 590 |
| 2.32 | 1 663 | 1 630 | 1 615 | 1 679 | 1 680 | 1 636 |
| 2.33 | 1 629 | 1 574 | 1 526 | 1 586 | 1 521 | 1 575 |
| 2.34 | 1 613 | 1 561 | 1 585 | 1 600 | 1 476 | 1 573 |
| 2.35 | 1 558 | 1 485 | 1 495 | 1 506 | 1 395 | 1 540 |
| 2.36 | 1 465 | 1 415 | 1 459 | 1 409 | 1 446 | 1 444 |
| 2.37 | 1 511 | 1 507 | 1 456 | 1 486 | 1 462 | 1 409 |
| 2.38 | 1 414 | 1 383 | 1 431 | 1 457 | 1 460 | 1 450 |
| 2.39 | 1 443 | 1 382 | 1 346 | 1 375 | 1 469 | 1 345 |
| 2.40 | 1 377 | 1 300 | 1 403 | 1 355 | 1 330 | 1 315 |
| 2.41 | 1 350 | 1 343 | 1 329 | 1 391 | 1 355 | 1 359 |
| 2.42 | 1 265 | 1 248 | 1 302 | 1 337 | 1 313 | 1 355 |
| 2.43 | 1 285 | 1 348 | 1 278 | 1 253 | 1 246 | 1 319 |
| 2.44 | 1 259 | 1 206 | 1 328 | 1 304 | 1 263 | 1 264 |

| | | | | | | |
|------|-------|-------|-------|-------|-------|-------|
| 2.45 | 1 210 | 1 199 | 1 284 | 1 237 | 1 206 | 1 281 |
| 2.46 | 1 289 | 1 187 | 1 185 | 1 250 | 1 188 | 1 184 |
| 2.47 | 1 235 | 1 179 | 1 209 | 1 211 | 1 177 | 1 180 |
| 2.48 | 1 159 | 1 197 | 1 191 | 1 160 | 1 188 | 1 236 |
| 2.49 | 1 184 | 1 184 | 1 157 | 1 240 | 1 215 | 1 153 |
| 2.50 | 1 163 | 1 137 | 1 116 | 1 147 | 1 095 | 1 207 |
| 2.51 | 1 124 | 1 205 | 1 169 | 1 222 | 1 178 | 1 144 |
| 2.52 | 1 113 | 1 116 | 1 106 | 1 128 | 1 107 | 1 101 |
| 2.53 | 1 093 | 1 051 | 1 067 | 1 074 | 1 038 | 1 133 |
| 2.54 | 1 116 | 1 087 | 1 108 | 1 053 | 1 097 | 1 101 |
| 2.55 | 1 061 | 1 123 | 1 076 | 1 060 | 1 113 | 1 088 |
| 2.56 | 1 124 | 1 010 | 1 005 | 1 043 | 1 067 | 1 112 |
| 2.57 | 1 026 | 1 048 | 1 042 | 1 110 | 1 019 | 1 045 |
| 2.58 | 1 062 | 988 | 988 | 995 | 1 010 | 1 069 |
| 2.59 | 1 025 | 1 038 | 956 | 1 004 | 1 015 | 989 |
| 2.60 | 946 | 982 | 976 | 968 | 1 003 | 995 |
| 2.61 | 994 | 918 | 1 054 | 996 | 1 016 | 1 025 |
| 2.62 | 975 | 999 | 979 | 918 | 1 017 | 1 061 |
| 2.63 | 997 | 983 | 963 | 972 | 964 | 995 |
| 2.64 | 951 | 937 | 1 007 | 973 | 1 003 | 926 |
| 2.65 | 958 | 936 | 904 | 938 | 935 | 995 |
| 2.66 | 905 | 939 | 1 000 | 903 | 892 | 909 |
| 2.67 | 920 | 912 | 925 | 925 | 937 | 913 |
| 2.68 | 936 | 887 | 897 | 876 | 923 | 960 |
| 2.69 | 909 | 927 | 894 | 953 | 874 | 899 |
| 2.70 | 830 | 874 | 936 | 958 | 917 | 896 |
| 2.71 | 874 | 919 | 868 | 835 | 858 | 859 |
| 2.72 | 875 | 867 | 897 | 911 | 862 | 849 |

Cuadro A.6: Aridades máximas registradas para un grafo de 100 000 nodos Parte 2.

| τ | 7 | 8 | 9 | 10 | Promedio |
|--------|-------|-------|-------|-------|----------|
| 1.92 | 8 311 | 8 179 | 8 236 | 8 273 | 8 209 |
| 1.93 | 7 929 | 7 752 | 7 813 | 7 710 | 7 795 |
| 1.94 | 7 352 | 7 404 | 7 199 | 7 203 | 7 287 |
| 1.95 | 6 916 | 6 993 | 6 970 | 6 960 | 6 918 |
| 1.96 | 6 632 | 6 465 | 6 409 | 6 516 | 6 533 |
| 1.97 | 6 243 | 6 226 | 6 111 | 6 120 | 6 179 |
| 1.98 | 5 765 | 5 863 | 5 827 | 5 812 | 5 839 |
| 1.99 | 5 617 | 5 467 | 5 583 | 5 455 | 5 547 |
| 2.00 | 5 292 | 5 375 | 5 364 | 5 341 | 5 342 |
| 2.01 | 5 057 | 4 998 | 4 885 | 4 923 | 5 019 |
| 2.02 | 4 751 | 4 883 | 4 767 | 4 820 | 4 786 |
| 2.03 | 4 502 | 4 538 | 4 444 | 4 473 | 4 530 |
| 2.04 | 4 436 | 4 230 | 4 367 | 4 342 | 4 334 |
| 2.05 | 4 124 | 4 033 | 4 147 | 4 221 | 4 140 |
| 2.06 | 3 852 | 3 960 | 3 884 | 3 924 | 3 914 |
| 2.07 | 3 752 | 3 864 | 3 791 | 3 800 | 3 810 |
| 2.08 | 3 535 | 3 565 | 3 529 | 3 492 | 3 563 |
| 2.09 | 3 398 | 3 422 | 3 412 | 3 512 | 3 463 |
| 2.10 | 3 366 | 3 308 | 3 274 | 3 264 | 3 299 |
| 2.11 | 3 120 | 3 234 | 3 248 | 3 198 | 3 206 |
| 2.12 | 3 093 | 3 037 | 3 032 | 3 005 | 3 046 |
| 2.13 | 2 902 | 2 925 | 2 972 | 2 961 | 2 932 |
| 2.14 | 2 812 | 2 819 | 2 740 | 2 805 | 2 854 |
| 2.15 | 2 754 | 2 698 | 2 757 | 2 773 | 2 737 |
| 2.16 | 2 569 | 2 667 | 2 682 | 2 688 | 2 594 |
| 2.17 | 2 582 | 2 625 | 2 485 | 2 555 | 2 549 |
| 2.18 | 2 329 | 2 506 | 2 510 | 2 390 | 2 424 |
| 2.19 | 2 369 | 2 319 | 2 389 | 2 283 | 2 323 |
| 2.20 | 2 283 | 2 264 | 2 212 | 2 266 | 2 276 |
| 2.21 | 2 226 | 2 294 | 2 154 | 2 175 | 2 221 |
| 2.22 | 2 145 | 2 117 | 2 166 | 2 181 | 2 146 |

| | | | | | |
|------|-------|-------|-------|-------|-------|
| 2.23 | 2 100 | 2 129 | 2 074 | 2 103 | 2 071 |
| 2.24 | 1 964 | 2 038 | 2 028 | 2 015 | 2 027 |
| 2.25 | 1 954 | 2 003 | 1 984 | 1 936 | 1 969 |
| 2.26 | 2 023 | 1 885 | 1 963 | 1 975 | 1 904 |
| 2.27 | 1 873 | 1 890 | 1 804 | 1 828 | 1 845 |
| 2.28 | 1 799 | 1 835 | 1 794 | 1 845 | 1 815 |
| 2.29 | 1 780 | 1 713 | 1 735 | 1 747 | 1 742 |
| 2.30 | 1 691 | 1 703 | 1 724 | 1 764 | 1 717 |
| 2.31 | 1 651 | 1 719 | 1 684 | 1 601 | 1 660 |
| 2.32 | 1 622 | 1 594 | 1 625 | 1 579 | 1 632 |
| 2.33 | 1 588 | 1 581 | 1 643 | 1 597 | 1 582 |
| 2.34 | 1 641 | 1 594 | 1 567 | 1 500 | 1 571 |
| 2.35 | 1 565 | 1 490 | 1 478 | 1 490 | 1 500 |
| 2.36 | 1 533 | 1 532 | 1 476 | 1 468 | 1 465 |
| 2.37 | 1 522 | 1 469 | 1 427 | 1 492 | 1 474 |
| 2.38 | 1 503 | 1 356 | 1 368 | 1 411 | 1 423 |
| 2.39 | 1 386 | 1 338 | 1 410 | 1 422 | 1 392 |
| 2.40 | 1 364 | 1 348 | 1 413 | 1 294 | 1 350 |
| 2.41 | 1 370 | 1 379 | 1 384 | 1 320 | 1 358 |
| 2.42 | 1 326 | 1 359 | 1 335 | 1 308 | 1 315 |
| 2.43 | 1 228 | 1 282 | 1 263 | 1 346 | 1 285 |
| 2.44 | 1 307 | 1 288 | 1 274 | 1 247 | 1 274 |
| 2.45 | 1 244 | 1 286 | 1 296 | 1 244 | 1 249 |
| 2.46 | 1 193 | 1 205 | 1 267 | 1 218 | 1 217 |
| 2.47 | 1 238 | 1 230 | 1 204 | 1 152 | 1 202 |
| 2.48 | 1 190 | 1 235 | 1 158 | 1 243 | 1 196 |
| 2.49 | 1 156 | 1 184 | 1 201 | 1 194 | 1 187 |
| 2.50 | 1 166 | 1 199 | 1 102 | 1 115 | 1 145 |
| 2.51 | 1 151 | 1 125 | 1 199 | 1 172 | 1 169 |
| 2.52 | 1 132 | 1 054 | 1 150 | 1 073 | 1 108 |
| 2.53 | 1 158 | 1 076 | 1 115 | 1 118 | 1 092 |
| 2.54 | 1 094 | 1 098 | 1 081 | 1 074 | 1 091 |

| | | | | | |
|------|-------|-------|-------|-------|-------|
| 2.55 | 1 089 | 1 075 | 1 062 | 1 037 | 1 078 |
| 2.56 | 1 068 | 1 034 | 1 043 | 1 075 | 1 058 |
| 2.57 | 1 067 | 1 075 | 989 | 1 067 | 1 049 |
| 2.58 | 982 | 996 | 1 012 | 999 | 1 010 |
| 2.59 | 1 008 | 1 056 | 1 043 | 1 034 | 1 017 |
| 2.60 | 954 | 1 042 | 1 008 | 977 | 985 |
| 2.61 | 999 | 1 016 | 985 | 1 005 | 1 001 |
| 2.62 | 963 | 937 | 1 011 | 971 | 983 |
| 2.63 | 931 | 1 018 | 970 | 980 | 977 |
| 2.64 | 950 | 993 | 944 | 893 | 958 |
| 2.65 | 936 | 998 | 933 | 955 | 949 |
| 2.66 | 914 | 962 | 866 | 918 | 921 |
| 2.67 | 925 | 940 | 976 | 927 | 930 |
| 2.68 | 938 | 910 | 957 | 911 | 920 |
| 2.69 | 931 | 814 | 856 | 922 | 898 |
| 2.70 | 887 | 894 | 909 | 903 | 900 |
| 2.71 | 907 | 889 | 872 | 884 | 877 |
| 2.72 | 843 | 895 | 861 | 866 | 873 |

Cuadro A.7: Aridades máximas registradas para un grafo de 1 000 000 nodos Parte 1.

| τ | 1 | 2 | 3 | 4 | 5 | 6 |
|--------|--------|--------|--------|--------|--------|--------|
| 1.92 | 38 500 | 38 533 | 38 300 | 38 375 | 38 380 | 38 506 |
| 1.93 | 35 875 | 35 502 | 35 873 | 35 810 | 35 922 | 35 968 |
| 1.94 | 33 475 | 33 379 | 33 494 | 33 561 | 33 339 | 33 128 |
| 1.95 | 30 824 | 30 670 | 30 923 | 30 858 | 30 851 | 30 976 |
| 1.96 | 28 852 | 29 013 | 28 930 | 28 964 | 28 866 | 28 814 |
| 1.97 | 27 253 | 27 108 | 26 746 | 27 033 | 26 641 | 27 114 |
| 1.98 | 25 175 | 25 499 | 25 186 | 25 292 | 24 956 | 25 170 |
| 1.99 | 23 791 | 23 639 | 23 914 | 23 462 | 23 654 | 23 444 |
| 2.00 | 22 200 | 22 381 | 22 142 | 22 396 | 22 389 | 22 410 |
| 2.01 | 20 910 | 21 062 | 21 050 | 20 755 | 20 752 | 20 938 |
| 2.02 | 19 692 | 19 824 | 19 485 | 19 772 | 19 643 | 19 758 |
| 2.03 | 18 402 | 18 590 | 18 528 | 18 242 | 18 333 | 18 566 |
| 2.04 | 17 348 | 17 448 | 17 187 | 17 390 | 17 504 | 17 482 |
| 2.05 | 16 380 | 16 385 | 16 705 | 16 624 | 16 458 | 16 454 |
| 2.06 | 15 586 | 15 654 | 15 556 | 15 389 | 15 499 | 15 493 |
| 2.07 | 14 582 | 14 817 | 14 821 | 14 729 | 14 729 | 14 912 |
| 2.08 | 13 779 | 14 147 | 13 891 | 13 913 | 14 023 | 14 159 |
| 2.09 | 13 424 | 13 170 | 13 108 | 13 319 | 13 411 | 13 228 |
| 2.10 | 12 773 | 12 594 | 12 729 | 12 849 | 12 564 | 12 796 |
| 2.11 | 12 060 | 12 084 | 11 992 | 12 250 | 12 133 | 12 063 |
| 2.12 | 11 695 | 11 349 | 11 548 | 11 468 | 11 585 | 11 327 |
| 2.13 | 10 913 | 11 047 | 10 934 | 10 900 | 11 128 | 10 976 |
| 2.14 | 10 601 | 10 511 | 10 595 | 10 429 | 10 352 | 10 621 |
| 2.15 | 10 053 | 9 971 | 10 074 | 10 049 | 10 020 | 10 092 |
| 2.16 | 9 647 | 9 603 | 9 691 | 9 511 | 9 644 | 9 724 |
| 2.17 | 9 298 | 9 280 | 9 333 | 9 226 | 9 271 | 9 237 |
| 2.18 | 8 812 | 8 922 | 9 089 | 9 006 | 8 981 | 8 960 |
| 2.19 | 8 547 | 8 527 | 8 603 | 8 783 | 8 631 | 8 602 |
| 2.20 | 8 288 | 8 609 | 8 395 | 8 280 | 8 183 | 8 124 |

| | | | | | | |
|------|-------|-------|-------|-------|-------|-------|
| 2.21 | 8 071 | 7 979 | 7 976 | 8 145 | 8 149 | 8 117 |
| 2.22 | 7 651 | 7 533 | 7 670 | 7 778 | 7 754 | 7 558 |
| 2.23 | 7 338 | 7 541 | 7 554 | 7 527 | 7 360 | 7 504 |
| 2.24 | 7 304 | 7 231 | 7 189 | 7 356 | 7 168 | 7 286 |
| 2.25 | 7 077 | 7 042 | 7 053 | 6 972 | 7 114 | 7 112 |
| 2.26 | 6 783 | 6 799 | 6 661 | 6 862 | 6 664 | 6 954 |
| 2.27 | 6 567 | 6 650 | 6 638 | 6 576 | 6 593 | 6 585 |
| 2.28 | 6 357 | 6 486 | 6 394 | 6 316 | 6 456 | 6 334 |
| 2.29 | 6 283 | 6 189 | 6 312 | 6 312 | 6 232 | 6 177 |
| 2.30 | 5 997 | 6 293 | 6 181 | 6 115 | 6 030 | 6 097 |
| 2.31 | 5 951 | 5 887 | 5 926 | 5 942 | 5 778 | 5 941 |
| 2.32 | 5 638 | 5 804 | 5 800 | 5 745 | 5 739 | 5 871 |
| 2.33 | 5 480 | 5 581 | 5 624 | 5 488 | 5 614 | 5 700 |
| 2.34 | 5 492 | 5 438 | 5 402 | 5 432 | 5 677 | 5 412 |
| 2.35 | 5 366 | 5 340 | 5 398 | 5 403 | 5 443 | 5 270 |
| 2.36 | 5 227 | 5 145 | 5 378 | 5 227 | 5 372 | 5 293 |
| 2.37 | 5 124 | 5 154 | 5 186 | 5 166 | 4 972 | 5 112 |
| 2.38 | 5 063 | 4 898 | 5 109 | 4 976 | 5 004 | 5 025 |
| 2.39 | 4 779 | 4 996 | 4 952 | 4 875 | 4 887 | 4 914 |
| 2.40 | 4 742 | 4 955 | 4 753 | 4 789 | 4 794 | 4 750 |
| 2.41 | 4 627 | 4 822 | 4 701 | 4 710 | 4 672 | 4 726 |
| 2.42 | 4 661 | 4 526 | 4 674 | 4 624 | 4 542 | 4 641 |
| 2.43 | 4 483 | 4 581 | 4 391 | 4 530 | 4 474 | 4 424 |
| 2.44 | 4 492 | 4 460 | 4 489 | 4 553 | 4 422 | 4 481 |
| 2.45 | 4 392 | 4 380 | 4 309 | 4 381 | 4 259 | 4 412 |
| 2.46 | 4 278 | 4 327 | 4 464 | 4 248 | 4 291 | 4 251 |
| 2.47 | 4 250 | 4 166 | 4 192 | 4 131 | 4 230 | 4 204 |
| 2.48 | 4 130 | 4 148 | 4 240 | 4 135 | 4 154 | 4 233 |
| 2.49 | 4 092 | 4 010 | 4 126 | 4 208 | 4 144 | 4 172 |
| 2.50 | 4 102 | 4 078 | 4 041 | 4 005 | 3 995 | 4 051 |
| 2.51 | 3 902 | 3 966 | 3 973 | 3 889 | 3 976 | 3 986 |
| 2.52 | 3 848 | 3 876 | 3 870 | 3 843 | 3 932 | 3 856 |

| | | | | | | |
|------|-------|-------|-------|-------|-------|-------|
| 2.53 | 3 862 | 3 873 | 3 799 | 3 800 | 3 898 | 3 778 |
| 2.54 | 3 769 | 3 727 | 3 695 | 3 722 | 3 695 | 3 674 |
| 2.55 | 3 872 | 3 676 | 3 804 | 3 656 | 3 766 | 3 814 |
| 2.56 | 3 640 | 3 733 | 3 698 | 3 576 | 3 705 | 3 737 |
| 2.57 | 3 632 | 3 682 | 3 733 | 3 643 | 3 616 | 3 704 |
| 2.58 | 3 684 | 3 598 | 3 627 | 3 541 | 3 528 | 3 600 |
| 2.59 | 3 569 | 3 545 | 3 616 | 3 481 | 3 410 | 3 563 |
| 2.60 | 3 446 | 3 574 | 3 426 | 3 361 | 3 554 | 3 473 |
| 2.61 | 3 363 | 3 537 | 3 497 | 3 508 | 3 520 | 3 503 |
| 2.62 | 3 375 | 3 320 | 3 487 | 3 539 | 3 382 | 3 577 |
| 2.63 | 3 407 | 3 383 | 3 276 | 3 352 | 3 302 | 3 386 |
| 2.64 | 3 392 | 3 314 | 3 352 | 3 363 | 3 385 | 3 358 |
| 2.65 | 3 366 | 3 313 | 3 256 | 3 350 | 3 325 | 3 368 |
| 2.66 | 3 207 | 3 286 | 3 299 | 3 313 | 3 289 | 3 201 |
| 2.67 | 3 254 | 3 222 | 3 200 | 3 199 | 3 210 | 3 194 |
| 2.68 | 3 215 | 3 183 | 3 267 | 3 092 | 3 165 | 3 184 |
| 2.69 | 3 238 | 3 200 | 3 165 | 3 252 | 3 147 | 3 130 |
| 2.70 | 3 064 | 3 106 | 3 085 | 3 256 | 3 104 | 3 141 |
| 2.71 | 3 178 | 3 042 | 3 060 | 3 120 | 3 073 | 3 178 |
| 2.72 | 2 971 | 2 970 | 2 996 | 3 055 | 3 103 | 3 109 |

Cuadro A.8: Aridades máximas registradas para un grafo de 1 000 000 nodos Parte 2.

| τ | 7 | 8 | 9 | 10 | Promedio |
|--------|----------|----------|----------|-----------|-----------------|
| 1.92 | 38 573 | 38 508 | 38 407 | 38 514 | 38 460 |
| 1.93 | 35 942 | 35 526 | 35 348 | 35 994 | 35 776 |
| 1.94 | 33 213 | 32 810 | 33 227 | 33 026 | 33 265 |
| 1.95 | 31 251 | 30 752 | 30 890 | 30 974 | 30 897 |
| 1.96 | 29 021 | 28 853 | 28 811 | 28 906 | 28 903 |
| 1.97 | 27 024 | 27 126 | 26 809 | 26 925 | 26 978 |
| 1.98 | 25 098 | 25 031 | 25 122 | 25 370 | 25 190 |

| | | | | | |
|------|--------|--------|--------|--------|--------|
| 1.99 | 23 446 | 23 780 | 23 460 | 23 851 | 23 644 |
| 2.00 | 22 520 | 22 516 | 22 307 | 22 341 | 22 360 |
| 2.01 | 20 665 | 20 780 | 20 541 | 20 619 | 20 807 |
| 2.02 | 19 548 | 19 655 | 19 561 | 19 461 | 19 640 |
| 2.03 | 18 563 | 18 608 | 18 600 | 18 525 | 18 496 |
| 2.04 | 17 336 | 17 584 | 17 592 | 17 307 | 17 418 |
| 2.05 | 16 630 | 16 612 | 16 450 | 16 534 | 16 523 |
| 2.06 | 15 485 | 15 692 | 15 351 | 15 366 | 15 507 |
| 2.07 | 14 900 | 14 661 | 14 733 | 14 891 | 14 778 |
| 2.08 | 14 015 | 14 081 | 13 938 | 13 948 | 13 989 |
| 2.09 | 13 282 | 13 159 | 13 204 | 13 276 | 13 258 |
| 2.10 | 12 812 | 12 749 | 12 667 | 12 686 | 12 722 |
| 2.11 | 12 272 | 12 081 | 11 980 | 12 006 | 12 092 |
| 2.12 | 11 489 | 11 574 | 11 599 | 11 404 | 11 504 |
| 2.13 | 10 966 | 11 016 | 10 752 | 11 018 | 10 965 |
| 2.14 | 10 721 | 10 606 | 10 490 | 10 288 | 10 521 |
| 2.15 | 10 026 | 10 140 | 10 081 | 10 154 | 10 066 |
| 2.16 | 9 739 | 9 598 | 9 584 | 9 865 | 9 661 |
| 2.17 | 9 319 | 9 203 | 9 500 | 9 280 | 9 295 |
| 2.18 | 8 949 | 9 094 | 9 013 | 8 852 | 8 968 |
| 2.19 | 8 437 | 8 639 | 8 699 | 8 740 | 8 621 |
| 2.20 | 8 387 | 8 209 | 8 386 | 8 389 | 8 325 |
| 2.21 | 8 027 | 7 970 | 7 995 | 8 064 | 8 049 |
| 2.22 | 7 622 | 7 749 | 7 800 | 7 762 | 7 688 |
| 2.23 | 7 417 | 7 535 | 7 371 | 7 380 | 7 453 |
| 2.24 | 7 315 | 7 254 | 7 137 | 7 239 | 7 248 |
| 2.25 | 7 086 | 7 009 | 6 994 | 7 033 | 7 049 |
| 2.26 | 6 689 | 6 820 | 6 841 | 6 703 | 6 778 |
| 2.27 | 6 637 | 6 493 | 6 542 | 6 607 | 6 589 |
| 2.28 | 6 393 | 6 411 | 6 392 | 6 366 | 6 391 |
| 2.29 | 6 226 | 6 269 | 6 344 | 6 229 | 6 257 |
| 2.30 | 6 129 | 6 189 | 6 112 | 6 058 | 6 120 |

| | | | | | |
|------|-------|-------|-------|-------|-------|
| 2.31 | 5 888 | 5 938 | 5 975 | 5 909 | 5 914 |
| 2.32 | 5 712 | 5 847 | 5 770 | 5 772 | 5 770 |
| 2.33 | 5 731 | 5 655 | 5 669 | 5 785 | 5 633 |
| 2.34 | 5 435 | 5 455 | 5 541 | 5 578 | 5 486 |
| 2.35 | 5 365 | 5 326 | 5 441 | 5 376 | 5 373 |
| 2.36 | 5 397 | 5 334 | 5 185 | 5 316 | 5 287 |
| 2.37 | 5 226 | 5 167 | 5 234 | 5 064 | 5 141 |
| 2.38 | 5 080 | 4 949 | 5 037 | 4 925 | 5 007 |
| 2.39 | 4 922 | 4 788 | 4 909 | 4 863 | 4 889 |
| 2.40 | 4 910 | 4 815 | 4 797 | 4 974 | 4 828 |
| 2.41 | 4 777 | 4 682 | 4 749 | 4 657 | 4 712 |
| 2.42 | 4 636 | 4 631 | 4 485 | 4 572 | 4 599 |
| 2.43 | 4 660 | 4 546 | 4 597 | 4 430 | 4 512 |
| 2.44 | 4 385 | 4 478 | 4 455 | 4 429 | 4 464 |
| 2.45 | 4 407 | 4 385 | 4 307 | 4 426 | 4 366 |
| 2.46 | 4 212 | 4 189 | 4 191 | 4 317 | 4 277 |
| 2.47 | 4 152 | 4 398 | 4 100 | 4 217 | 4 204 |
| 2.48 | 4 111 | 4 252 | 4 127 | 4 200 | 4 173 |
| 2.49 | 4 151 | 4 079 | 4 048 | 4 098 | 4 113 |
| 2.50 | 3 907 | 4 019 | 4 008 | 4 049 | 4 026 |
| 2.51 | 4 000 | 4 021 | 3 978 | 3 885 | 3 958 |
| 2.52 | 3 939 | 3 853 | 3 902 | 3 791 | 3 871 |
| 2.53 | 3 885 | 3 856 | 3 876 | 3 841 | 3 847 |
| 2.54 | 3 893 | 3 804 | 3 686 | 3 767 | 3 743 |
| 2.55 | 3 665 | 3 772 | 3 865 | 3 689 | 3 758 |
| 2.56 | 3 604 | 3 803 | 3 766 | 3 633 | 3 690 |
| 2.57 | 3 607 | 3 721 | 3 603 | 3 615 | 3 656 |
| 2.58 | 3 582 | 3 629 | 3 601 | 3 609 | 3 600 |
| 2.59 | 3 441 | 3 461 | 3 495 | 3 479 | 3 506 |
| 2.60 | 3 519 | 3 411 | 3 435 | 3 428 | 3 463 |
| 2.61 | 3 396 | 3 500 | 3 461 | 3 324 | 3 461 |
| 2.62 | 3 381 | 3 445 | 3 391 | 3 337 | 3 423 |

| | | | | | |
|------|-------|-------|-------|-------|-------|
| 2.63 | 3 412 | 3 438 | 3 359 | 3 372 | 3 369 |
| 2.64 | 3 372 | 3 372 | 3 233 | 3 403 | 3 354 |
| 2.65 | 3 343 | 3 262 | 3 414 | 3 289 | 3 329 |
| 2.66 | 3 241 | 3 400 | 3 337 | 3 333 | 3 291 |
| 2.67 | 3 178 | 3 190 | 3 267 | 3 127 | 3 204 |
| 2.68 | 3 251 | 3 226 | 3 243 | 3 077 | 3 190 |
| 2.69 | 3 121 | 3 188 | 3 215 | 3 197 | 3 185 |
| 2.70 | 3 011 | 3 027 | 3 169 | 3 038 | 3 100 |
| 2.71 | 3 083 | 3 034 | 3 108 | 2 997 | 3 087 |
| 2.72 | 3 006 | 3 096 | 3 030 | 3 085 | 3 042 |

Cuadro A.9: Aridades máximas registradas para un grafo de 10 000 000 nodos Parte 1.

| τ | 1 | 2 | 3 | 4 | 5 | 6 |
|--------|----------|----------|----------|----------|----------|----------|
| 1.92 | 117 234 | 117 245 | 117 865 | 117 135 | 117 398 | 117 192 |
| 1.93 | 107 546 | 107 145 | 107 429 | 106 954 | 107 845 | 107 198 |
| 1.94 | 98 868 | 98 103 | 97 854 | 98 286 | 98 273 | 98 840 |
| 1.95 | 89 933 | 90 426 | 90 379 | 90 058 | 90 482 | 90 198 |
| 1.96 | 82 983 | 82 832 | 83 214 | 82 992 | 82 543 | 83 189 |
| 1.97 | 75 986 | 76 268 | 76 704 | 75 982 | 76 423 | 76 163 |
| 1.98 | 70 292 | 70 197 | 70 344 | 70 539 | 70 539 | 70 582 |
| 1.99 | 64 901 | 64 997 | 65 351 | 65 659 | 65 375 | 65 201 |
| 2.00 | 60 802 | 61 168 | 60 740 | 61 049 | 60 809 | 60 723 |
| 2.01 | 56 534 | 56 142 | 55 822 | 55 795 | 56 593 | 55 758 |
| 2.02 | 52 254 | 52 034 | 52 419 | 52 092 | 52 637 | 52 311 |
| 2.03 | 49 049 | 48 804 | 49 393 | 48 994 | 48 486 | 48 978 |
| 2.04 | 45 761 | 45 221 | 45 677 | 45 320 | 45 744 | 45 451 |
| 2.05 | 42 480 | 42 733 | 42 509 | 42 645 | 42 879 | 42 764 |
| 2.06 | 40 288 | 39 639 | 39 638 | 40 040 | 39 647 | 40 079 |
| 2.07 | 37 626 | 37 654 | 37 487 | 37 422 | 37 601 | 37 656 |
| 2.08 | 35 626 | 35 235 | 35 246 | 35 930 | 35 429 | 35 639 |

| | | | | | | |
|------|--------|--------|--------|--------|--------|--------|
| 2.09 | 33 242 | 33 337 | 33 316 | 33 598 | 33 175 | 33 565 |
| 2.10 | 31 537 | 31 689 | 31 896 | 31 846 | 31 614 | 31 604 |
| 2.11 | 29 924 | 29 998 | 29 827 | 30 020 | 29 990 | 29 965 |
| 2.12 | 28 645 | 28 337 | 28 422 | 28 617 | 28 602 | 28 256 |
| 2.13 | 27 011 | 26 964 | 27 277 | 27 063 | 27 032 | 27 214 |
| 2.14 | 25 694 | 25 743 | 25 975 | 25 576 | 25 690 | 25 974 |
| 2.15 | 24 308 | 24 561 | 24 672 | 24 317 | 24 633 | 24 439 |
| 2.16 | 23 440 | 23 439 | 23 370 | 23 551 | 23 746 | 23 430 |
| 2.17 | 22 285 | 22 450 | 22 538 | 22 656 | 22 521 | 22 574 |
| 2.18 | 21 467 | 21 678 | 21 710 | 21 368 | 21 562 | 21 554 |
| 2.19 | 20 790 | 20 733 | 20 403 | 20 583 | 20 881 | 20 663 |
| 2.20 | 20 039 | 19 818 | 20 029 | 19 930 | 19 801 | 19 970 |
| 2.21 | 19 363 | 19 056 | 19 222 | 19 138 | 19 264 | 19 215 |
| 2.22 | 18 684 | 18 414 | 18 376 | 18 349 | 18 253 | 18 268 |
| 2.23 | 18 059 | 17 903 | 17 790 | 17 682 | 17 774 | 17 861 |
| 2.24 | 17 059 | 17 060 | 17 173 | 17 117 | 17 050 | 17 113 |
| 2.25 | 16 626 | 16 833 | 16 426 | 16 861 | 16 475 | 16 666 |
| 2.26 | 16 236 | 16 138 | 16 102 | 15 866 | 15 931 | 16 105 |
| 2.27 | 15 622 | 15 507 | 15 360 | 15 422 | 15 583 | 15 802 |
| 2.28 | 15 350 | 15 206 | 14 987 | 14 981 | 15 096 | 15 223 |
| 2.29 | 14 833 | 14 890 | 14 882 | 14 877 | 14 642 | 14 478 |
| 2.30 | 14 167 | 14 405 | 13 984 | 14 279 | 14 319 | 14 319 |
| 2.31 | 13 785 | 13 990 | 13 741 | 13 883 | 13 972 | 13 845 |
| 2.32 | 13 676 | 13 561 | 13 619 | 13 601 | 13 504 | 13 707 |
| 2.33 | 13 223 | 13 030 | 13 311 | 13 260 | 13 297 | 13 297 |
| 2.34 | 12 934 | 12 878 | 12 841 | 12 807 | 12 719 | 12 805 |
| 2.35 | 12 314 | 12 640 | 12 564 | 12 577 | 12 458 | 12 492 |
| 2.36 | 12 440 | 12 384 | 12 183 | 12 231 | 12 275 | 12 273 |
| 2.37 | 11 934 | 12 088 | 11 964 | 12 105 | 12 063 | 11 794 |
| 2.38 | 11 924 | 11 785 | 11 759 | 11 975 | 11 891 | 11 803 |
| 2.39 | 11 395 | 11 432 | 11 471 | 11 601 | 11 725 | 11 383 |
| 2.40 | 11 474 | 11 248 | 11 375 | 11 165 | 11 372 | 11 306 |

| | | | | | | |
|------|--------|--------|--------|--------|--------|--------|
| 2.41 | 11 055 | 11 101 | 10 950 | 10 935 | 10 988 | 10 984 |
| 2.42 | 10 708 | 11 005 | 10 646 | 10 956 | 10 742 | 10 739 |
| 2.43 | 10 539 | 10 596 | 10 677 | 10 560 | 10 434 | 10 675 |
| 2.44 | 10 168 | 10 291 | 10 522 | 10 390 | 10 419 | 10 477 |
| 2.45 | 10 212 | 10 179 | 10 226 | 10 329 | 10 236 | 10 471 |
| 2.46 | 9 982 | 9 952 | 10 094 | 9 961 | 10 043 | 10 038 |
| 2.47 | 9 860 | 9 860 | 9 765 | 9 845 | 9 821 | 10 067 |
| 2.48 | 9 898 | 9 602 | 9 787 | 9 660 | 9 681 | 9 563 |
| 2.49 | 9 642 | 9 628 | 9 442 | 9 434 | 9 588 | 9 405 |
| 2.50 | 9 324 | 9 520 | 9 546 | 9 421 | 9 275 | 9 556 |
| 2.51 | 9 268 | 9 277 | 9 066 | 9 293 | 9 037 | 9 242 |
| 2.52 | 9 047 | 8 970 | 9 076 | 9 261 | 9 254 | 9 271 |
| 2.53 | 8 880 | 8 925 | 9 005 | 8 806 | 9 111 | 8 986 |
| 2.54 | 8 877 | 8 804 | 8 788 | 8 917 | 8 819 | 9 032 |
| 2.55 | 8 633 | 8 774 | 8 881 | 8 775 | 8 752 | 8 770 |
| 2.56 | 8 814 | 8 628 | 8 354 | 8 663 | 8 729 | 8 647 |
| 2.57 | 8 411 | 8 550 | 8 582 | 8 566 | 8 505 | 8 507 |
| 2.58 | 8 383 | 8 408 | 8 535 | 8 346 | 8 506 | 8 265 |
| 2.59 | 8 125 | 8 316 | 8 226 | 8 218 | 8 268 | 8 236 |
| 2.60 | 8 121 | 8 157 | 8 141 | 8 016 | 8 146 | 8 075 |
| 2.61 | 8 095 | 7 982 | 8 193 | 8 111 | 7 941 | 7 928 |
| 2.62 | 7 955 | 7 981 | 7 885 | 7 996 | 7 899 | 8 015 |
| 2.63 | 7 901 | 7 858 | 7 900 | 7 925 | 7 986 | 7 967 |
| 2.64 | 7 837 | 7 570 | 7 669 | 7 757 | 7 771 | 7 708 |
| 2.65 | 7 645 | 7 674 | 7 608 | 7 813 | 7 587 | 7 670 |
| 2.66 | 7 574 | 7 624 | 7 434 | 7 451 | 7 722 | 7 579 |
| 2.67 | 7 326 | 7 622 | 7 407 | 7 430 | 7 455 | 7 527 |
| 2.68 | 7 293 | 7 541 | 7 505 | 7 575 | 7 448 | 7 650 |
| 2.69 | 7 389 | 7 679 | 7 324 | 7 354 | 7 278 | 7 351 |
| 2.70 | 7 323 | 7 300 | 7 236 | 7 401 | 7 241 | 7 277 |
| 2.71 | 7 003 | 7 250 | 7 266 | 7 219 | 7 213 | 7 167 |
| 2.72 | 7 188 | 7 155 | 7 221 | 7 227 | 7 102 | 7 097 |

Cuadro A.10: Aridades máximas registradas para un grafo de 10 000 000 nodos Parte 2.

| τ | 7 | 8 | 9 | 10 | Promedio |
|--------|----------|----------|----------|-----------|-----------------|
| 1.92 | 117 082 | 116 711 | 117 157 | 117 033 | 117 205 |
| 1.93 | 106 970 | 107 212 | 106 992 | 107 338 | 107 263 |
| 1.94 | 98 049 | 98 410 | 98 724 | 97 885 | 98 329 |
| 1.95 | 89 819 | 90 604 | 90 418 | 90 199 | 90 252 |
| 1.96 | 82 422 | 83 143 | 83 144 | 82 746 | 82 921 |
| 1.97 | 76 654 | 76 827 | 76 645 | 76 039 | 76 369 |
| 1.98 | 70 435 | 70 205 | 70 432 | 70 398 | 70 396 |
| 1.99 | 65 270 | 65 134 | 65 552 | 65 522 | 65 296 |
| 2.00 | 60 607 | 61 092 | 60 526 | 60 939 | 60 846 |
| 2.01 | 56 265 | 55 766 | 56 312 | 56 547 | 56 153 |
| 2.02 | 52 211 | 52 112 | 52 394 | 52 448 | 52 291 |
| 2.03 | 48 645 | 48 906 | 48 747 | 48 581 | 48 858 |
| 2.04 | 45 489 | 45 389 | 45 483 | 45 450 | 45 499 |
| 2.05 | 42 485 | 42 975 | 42 961 | 42 836 | 42 727 |
| 2.06 | 40 407 | 39 931 | 40 277 | 40 012 | 39 996 |
| 2.07 | 37 172 | 37 909 | 37 315 | 37 485 | 37 533 |
| 2.08 | 35 553 | 35 758 | 35 597 | 35 181 | 35 519 |
| 2.09 | 33 481 | 33 412 | 33 517 | 33 407 | 33 405 |
| 2.10 | 31 598 | 31 495 | 31 952 | 31 812 | 31 704 |
| 2.11 | 30 281 | 30 018 | 30 004 | 29 757 | 29 978 |
| 2.12 | 28 508 | 28 535 | 28 486 | 28 712 | 28 512 |
| 2.13 | 27 096 | 27 152 | 27 033 | 27 354 | 27 120 |
| 2.14 | 25 902 | 25 582 | 25 800 | 25 969 | 25 791 |
| 2.15 | 24 433 | 24 625 | 24 206 | 24 528 | 24 472 |
| 2.16 | 23 617 | 23 761 | 23 343 | 23 564 | 23 526 |
| 2.17 | 22 219 | 22 765 | 22 461 | 22 679 | 22 515 |
| 2.18 | 21 554 | 21 580 | 21 398 | 21 725 | 21 560 |
| 2.19 | 20 733 | 20 908 | 20 861 | 20 623 | 20 718 |
| 2.20 | 19 893 | 19 846 | 19 947 | 20 085 | 19 936 |

| | | | | | |
|------|--------|--------|--------|--------|--------|
| 2.21 | 19 178 | 19 238 | 19 053 | 19 192 | 19 192 |
| 2.22 | 18 444 | 18 488 | 18 462 | 18 308 | 18 405 |
| 2.23 | 17 939 | 17 968 | 17 739 | 17 963 | 17 868 |
| 2.24 | 17 159 | 17 249 | 17 170 | 17 340 | 17 149 |
| 2.25 | 16 362 | 16 611 | 16 765 | 16 739 | 16 636 |
| 2.26 | 16 146 | 16 071 | 16 015 | 16 032 | 16 064 |
| 2.27 | 15 694 | 15 534 | 15 674 | 15 691 | 15 589 |
| 2.28 | 15 064 | 15 221 | 14 980 | 15 122 | 15 123 |
| 2.29 | 14 772 | 14 492 | 14 707 | 14 665 | 14 724 |
| 2.30 | 14 200 | 14 268 | 14 327 | 14 169 | 14 244 |
| 2.31 | 13 811 | 13 859 | 13 896 | 13 927 | 13 871 |
| 2.32 | 13 435 | 13 478 | 13 457 | 13 518 | 13 556 |
| 2.33 | 13 294 | 13 207 | 13 339 | 13 288 | 13 255 |
| 2.34 | 13 031 | 12 701 | 13 043 | 12 715 | 12 847 |
| 2.35 | 12 665 | 12 517 | 12 671 | 12 573 | 12 547 |
| 2.36 | 12 363 | 12 162 | 12 115 | 12 256 | 12 268 |
| 2.37 | 11 986 | 11 969 | 12 010 | 12 028 | 11 994 |
| 2.38 | 11 490 | 11 551 | 11 755 | 11 856 | 11 779 |
| 2.39 | 11 500 | 11 252 | 11 721 | 11 474 | 11 495 |
| 2.40 | 11 273 | 11 170 | 11 057 | 11 215 | 11 266 |
| 2.41 | 10 993 | 11 035 | 10 813 | 11 194 | 11 005 |
| 2.42 | 10 781 | 10 539 | 10 624 | 10 789 | 10 753 |
| 2.43 | 10 798 | 10 693 | 10 526 | 10 711 | 10 621 |
| 2.44 | 10 377 | 10 393 | 10 319 | 10 292 | 10 365 |
| 2.45 | 10 072 | 10 330 | 10 225 | 10 162 | 10 244 |
| 2.46 | 9 991 | 10 098 | 9 985 | 10 040 | 10 018 |
| 2.47 | 9 823 | 10 017 | 9 865 | 9 888 | 9 881 |
| 2.48 | 9 710 | 9 591 | 9 774 | 9 713 | 9 698 |
| 2.49 | 9 618 | 9 465 | 9 369 | 9 454 | 9 505 |
| 2.50 | 9 363 | 9 297 | 9 477 | 9 438 | 9 422 |
| 2.51 | 9 107 | 9 107 | 9 030 | 9 224 | 9 165 |
| 2.52 | 9 045 | 9 002 | 9 089 | 9 091 | 9 111 |

| | | | | | |
|------|-------|-------|-------|-------|-------|
| 2.53 | 8 859 | 9 073 | 9 078 | 8 960 | 8 968 |
| 2.54 | 8 817 | 8 788 | 8 812 | 8 840 | 8 849 |
| 2.55 | 8 802 | 8 694 | 8 733 | 8 887 | 8 770 |
| 2.56 | 8 574 | 8 811 | 8 575 | 8 688 | 8 648 |
| 2.57 | 8 472 | 8 561 | 8 508 | 8 395 | 8 506 |
| 2.58 | 8 493 | 8 275 | 8 366 | 8 274 | 8 385 |
| 2.59 | 8 265 | 8 290 | 8 299 | 8 221 | 8 246 |
| 2.60 | 8 230 | 8 264 | 8 269 | 8 105 | 8 152 |
| 2.61 | 7 961 | 8 152 | 7 913 | 8 134 | 8 041 |
| 2.62 | 8 131 | 7 970 | 8 041 | 8 081 | 7 995 |
| 2.63 | 7 847 | 7 849 | 7 824 | 7 872 | 7 893 |
| 2.64 | 7 662 | 7 664 | 7 965 | 7 708 | 7 731 |
| 2.65 | 7 573 | 7 755 | 7 596 | 7 732 | 7 665 |
| 2.66 | 7 559 | 7 375 | 7 497 | 7 502 | 7 532 |
| 2.67 | 7 436 | 7 564 | 7 426 | 7 456 | 7 465 |
| 2.68 | 7 268 | 7 466 | 7 476 | 7 267 | 7 449 |
| 2.69 | 7 318 | 7 272 | 7 461 | 7 378 | 7 380 |
| 2.70 | 7 317 | 7 299 | 7 225 | 7 467 | 7 309 |
| 2.71 | 7 106 | 7 215 | 7 213 | 7 065 | 7 172 |
| 2.72 | 7 117 | 7 225 | 7 041 | 7 195 | 7 157 |

A.2.2. Aridades máximas promedio registrados por tamaño del grafo y por τ

Cuadro A.11: Aridades máximas promedio registrados por tamaño del grafo y por τ .

| τ | n=1k | n=10k | n=100k | n=1M | n=10M |
|--------|-------|---------|---------|----------|-----------|
| 1.92 | 528.7 | 1 719.5 | 8 208.5 | 38 459.6 | 117 205.2 |
| 1.93 | 514.6 | 1 651.5 | 7 794.7 | 35 776.0 | 107 262.9 |
| 1.94 | 510.5 | 1 577.5 | 7 286.9 | 33 265.2 | 98 329.2 |
| 1.95 | 493.8 | 1 496.0 | 6 918.1 | 30 896.9 | 90 251.6 |

| | | | | | |
|------|-------|---------|---------|----------|----------|
| 1.96 | 470.8 | 1 440.2 | 6 533.4 | 28 903.0 | 82 920.8 |
| 1.97 | 446.3 | 1 380.5 | 6 179.3 | 26 977.9 | 76 369.1 |
| 1.98 | 463.8 | 1 313.1 | 5 838.8 | 25 189.9 | 70 396.3 |
| 1.99 | 426.3 | 1 281.8 | 5 546.5 | 23 644.1 | 65 296.2 |
| 2.00 | 419.5 | 1 237.4 | 5 341.6 | 22 360.2 | 60 845.5 |
| 2.01 | 408.2 | 1 169.2 | 5 019.0 | 20 807.2 | 56 153.4 |
| 2.02 | 394.7 | 1 133.7 | 4 785.8 | 19 639.9 | 52 291.2 |
| 2.03 | 397.5 | 1 107.1 | 4 530.4 | 18 495.7 | 48 858.3 |
| 2.04 | 368.3 | 1 052.6 | 4 333.9 | 17 417.8 | 45 498.5 |
| 2.05 | 367.9 | 1 024.8 | 4 140.4 | 16 523.2 | 42 726.7 |
| 2.06 | 351.6 | 977.8 | 3 914.1 | 15 507.1 | 39 995.8 |
| 2.07 | 349.6 | 938.9 | 3 809.6 | 14 777.5 | 37 532.7 |
| 2.08 | 339.5 | 899.9 | 3 563.1 | 13 989.4 | 35 519.4 |
| 2.09 | 327.7 | 887.8 | 3 462.5 | 13 258.1 | 33 405.0 |
| 2.10 | 327.5 | 851.1 | 3 299.4 | 12 721.9 | 31 704.3 |
| 2.11 | 304.9 | 836.1 | 3 206.3 | 12 092.1 | 29 978.4 |
| 2.12 | 312.2 | 791.5 | 3 046.1 | 11 503.8 | 28 512.0 |
| 2.13 | 302.2 | 773.5 | 2 932.1 | 10 965.0 | 27 119.6 |
| 2.14 | 294.1 | 739.1 | 2 853.5 | 10 521.4 | 25 790.5 |
| 2.15 | 285.3 | 729.6 | 2 737.3 | 10 066.0 | 24 472.2 |
| 2.16 | 274.0 | 715.8 | 2 594.1 | 9 660.6 | 23 526.1 |
| 2.17 | 270.6 | 679.2 | 2 549.0 | 9 294.7 | 22 514.8 |
| 2.18 | 264.9 | 664.6 | 2 424.4 | 8 967.8 | 21 559.6 |
| 2.19 | 263.6 | 633.4 | 2 323.4 | 8 620.8 | 20 717.8 |
| 2.20 | 256.8 | 619.3 | 2 275.8 | 8 325.0 | 19 935.8 |
| 2.21 | 247.0 | 601.4 | 2 220.9 | 8 049.3 | 19 191.9 |
| 2.22 | 236.1 | 587.0 | 2 145.6 | 7 687.7 | 18 404.6 |
| 2.23 | 241.0 | 572.8 | 2 070.6 | 7 452.7 | 17 867.8 |
| 2.24 | 233.9 | 569.1 | 2 026.6 | 7 247.9 | 17 149.0 |
| 2.25 | 232.3 | 546.3 | 1 968.7 | 7 049.2 | 16 636.4 |
| 2.26 | 225.6 | 539.9 | 1 904.2 | 6 777.6 | 16 064.2 |
| 2.27 | 229.7 | 524.3 | 1 844.8 | 6 588.8 | 15 588.9 |

| | | | | | |
|------|-------|-------|---------|---------|----------|
| 2.28 | 215.8 | 501.4 | 1 814.7 | 6 390.5 | 15 123.0 |
| 2.29 | 209.8 | 502.0 | 1 741.8 | 6 257.3 | 14 723.8 |
| 2.30 | 208.4 | 479.6 | 1 716.7 | 6 120.1 | 14 243.7 |
| 2.31 | 207.1 | 474.4 | 1 660.1 | 5 913.5 | 13 870.9 |
| 2.32 | 205.5 | 457.8 | 1 632.3 | 5 769.8 | 13 555.6 |
| 2.33 | 197.1 | 464.9 | 1 582.0 | 5 632.7 | 13 254.6 |
| 2.34 | 182.7 | 441.3 | 1 571.0 | 5 486.2 | 12 847.4 |
| 2.35 | 186.3 | 438.8 | 1 500.2 | 5 372.8 | 12 547.1 |
| 2.36 | 191.6 | 420.3 | 1 464.7 | 5 287.4 | 12 268.2 |
| 2.37 | 186.7 | 426.0 | 1 474.1 | 5 140.5 | 11 994.1 |
| 2.38 | 180.8 | 414.1 | 1 423.3 | 5 006.6 | 11 778.9 |
| 2.39 | 181.4 | 407.7 | 1 391.6 | 4 888.5 | 11 495.4 |
| 2.40 | 178.0 | 394.7 | 1 349.9 | 4 827.9 | 11 265.5 |
| 2.41 | 170.7 | 397.1 | 1 358.0 | 4 712.3 | 11 004.8 |
| 2.42 | 172.7 | 379.8 | 1 314.8 | 4 599.2 | 10 752.9 |
| 2.43 | 163.5 | 379.2 | 1 284.8 | 4 511.6 | 10 620.9 |
| 2.44 | 171.6 | 382.9 | 1 274.0 | 4 464.4 | 10 364.8 |
| 2.45 | 165.1 | 363.9 | 1 248.7 | 4 365.8 | 10 244.2 |
| 2.46 | 165.6 | 362.4 | 1 216.6 | 4 276.8 | 10 018.4 |
| 2.47 | 154.4 | 355.9 | 1 201.5 | 4 204.0 | 9 881.1 |
| 2.48 | 147.8 | 340.5 | 1 195.7 | 4 173.0 | 9 697.9 |
| 2.49 | 156.5 | 353.3 | 1 186.8 | 4 112.8 | 9 504.5 |
| 2.50 | 144.0 | 335.4 | 1 144.7 | 4 025.5 | 9 421.7 |
| 2.51 | 145.6 | 336.7 | 1 168.9 | 3 957.6 | 9 165.1 |
| 2.52 | 146.5 | 334.0 | 1 108.0 | 3 871.0 | 9 110.6 |
| 2.53 | 146.7 | 326.7 | 1 092.3 | 3 846.8 | 8 968.3 |
| 2.54 | 145.1 | 316.6 | 1 090.9 | 3 743.2 | 8 849.4 |
| 2.55 | 145.2 | 319.0 | 1 078.4 | 3 757.9 | 8 770.1 |
| 2.56 | 139.2 | 312.1 | 1 058.1 | 3 689.5 | 8 648.3 |
| 2.57 | 134.4 | 312.0 | 1 048.8 | 3 655.6 | 8 505.7 |
| 2.58 | 132.2 | 300.2 | 1 010.1 | 3 599.9 | 8 385.1 |
| 2.59 | 131.7 | 299.5 | 1 016.8 | 3 506.0 | 8 246.4 |

| | | | | | |
|------|-------|-------|---------|---------|---------|
| 2.60 | 131.7 | 294.8 | 985.1 | 3 462.7 | 8 152.4 |
| 2.61 | 134.9 | 292.2 | 1 000.8 | 3 460.9 | 8 041.0 |
| 2.62 | 132.8 | 290.9 | 983.1 | 3 423.4 | 7 995.4 |
| 2.63 | 128.7 | 280.9 | 977.3 | 3 368.7 | 7 892.9 |
| 2.64 | 124.6 | 285.9 | 957.7 | 3 354.4 | 7 731.1 |
| 2.65 | 132.5 | 288.8 | 948.8 | 3 328.6 | 7 665.3 |
| 2.66 | 118.8 | 274.1 | 920.8 | 3 290.6 | 7 531.7 |
| 2.67 | 126.7 | 275.4 | 930.0 | 3 204.1 | 7 464.9 |
| 2.68 | 128.8 | 272.4 | 919.5 | 3 190.3 | 7 448.9 |
| 2.69 | 119.3 | 272.3 | 897.9 | 3 185.3 | 7 380.4 |
| 2.70 | 120.2 | 263.1 | 900.4 | 3 100.1 | 7 308.6 |
| 2.71 | 116.3 | 268.0 | 876.5 | 3 087.3 | 7 171.7 |
| 2.72 | 120.1 | 261.2 | 872.6 | 3 042.1 | 7 156.8 |

A.2.3. Registro de la Constate de Proporcionalidad y el Exponente de la potencia.

Cuadro A.12: Constante de proporcionalidad y exponente de potencia por cada valor de τ .

| τ | Constante de proporcionalidad | Exponente de la potencia |
|--------|-------------------------------|--------------------------|
| 1.92 | 7.6706 | 0.6041 |
| 1.93 | 7.8379 | 0.5974 |
| 1.94 | 8.1272 | 0.5893 |
| 1.95 | 8.1540 | 0.5839 |
| 1.96 | 8.0931 | 0.5794 |
| 1.97 | 7.9456 | 0.5758 |
| 1.98 | 8.6549 | 0.5645 |
| 1.99 | 8.2397 | 0.5636 |
| 2.00 | 8.4206 | 0.5580 |
| 2.01 | 8.4281 | 0.5527 |

| | | |
|------|--------|--------|
| 2.02 | 8.4523 | 0.5483 |
| 2.03 | 8.9144 | 0.5402 |
| 2.04 | 8.3889 | 0.5402 |
| 2.05 | 8.7045 | 0.5337 |
| 2.06 | 8.4760 | 0.5312 |
| 2.07 | 8.6873 | 0.5259 |
| 2.08 | 8.5349 | 0.5231 |
| 2.09 | 8.5996 | 0.5191 |
| 2.10 | 8.7230 | 0.5146 |
| 2.11 | 8.3478 | 0.5146 |
| 2.12 | 8.6439 | 0.5084 |
| 2.13 | 8.5720 | 0.5058 |
| 2.14 | 8.4250 | 0.5039 |
| 2.15 | 8.4370 | 0.5007 |
| 2.16 | 8.1981 | 0.4998 |
| 2.17 | 8.1287 | 0.4977 |
| 2.18 | 8.0852 | 0.4951 |
| 2.19 | 8.0500 | 0.4925 |
| 2.20 | 7.9698 | 0.4909 |
| 2.21 | 7.7221 | 0.4907 |
| 2.22 | 7.4884 | 0.4901 |
| 2.23 | 7.7427 | 0.4854 |
| 2.24 | 7.7156 | 0.4835 |
| 2.25 | 7.6385 | 0.4821 |
| 2.26 | 7.5606 | 0.4804 |
| 2.27 | 7.7695 | 0.4763 |
| 2.28 | 7.2008 | 0.4797 |
| 2.29 | 7.1044 | 0.4788 |
| 2.30 | 7.0357 | 0.4775 |
| 2.31 | 7.1041 | 0.4748 |
| 2.32 | 7.0204 | 0.4739 |
| 2.33 | 6.8787 | 0.4739 |

| | | |
|------|--------|--------|
| 2.34 | 6.2489 | 0.4789 |
| 2.35 | 6.4741 | 0.4745 |
| 2.36 | 6.6148 | 0.4712 |
| 2.37 | 6.6556 | 0.4697 |
| 2.38 | 6.3756 | 0.4710 |
| 2.39 | 6.4734 | 0.4683 |
| 2.40 | 6.2723 | 0.4690 |
| 2.41 | 6.1554 | 0.4693 |
| 2.42 | 6.1686 | 0.4672 |
| 2.43 | 5.8340 | 0.4701 |
| 2.44 | 6.3568 | 0.4629 |
| 2.45 | 5.9275 | 0.4665 |
| 2.46 | 6.0445 | 0.4635 |
| 2.47 | 5.5630 | 0.4685 |
| 2.48 | 5.2016 | 0.4722 |
| 2.49 | 5.8265 | 0.4633 |
| 2.50 | 5.1159 | 0.4711 |
| 2.51 | 5.3639 | 0.4668 |
| 2.52 | 5.3771 | 0.4651 |
| 2.53 | 5.3653 | 0.4644 |
| 2.54 | 5.2773 | 0.4643 |
| 2.55 | 5.3294 | 0.4633 |
| 2.56 | 5.0541 | 0.4659 |
| 2.57 | 4.9144 | 0.4671 |
| 2.58 | 4.7298 | 0.4683 |
| 2.59 | 4.8081 | 0.4662 |
| 2.60 | 4.7865 | 0.4653 |
| 2.61 | 4.9666 | 0.4624 |
| 2.62 | 4.8794 | 0.4630 |
| 2.63 | 4.6501 | 0.4654 |
| 2.64 | 4.5913 | 0.4655 |
| 2.65 | 5.0143 | 0.4586 |

| | | |
|------|--------|--------|
| 2.66 | 4.2899 | 0.4684 |
| 2.67 | 4.7301 | 0.4606 |
| 2.68 | 4.7911 | 0.4593 |
| 2.69 | 4.3827 | 0.4651 |
| 2.70 | 4.3891 | 0.4639 |
| 2.71 | 4.3208 | 0.4642 |
| 2.72 | 4.4337 | 0.4617 |

A.2.4. Registro de las Aridades Máximas Obtenidas en la Simulación

Cuadro A.13: Aridades máximas obtenidas de la fórmula de la aridad máxima.

| τ | 1 000 | 10 000 | 100 000 | 1 000 000 | 10 000 000 |
|--------|---------|-----------|-----------|------------|-------------|
| 1.92 | 506.593 | 2 034.288 | 8 168.948 | 32 803.471 | 131 726.586 |
| 1.93 | 487.234 | 1 924.261 | 7 599.597 | 30 013.535 | 118 534.223 |
| 1.94 | 469.420 | 1 824.806 | 7 093.690 | 27 575.772 | 107 197.127 |
| 1.95 | 452.978 | 1 734.600 | 6 642.355 | 25 435.764 | 97 401.914 |
| 1.96 | 437.757 | 1 652.511 | 6 238.153 | 23 548.739 | 88 895.406 |
| 1.97 | 423.625 | 1 577.568 | 5 874.819 | 21 877.665 | 81 471.826 |
| 1.98 | 410.467 | 1 508.934 | 5 547.055 | 20 391.753 | 74 962.952 |
| 1.99 | 398.181 | 1 445.889 | 5 250.360 | 19 065.284 | 69 230.506 |
| 2.00 | 386.678 | 1 387.804 | 4 980.895 | 17 876.669 | 64 160.214 |
| 2.01 | 375.877 | 1 334.136 | 4 735.375 | 16 807.707 | 59 657.163 |
| 2.02 | 365.710 | 1 284.410 | 4 510.976 | 15 842.989 | 55 642.132 |
| 2.03 | 356.114 | 1 238.211 | 4 305.263 | 14 969.412 | 52 048.691 |
| 2.04 | 347.034 | 1 195.173 | 4 116.129 | 14 175.792 | 48 820.885 |
| 2.05 | 338.421 | 1 154.976 | 3 941.748 | 13 452.549 | 45 911.380 |
| 2.06 | 330.231 | 1 117.339 | 3 780.526 | 12 791.445 | 43 279.971 |
| 2.07 | 322.425 | 1 082.011 | 3 631.075 | 12 185.371 | 40 892.371 |
| 2.08 | 314.968 | 1 048.772 | 3 492.177 | 11 628.173 | 38 719.232 |
| 2.09 | 307.829 | 1 017.426 | 3 362.765 | 11 114.509 | 36 735.342 |
| 2.10 | 300.980 | 987.799 | 3 241.898 | 10 639.724 | 34 918.966 |

| | | | | | |
|------|---------|---------|-----------|------------|------------|
| 2.11 | 294.396 | 959.736 | 3 128.748 | 10 199.753 | 33 251.305 |
| 2.12 | 288.056 | 933.099 | 3 022.582 | 9 791.035 | 31 716.049 |
| 2.13 | 281.939 | 907.765 | 2 922.751 | 9 410.443 | 30 299.001 |
| 2.14 | 276.027 | 883.625 | 2 828.678 | 9 055.224 | 28 987.771 |
| 2.15 | 270.305 | 860.579 | 2 739.851 | 8 722.948 | 27 771.516 |
| 2.16 | 264.758 | 838.540 | 2 655.814 | 8 411.468 | 26 640.718 |
| 2.17 | 259.374 | 817.428 | 2 576.160 | 8 118.880 | 25 587.004 |
| 2.18 | 254.141 | 797.173 | 2 500.524 | 7 843.492 | 24 602.990 |
| 2.19 | 249.048 | 777.711 | 2 428.581 | 7 583.799 | 23 682.150 |
| 2.20 | 244.089 | 758.985 | 2 360.039 | 7 338.461 | 22 818.700 |
| 2.21 | 239.253 | 740.944 | 2 294.636 | 7 106.280 | 22 007.506 |
| 2.22 | 234.534 | 723.541 | 2 232.138 | 6 886.185 | 21 244.003 |
| 2.23 | 229.926 | 706.736 | 2 172.333 | 6 677.216 | 20 524.118 |
| 2.24 | 225.423 | 690.491 | 2 115.030 | 6 478.512 | 19 844.219 |
| 2.25 | 221.021 | 674.771 | 2 060.058 | 6 289.299 | 19 201.054 |
| 2.26 | 216.715 | 659.548 | 2 007.262 | 6 108.882 | 18 591.708 |
| 2.27 | 212.501 | 644.794 | 1 956.504 | 5 936.633 | 18 013.569 |
| 2.28 | 208.377 | 630.484 | 1 907.655 | 5 771.987 | 17 464.284 |
| 2.29 | 204.338 | 616.597 | 1 860.603 | 5 614.431 | 16 941.737 |
| 2.30 | 200.383 | 603.112 | 1 815.243 | 5 463.505 | 16 444.020 |
| 2.31 | 196.510 | 590.012 | 1 771.482 | 5 318.790 | 15 969.410 |
| 2.32 | 192.716 | 577.280 | 1 729.235 | 5 179.905 | 15 516.346 |
| 2.33 | 189.001 | 564.902 | 1 688.425 | 5 046.506 | 15 083.417 |
| 2.34 | 185.362 | 552.864 | 1 648.981 | 4 918.279 | 14 669.341 |
| 2.35 | 181.799 | 541.155 | 1 610.839 | 4 794.939 | 14 272.956 |
| 2.36 | 178.310 | 529.763 | 1 573.941 | 4 676.225 | 13 893.202 |
| 2.37 | 174.894 | 518.679 | 1 538.233 | 4 561.900 | 13 529.114 |
| 2.38 | 171.551 | 507.894 | 1 503.667 | 4 451.746 | 13 179.811 |
| 2.39 | 168.281 | 497.399 | 1 470.197 | 4 345.563 | 12 844.488 |
| 2.40 | 165.081 | 487.187 | 1 437.782 | 4 243.169 | 12 522.408 |
| 2.41 | 161.953 | 477.250 | 1 406.384 | 4 144.395 | 12 212.894 |
| 2.42 | 158.895 | 467.584 | 1 375.968 | 4 049.086 | 11 915.325 |

| | | | | | |
|------|---------|---------|-----------|-----------|------------|
| 2.43 | 155.907 | 458.180 | 1 346.501 | 3 957.098 | 11 629.127 |
| 2.44 | 152.989 | 449.034 | 1 317.953 | 3 868.299 | 11 353.773 |
| 2.45 | 150.139 | 440.141 | 1 290.296 | 3 782.565 | 11 088.775 |
| 2.46 | 147.359 | 431.495 | 1 263.503 | 3 699.781 | 10 833.679 |
| 2.47 | 144.647 | 423.092 | 1 237.549 | 3 619.841 | 10 588.066 |
| 2.48 | 142.002 | 414.927 | 1 212.411 | 3 542.643 | 10 351.544 |
| 2.49 | 139.425 | 406.996 | 1 188.066 | 3 468.095 | 10 123.749 |
| 2.50 | 136.914 | 399.295 | 1 164.494 | 3 396.108 | 9 904.339 |
| 2.51 | 134.470 | 391.818 | 1 141.675 | 3 326.597 | 9 692.996 |
| 2.52 | 132.092 | 384.563 | 1 119.589 | 3 259.485 | 9 489.417 |
| 2.53 | 129.779 | 377.526 | 1 098.217 | 3 194.696 | 9 293.320 |
| 2.54 | 127.531 | 370.702 | 1 077.543 | 3 132.159 | 9 104.438 |
| 2.55 | 125.347 | 364.088 | 1 057.548 | 3 071.805 | 8 922.517 |
| 2.56 | 123.225 | 357.679 | 1 038.216 | 3 013.570 | 8 747.316 |
| 2.57 | 121.167 | 351.473 | 1 019.531 | 2 957.390 | 8 578.608 |
| 2.58 | 119.170 | 345.465 | 1 001.476 | 2 903.205 | 8 416.174 |
| 2.59 | 117.234 | 339.651 | 984.037 | 2 850.957 | 8 259.806 |
| 2.60 | 115.358 | 334.027 | 967.199 | 2 800.591 | 8 109.304 |
| 2.61 | 113.541 | 328.590 | 950.945 | 2 752.050 | 7 964.476 |
| 2.62 | 111.783 | 323.336 | 935.263 | 2 705.284 | 7 825.138 |
| 2.63 | 110.082 | 318.261 | 920.137 | 2 660.240 | 7 691.113 |
| 2.64 | 108.437 | 313.361 | 905.553 | 2 616.868 | 7 562.229 |
| 2.65 | 106.848 | 308.633 | 891.497 | 2 575.119 | 7 438.320 |
| 2.66 | 105.312 | 304.072 | 877.955 | 2 534.946 | 7 319.227 |
| 2.67 | 103.830 | 299.674 | 864.914 | 2 496.303 | 7 204.795 |
| 2.68 | 102.401 | 295.436 | 852.361 | 2 459.144 | 7 094.871 |
| 2.69 | 101.022 | 291.353 | 840.281 | 2 423.424 | 6 989.311 |
| 2.70 | 99.693 | 287.422 | 828.662 | 2 389.100 | 6 887.971 |
| 2.71 | 98.413 | 283.639 | 817.491 | 2 356.130 | 6 790.714 |
| 2.72 | 97.180 | 280.001 | 806.755 | 2 324.471 | 6 697.405 |

A.2.5. Registro de la Diferencia entre la Simulación y los Valores Empíricos de la Aridad Máxima.

Cuadro A.14: Diferencia entre la aridad registrada por la simulación y los datos empíricos.

| τ | 1 000 | 10 000 | 100 000 | 1 000 000 | 10 000 000 |
|--------|--------|--------|---------|-----------|------------|
| 1.92 | -22.11 | 314.79 | -39.55 | -5 656.13 | 14 521.39 |
| 1.93 | -27.37 | 272.76 | -195.10 | -5 762.46 | 11 271.32 |
| 1.94 | -41.08 | 247.31 | -193.21 | -5 689.43 | 8 867.93 |
| 1.95 | -40.82 | 238.60 | -275.74 | -5 461.14 | 7 150.31 |
| 1.96 | -33.04 | 212.31 | -295.25 | -5 354.26 | 5 974.61 |
| 1.97 | -22.68 | 197.07 | -304.48 | -5 100.23 | 5 102.73 |
| 1.98 | -53.33 | 195.83 | -291.75 | -4 798.15 | 4 566.65 |
| 1.99 | -28.12 | 164.09 | -296.14 | -4 578.82 | 3 934.31 |
| 2.00 | -32.82 | 150.40 | -360.70 | -4 483.53 | 3 314.71 |
| 2.01 | -32.32 | 164.94 | -283.63 | -3 999.49 | 3 503.76 |
| 2.02 | -28.99 | 150.71 | -274.82 | -3 796.91 | 3 350.93 |
| 2.03 | -41.39 | 131.11 | -225.14 | -3 526.29 | 3 190.39 |
| 2.04 | -21.27 | 142.57 | -217.77 | -3 242.01 | 3 322.39 |
| 2.05 | -29.48 | 130.18 | -198.65 | -3 070.65 | 3 184.68 |
| 2.06 | -21.37 | 139.54 | -133.57 | -2 715.65 | 3 284.17 |
| 2.07 | -27.18 | 143.11 | -178.53 | -2 592.13 | 3 359.67 |
| 2.08 | -24.53 | 148.87 | -70.92 | -2 361.23 | 3 199.83 |
| 2.09 | -19.87 | 129.63 | -99.74 | -2 143.59 | 3 330.34 |
| 2.10 | -26.52 | 136.70 | -57.50 | -2 082.18 | 3 214.67 |
| 2.11 | -10.50 | 123.64 | -77.55 | -1 892.35 | 3 272.91 |
| 2.12 | -24.14 | 141.60 | -23.52 | -1 712.76 | 3 204.05 |
| 2.13 | -20.26 | 134.27 | -9.35 | -1 554.56 | 3 179.40 |
| 2.14 | -18.07 | 144.52 | -24.82 | -1 466.18 | 3 197.27 |
| 2.15 | -14.99 | 130.98 | 2.55 | -1 343.05 | 3 299.32 |
| 2.16 | -9.24 | 122.74 | 61.71 | -1 249.13 | 3 114.62 |
| 2.17 | -11.23 | 138.23 | 27.16 | -1 175.82 | 3 072.20 |

| | | | | | |
|------|--------|--------|--------|-----------|----------|
| 2.18 | -10.76 | 132.57 | 76.12 | -1 124.31 | 3 043.39 |
| 2.19 | -14.55 | 144.31 | 105.18 | -1 037.00 | 2 964.35 |
| 2.20 | -12.71 | 139.69 | 84.24 | -986.54 | 2 882.90 |
| 2.21 | -7.75 | 139.54 | 73.74 | -943.02 | 2 815.61 |
| 2.22 | -1.57 | 136.54 | 86.54 | -801.51 | 2 839.40 |
| 2.23 | -11.07 | 133.94 | 101.73 | -775.48 | 2 656.32 |
| 2.24 | -8.48 | 121.39 | 88.43 | -769.39 | 2 695.22 |
| 2.25 | -11.28 | 128.47 | 91.36 | -759.90 | 2 564.65 |
| 2.26 | -8.88 | 119.65 | 103.06 | -668.72 | 2 527.51 |
| 2.27 | -17.20 | 120.49 | 111.70 | -652.17 | 2 424.67 |
| 2.28 | -7.42 | 129.08 | 92.95 | -618.51 | 2 341.28 |
| 2.29 | -5.46 | 114.60 | 118.80 | -642.87 | 2 217.94 |
| 2.30 | -8.02 | 123.51 | 98.54 | -656.59 | 2 200.32 |
| 2.31 | -10.59 | 115.61 | 111.38 | -594.71 | 2 098.51 |
| 2.32 | -12.78 | 119.48 | 96.94 | -589.90 | 1 960.75 |
| 2.33 | -8.10 | 100.00 | 106.43 | -586.19 | 1 828.82 |
| 2.34 | 2.66 | 111.56 | 77.98 | -567.92 | 1 821.94 |
| 2.35 | -4.50 | 102.35 | 110.64 | -577.86 | 1 725.86 |
| 2.36 | -13.29 | 109.46 | 109.24 | -611.17 | 1 625.00 |
| 2.37 | -11.81 | 92.68 | 64.13 | -578.60 | 1 535.01 |
| 2.38 | -9.25 | 93.79 | 80.37 | -554.85 | 1 400.91 |
| 2.39 | -13.12 | 89.70 | 78.60 | -542.94 | 1 349.09 |
| 2.40 | -12.92 | 92.49 | 87.88 | -584.73 | 1 256.91 |
| 2.41 | -8.75 | 80.15 | 48.38 | -567.90 | 1 208.09 |
| 2.42 | -13.80 | 87.78 | 61.17 | -550.11 | 1 162.42 |
| 2.43 | -7.59 | 78.98 | 61.70 | -554.50 | 1 008.23 |
| 2.44 | -18.61 | 66.13 | 43.95 | -596.10 | 988.97 |
| 2.45 | -14.96 | 76.24 | 41.60 | -583.24 | 844.57 |
| 2.46 | -18.24 | 69.10 | 46.90 | -577.02 | 815.28 |
| 2.47 | -9.75 | 67.19 | 36.05 | -584.16 | 706.97 |
| 2.48 | -5.80 | 74.43 | 16.71 | -630.36 | 653.64 |
| 2.49 | -17.08 | 53.70 | 1.27 | -644.70 | 619.25 |

| | | | | | |
|------|--------|-------|--------|---------|---------|
| 2.50 | -7.09 | 63.89 | 19.79 | -629.39 | 482.64 |
| 2.51 | -11.13 | 55.12 | -27.22 | -631.00 | 527.90 |
| 2.52 | -14.41 | 50.56 | 11.59 | -611.51 | 378.82 |
| 2.53 | -16.92 | 50.83 | 5.92 | -652.10 | 325.02 |
| 2.54 | -17.57 | 54.10 | -13.36 | -611.04 | 255.04 |
| 2.55 | -19.85 | 45.09 | -20.85 | -686.09 | 152.42 |
| 2.56 | -15.97 | 45.58 | -19.88 | -675.93 | 99.02 |
| 2.57 | -13.23 | 39.47 | -29.27 | -698.21 | 72.91 |
| 2.58 | -13.03 | 45.26 | -8.62 | -696.70 | 31.07 |
| 2.59 | -14.47 | 40.15 | -32.76 | -655.04 | 13.41 |
| 2.60 | -16.34 | 39.23 | -17.90 | -662.11 | -43.10 |
| 2.61 | -21.36 | 36.39 | -49.85 | -708.85 | -76.52 |
| 2.62 | -21.02 | 32.44 | -47.84 | -718.12 | -170.26 |
| 2.63 | -18.62 | 37.36 | -57.16 | -708.46 | -201.79 |
| 2.64 | -16.16 | 27.46 | -52.15 | -737.53 | -168.87 |
| 2.65 | -25.65 | 19.83 | -57.30 | -753.48 | -226.98 |
| 2.66 | -13.49 | 29.97 | -42.84 | -755.65 | -212.47 |
| 2.67 | -22.87 | 24.27 | -65.09 | -707.80 | -260.11 |
| 2.68 | -26.40 | 23.04 | -67.14 | -731.16 | -354.03 |
| 2.69 | -18.28 | 19.05 | -57.62 | -761.88 | -391.09 |
| 2.70 | -20.51 | 24.32 | -71.74 | -711.00 | -420.63 |
| 2.71 | -17.89 | 15.64 | -59.01 | -731.17 | -380.99 |
| 2.72 | -22.92 | 18.80 | -65.85 | -717.63 | -459.40 |

A.2.6. Registro de la Diferencia entre la Simulación y los Valores Empíricos de la Aridad Máxima en Porcentajes.

Cuadro A.15: Diferencia entre la aridad registrada por la simulación y los datos empíricos.

| tau | 1 000 | 10 000 | 100 000 | 1 000 000 | 10 000 000 |
|------------|--------------|---------------|----------------|------------------|-------------------|
| 1.92 | -4 % | 18 % | 0 % | -15 % | 12 % |
| 1.93 | -5 % | 17 % | -3 % | -16 % | 11 % |

| | | | | | |
|------|-------|------|------|-------|------|
| 1.94 | -8 % | 16 % | -3 % | -17 % | 9 % |
| 1.95 | -8 % | 16 % | -4 % | -18 % | 8 % |
| 1.96 | -7 % | 15 % | -5 % | -19 % | 7 % |
| 1.97 | -5 % | 14 % | -5 % | -19 % | 7 % |
| 1.98 | -11 % | 15 % | -5 % | -19 % | 6 % |
| 1.99 | -7 % | 13 % | -5 % | -19 % | 6 % |
| 2.00 | -8 % | 12 % | -7 % | -20 % | 5 % |
| 2.01 | -8 % | 14 % | -6 % | -19 % | 6 % |
| 2.02 | -7 % | 13 % | -6 % | -19 % | 6 % |
| 2.03 | -10 % | 12 % | -5 % | -19 % | 7 % |
| 2.04 | -6 % | 14 % | -5 % | -19 % | 7 % |
| 2.05 | -8 % | 13 % | -5 % | -19 % | 7 % |
| 2.06 | -6 % | 14 % | -3 % | -18 % | 8 % |
| 2.07 | -8 % | 15 % | -5 % | -18 % | 9 % |
| 2.08 | -7 % | 17 % | -2 % | -17 % | 9 % |
| 2.09 | -6 % | 15 % | -3 % | -16 % | 10 % |
| 2.10 | -8 % | 16 % | -2 % | -16 % | 10 % |
| 2.11 | -3 % | 15 % | -2 % | -16 % | 11 % |
| 2.12 | -8 % | 18 % | -1 % | -15 % | 11 % |
| 2.13 | -7 % | 17 % | 0 % | -14 % | 12 % |
| 2.14 | -6 % | 20 % | -1 % | -14 % | 12 % |
| 2.15 | -5 % | 18 % | 0 % | -13 % | 13 % |
| 2.16 | -3 % | 17 % | 2 % | -13 % | 13 % |
| 2.17 | -4 % | 20 % | 1 % | -13 % | 14 % |
| 2.18 | -4 % | 20 % | 3 % | -13 % | 14 % |
| 2.19 | -6 % | 23 % | 5 % | -12 % | 14 % |
| 2.20 | -5 % | 23 % | 4 % | -12 % | 14 % |
| 2.21 | -3 % | 23 % | 3 % | -12 % | 15 % |
| 2.22 | -1 % | 23 % | 4 % | -10 % | 15 % |
| 2.23 | -5 % | 23 % | 5 % | -10 % | 15 % |
| 2.24 | -4 % | 21 % | 4 % | -11 % | 16 % |
| 2.25 | -5 % | 24 % | 5 % | -11 % | 15 % |

| | | | | | |
|------|-------|------|------|-------|------|
| 2.26 | -4 % | 22 % | 5 % | -10 % | 16 % |
| 2.27 | -7 % | 23 % | 6 % | -10 % | 16 % |
| 2.28 | -3 % | 26 % | 5 % | -10 % | 15 % |
| 2.29 | -3 % | 23 % | 7 % | -10 % | 15 % |
| 2.30 | -4 % | 26 % | 6 % | -11 % | 15 % |
| 2.31 | -5 % | 24 % | 7 % | -10 % | 15 % |
| 2.32 | -6 % | 26 % | 6 % | -10 % | 14 % |
| 2.33 | -4 % | 22 % | 7 % | -10 % | 14 % |
| 2.34 | 1 % | 25 % | 5 % | -10 % | 14 % |
| 2.35 | -2 % | 23 % | 7 % | -11 % | 14 % |
| 2.36 | -7 % | 26 % | 7 % | -12 % | 13 % |
| 2.37 | -6 % | 22 % | 4 % | -11 % | 13 % |
| 2.38 | -5 % | 23 % | 6 % | -11 % | 12 % |
| 2.39 | -7 % | 22 % | 6 % | -11 % | 12 % |
| 2.40 | -7 % | 23 % | 7 % | -12 % | 11 % |
| 2.41 | -5 % | 20 % | 4 % | -12 % | 11 % |
| 2.42 | -8 % | 23 % | 5 % | -12 % | 11 % |
| 2.43 | -5 % | 21 % | 5 % | -12 % | 9 % |
| 2.44 | -11 % | 17 % | 3 % | -13 % | 10 % |
| 2.45 | -9 % | 21 % | 3 % | -13 % | 8 % |
| 2.46 | -11 % | 19 % | 4 % | -13 % | 8 % |
| 2.47 | -6 % | 19 % | 3 % | -14 % | 7 % |
| 2.48 | -4 % | 22 % | 1 % | -15 % | 7 % |
| 2.49 | -11 % | 15 % | 0 % | -16 % | 7 % |
| 2.50 | -5 % | 19 % | 2 % | -16 % | 5 % |
| 2.51 | -8 % | 16 % | -2 % | -16 % | 6 % |
| 2.52 | -10 % | 15 % | 1 % | -16 % | 4 % |
| 2.53 | -12 % | 16 % | 1 % | -17 % | 4 % |
| 2.54 | -12 % | 17 % | -1 % | -16 % | 3 % |
| 2.55 | -14 % | 14 % | -2 % | -18 % | 2 % |
| 2.56 | -11 % | 15 % | -2 % | -18 % | 1 % |
| 2.57 | -10 % | 13 % | -3 % | -19 % | 1 % |

| | | | | | |
|------|-------|------|------|-------|------|
| 2.58 | -10 % | 15 % | -1 % | -19 % | 0 % |
| 2.59 | -11 % | 13 % | -3 % | -19 % | 0 % |
| 2.60 | -12 % | 13 % | -2 % | -19 % | -1 % |
| 2.61 | -16 % | 12 % | -5 % | -20 % | -1 % |
| 2.62 | -16 % | 11 % | -5 % | -21 % | -2 % |
| 2.63 | -14 % | 13 % | -6 % | -21 % | -3 % |
| 2.64 | -13 % | 10 % | -5 % | -22 % | -2 % |
| 2.65 | -19 % | 7 % | -6 % | -23 % | -3 % |
| 2.66 | -11 % | 11 % | -5 % | -23 % | -3 % |
| 2.67 | -18 % | 9 % | -7 % | -22 % | -3 % |
| 2.68 | -20 % | 8 % | -7 % | -23 % | -5 % |
| 2.69 | -15 % | 7 % | -6 % | -24 % | -5 % |
| 2.70 | -17 % | 9 % | -8 % | -23 % | -6 % |
| 2.71 | -15 % | 6 % | -7 % | -24 % | -5 % |
| 2.72 | -19 % | 7 % | -8 % | -24 % | -6 % |

B. Evaluación Experimental

En este anexo se presentan resultados de la Evaluación Experimental, principalmente gráficos que por tema de espacio no se han colocado en el Capítulo 5.

B.1. Realismo

B.1.1. Algoritmo 1

Gráficos de distribución de grados para grafos dirigidos y no dirigidos de 1 000 y 1 000 000 de nodos generados por el Algoritmo 1.

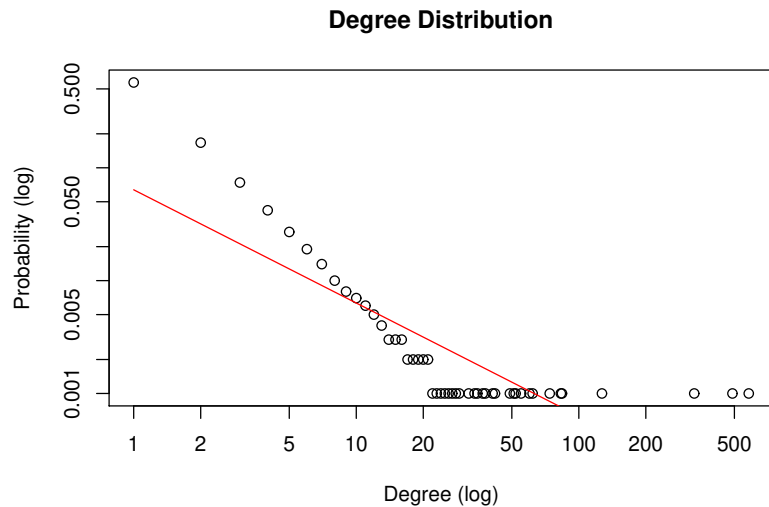


Figura B.1: Distribución de grados, en escala logarítmica, de un grafo no dirigido de mil nodos generados con el Algoritmo 1.

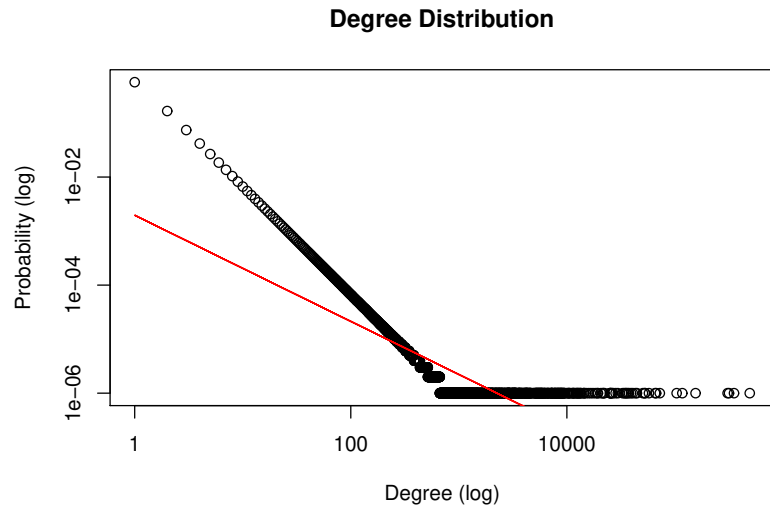


Figura B.2: Distribución de grados, en escala logarítmica, de un grafo no dirigido de un millón de nodos generados con el Algoritmo 1.

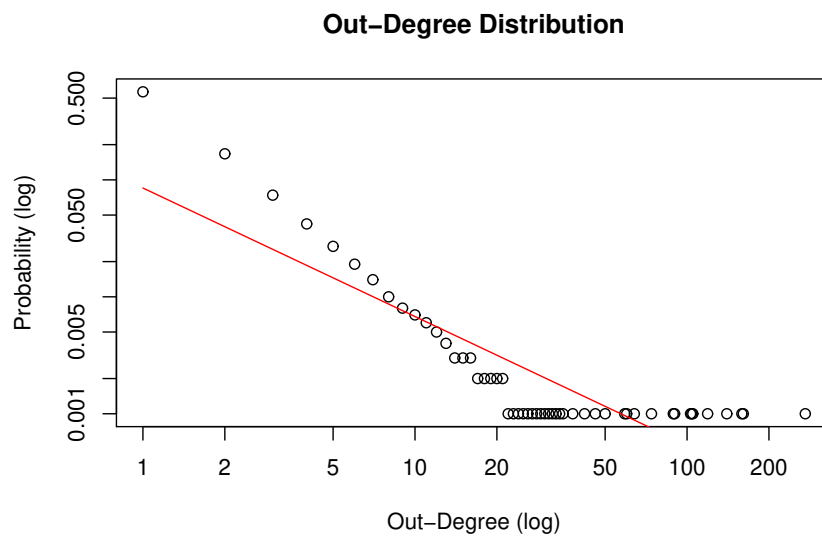


Figura B.3: Distribución de out-degree, en escala logarítmica, de un grafo dirigido de mil nodos generados con el Algoritmo 1.

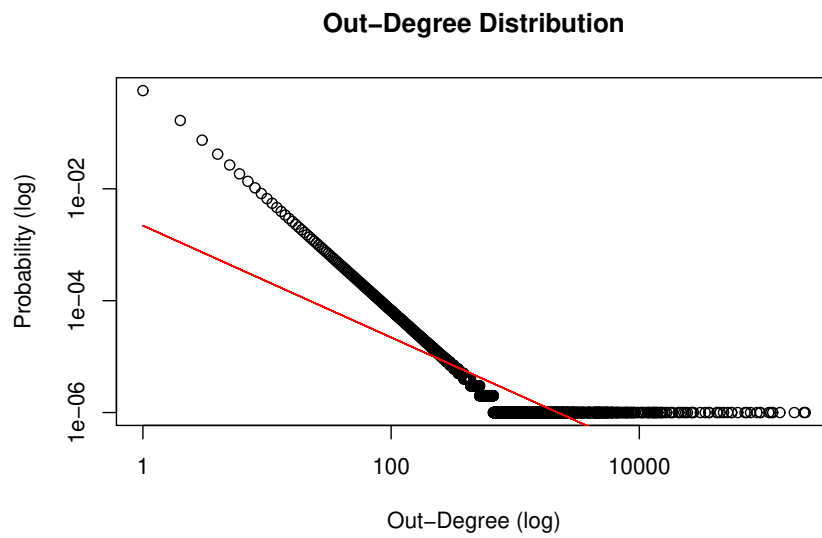


Figura B.4: Distribución de out-degre, en escala logarítmica, de un grafo no dirigido de un millón de nodos generados con el Algoritmo 1.

B.1.2. Algoritmo 2

Gráficos de distribución de grados para grafos dirigidos y no dirigidos de 1 000 y 1 000 000 de nodos generados por el Algoritmo 2.

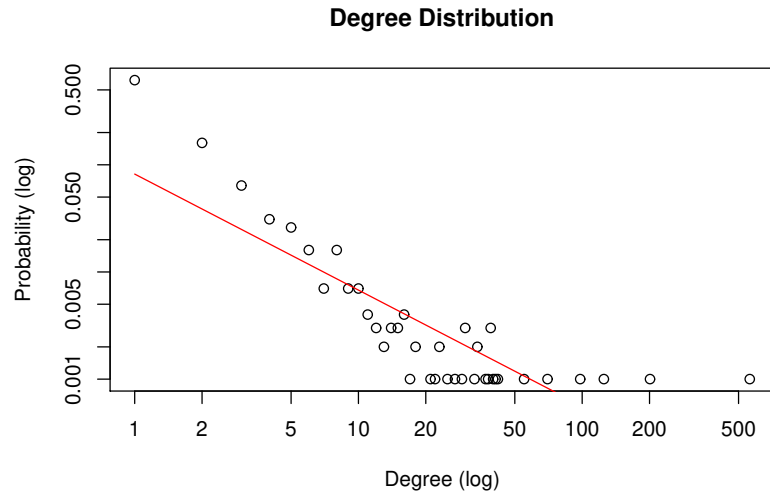


Figura B.5: Distribución de grados, en escala logarítmica, de un grafo no dirigido de mil nodos generados con el Algoritmo 2.

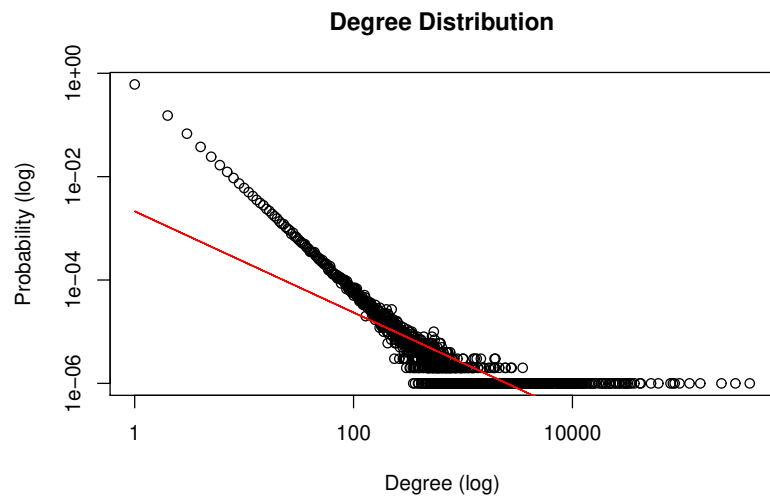


Figura B.6: Distribución de grados, en escala logarítmica, de un grafo no dirigido de un millón de nodos generados con el Algoritmo 2.

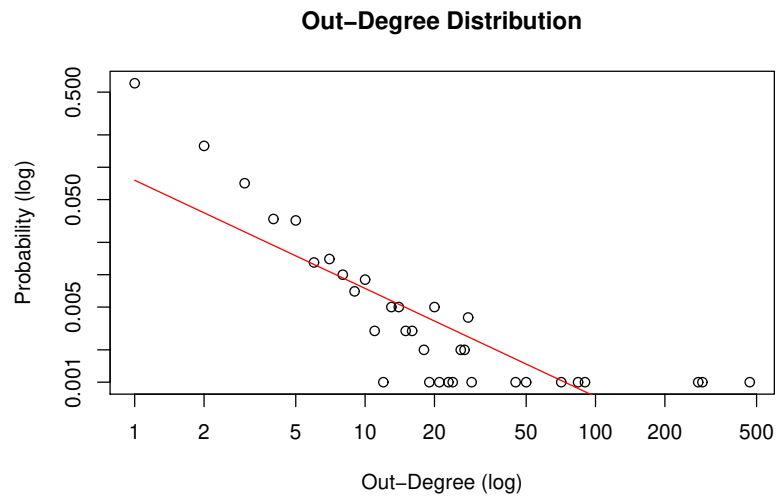


Figura B.7: Distribución de out-degree, en escala logarítmica, de un grafo dirigido de mil nodos generados con el Algoritmo 2.

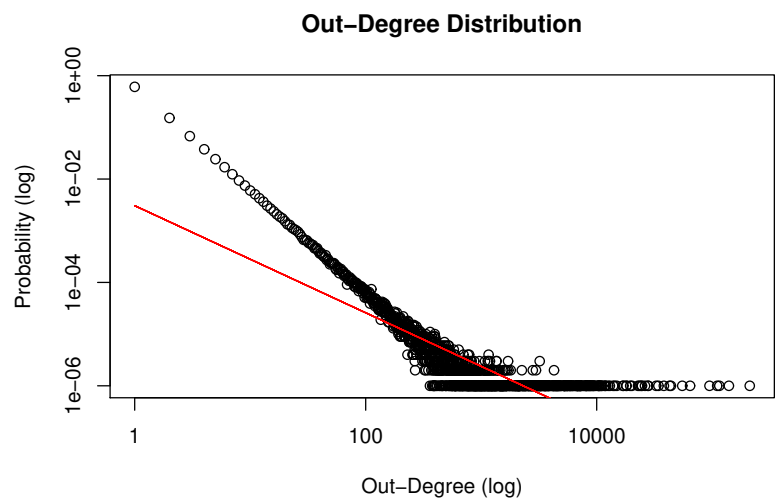


Figura B.8: Distribución de out-degree, en escala logarítmica, de un grafo no dirigido de un millón de nodos generados con el Algoritmo 2.

B.1.3. Algoritmo 3

Gráficos de distribución de grados para grafos dirigidos y no dirigidos de 1 000 y 1 000 000 de nodos generados por el Algoritmo 3.

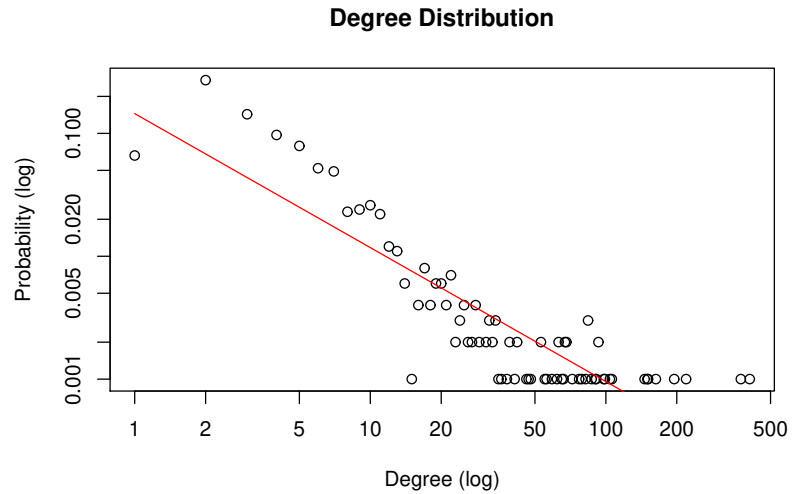


Figura B.9: Distribución de grados, en escala logarítmica, de un grafo no dirigido de mil nodos generados con el Algoritmo 3.

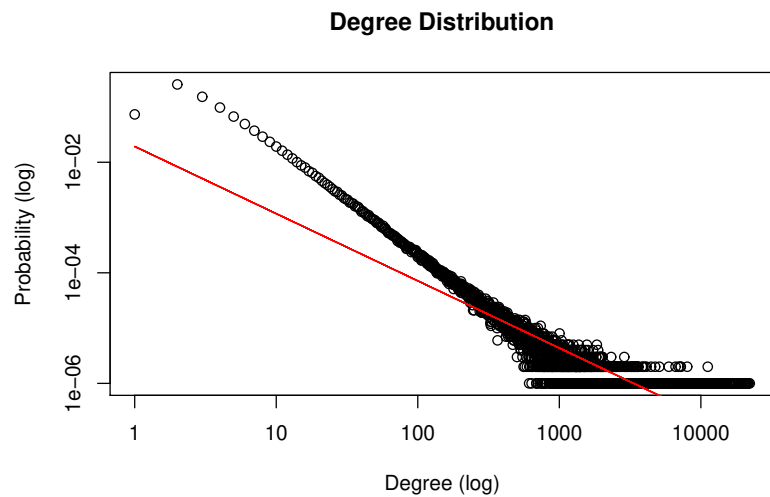


Figura B.10: Distribución de grados, en escala logarítmica, de un grafos no dirigido de un millón de nodos generados con el Algoritmo 3.

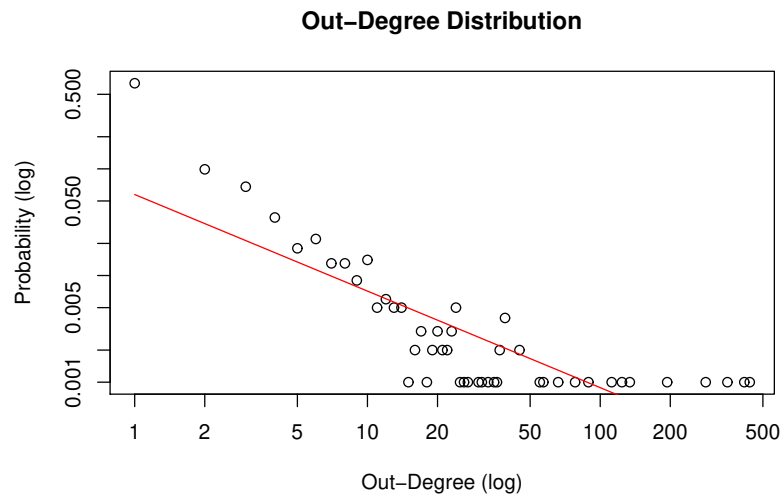


Figura B.11: Distribución de out-degree, en escala logarítmica, de un grafo dirigido de mil nodos generados con el Algoritmo 3.

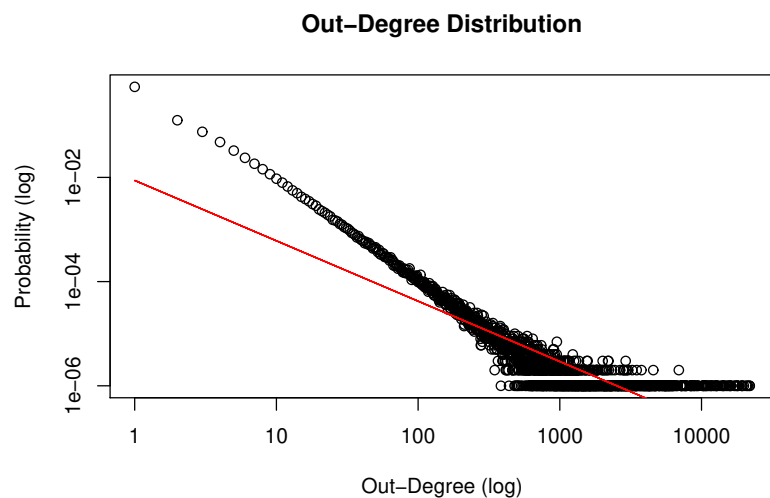
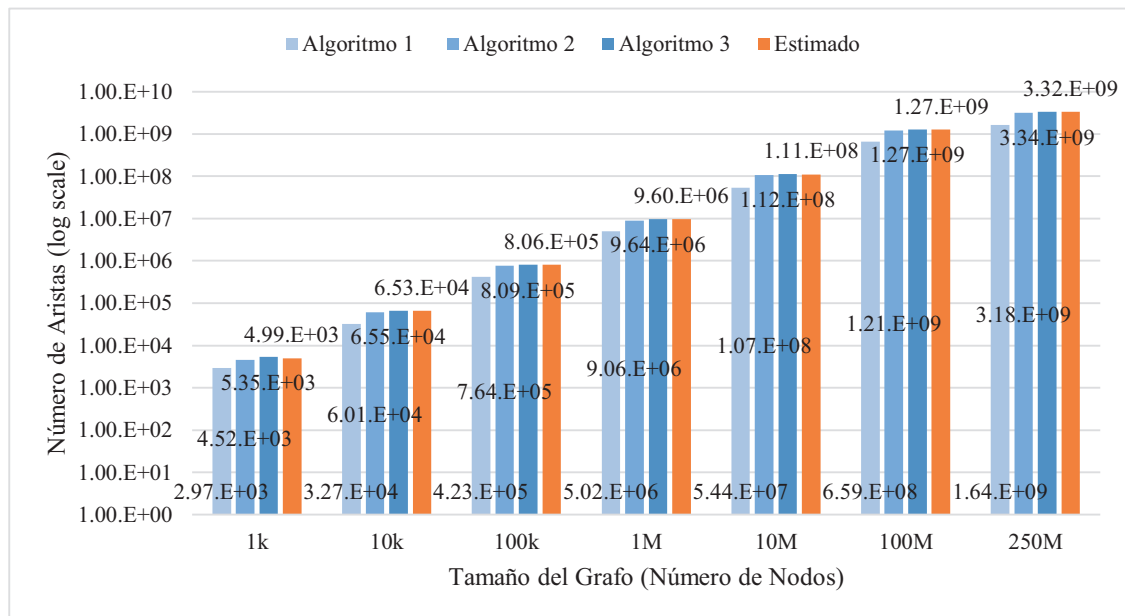


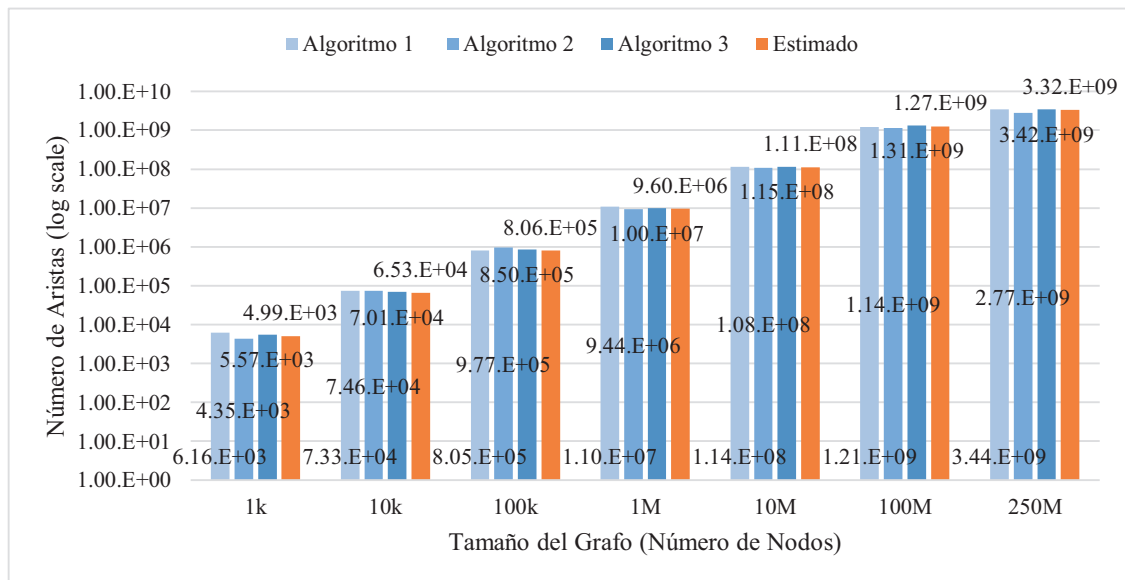
Figura B.12: Distribución de out-degree, en escala logarítmica, de un grafo no dirigido de un millón de nodos generados con el Algoritmo 3.

B.2. Eficiencia

Gráficos con la comparación entre los Algoritmos 1, 2 y 3 en la generación de aristas para grafos dirigidos y



(a) Grafos no dirigidos



(b) Grafos dirigidos

Figura B.13: Número de aristas generado por cada método por tamaño de grafos.